

# KLASSISK DYNAMIKK

①

YF 1-11, 14 ; LL 1-7, 9

## Størrelser og enheter [YF 1]

Eks:

Lengde ;  $d = 25.4 \text{ mm}$

↑                   ↑                   ↑                   ↑  
 størrelse       symbol       tallverdi       enhet

dekadisk prefiks  
(m = milli =  $10^{-3}$ )

Notasjon:  $[d] = \text{m}$ ; "enheten til lengde er meter"

## SI-systemet :

lengde , $[l] = \text{m}$ (meter) masse , $[m] = \text{kg}$ (kilogram) tid , $[t] = \text{s}$ (sekund) elektrisk strømstyrke , $[I] = \text{A}$ (ampere) temperatur , $[T] = \text{K}$ (kelvin) stoffmengde , $[n] = \text{mol}$	}	Grunnenheter
---	---	--------------

hastighet (fart) , $[v] = \text{m/s}$ akselerasjon , $[\alpha] = \text{m/s}^2$ impuls (bevegelsesmengde) , $[p] = \text{kg m/s}$	}	Sammensatte enheter
--	---	---------------------

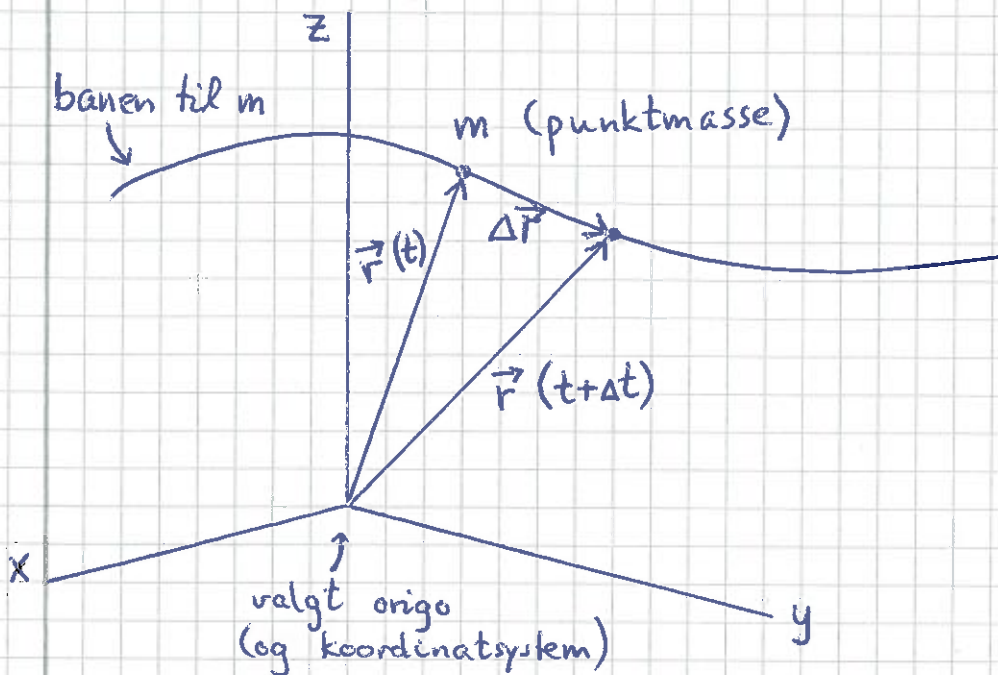
kraft , $[F] = \text{kg m/s}^2 = \text{N}$ (newton) energi , $[W] = \text{Nm} = \text{J}$ (joule) effekt , $[P] = \text{J/s} = \text{W}$ (watt)	}	Avledete enheter
---	---	------------------

# Kinematikk

[YF 2, 3 ; LL 1]

(2)

= beskrivelse av bevegelse



$\vec{r}(t)$  = posisjonen til m ved tid t

$$\vec{\Delta r} = \vec{r}(t + \Delta t) - \vec{r}(t)$$

= forflytningen av m mellom t og  $t + \Delta t$

Hastighet  $\stackrel{\text{def}}{=}$  forflytning pr tidsenhet :

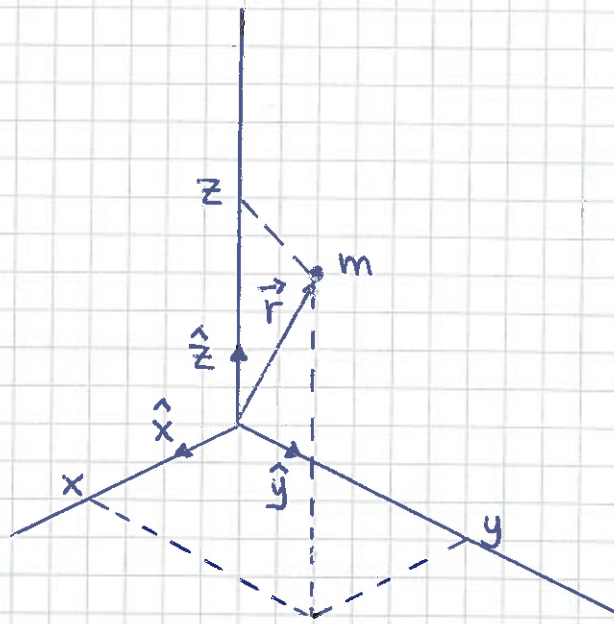
$$\vec{v}(t) = \lim_{\Delta t \rightarrow 0} \frac{\vec{\Delta r}}{\Delta t} = \frac{d\vec{r}}{dt}, \text{ tangentiell til banen } (\vec{v} \parallel \vec{\Delta r})$$

Akselerasjon  $\stackrel{\text{def}}{=}$  hastighetendring pr tidsenhet :

$$\vec{a}(t) = \lim_{\Delta t \rightarrow 0} \frac{\vec{\Delta v}}{\Delta t} = \frac{d\vec{v}}{dt} = \frac{d^2\vec{r}}{dt^2}$$

# Dekomponering i kartesiske koordinater:

(3)



$$\vec{r}(t) = x(t) \hat{x} + y(t) \hat{y} + z(t) \hat{z}$$

$$\begin{aligned}\vec{v}(t) &= v_x(t) \hat{x} + v_y(t) \hat{y} + v_z(t) \hat{z} \\ &= \frac{dx}{dt} \hat{x} + \frac{dy}{dt} \hat{y} + \frac{dz}{dt} \hat{z} = \dot{x} \hat{x} + \dot{y} \hat{y} + \dot{z} \hat{z}\end{aligned}$$

$$\begin{aligned}\vec{a}(t) &= a_x(t) \hat{x} + a_y(t) \hat{y} + a_z(t) \hat{z} \\ &= \frac{dv_x}{dt} \hat{x} + \frac{dv_y}{dt} \hat{y} + \frac{dv_z}{dt} \hat{z} \\ &= \frac{d^2x}{dt^2} \hat{x} + \frac{d^2y}{dt^2} \hat{y} + \frac{d^2z}{dt^2} \hat{z} = \ddot{x} \hat{x} + \ddot{y} \hat{y} + \ddot{z} \hat{z}\end{aligned}$$

Enhetsvektorer:

$$|\hat{x}| = |\hat{y}| = |\hat{z}| = 1$$

$$[\hat{x}] = [\hat{y}] = [\hat{z}] = 1 \quad (\text{dimensjonsløse})$$

$$\hat{x} \cdot \hat{x} = \hat{y} \cdot \hat{y} = \hat{z} \cdot \hat{z} = 1 ; \quad \hat{x} \cdot \hat{y} = \hat{y} \cdot \hat{z} = \dots = 0$$

Fastlegger  $\vec{v}$  fra  $\vec{r}$  og  $\vec{a}$  fra  $\vec{v}$  med integrasjon: (4)

$$\vec{v} = \frac{d\vec{r}}{dt} \Rightarrow d\vec{r} = \vec{v} dt \Rightarrow \int_{\vec{r}(0)}^{\vec{r}(t)} d\vec{r} = \int_0^t \vec{v}(t) dt$$

$$\Rightarrow \vec{r}(t) = \vec{r}(0) + \int_0^t \vec{v}(t) dt$$

$$\vec{a} = \frac{d\vec{v}}{dt} \Rightarrow \dots \text{tilsvarende...} \Rightarrow \vec{v}(t) = \vec{v}(0) + \int_0^t \vec{a}(t) dt$$

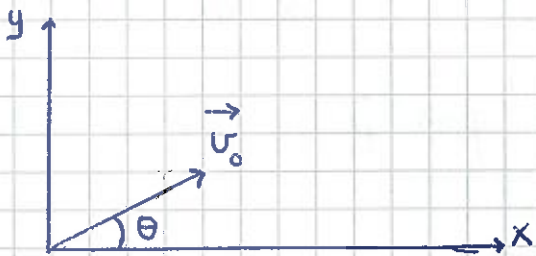
Må også gjelde komponentvis:

$$x(t) = x(0) + \int_0^t v_x(t) dt \quad \text{osv.}$$

$$v_x(t) = v_x(0) + \int_0^t a_x(t) dt \quad \text{osv.}$$


---

Eks: Skrått kast i tyngdefeltet



- Her er  $\vec{a} = -g\hat{y}$  (konstant)
- Anta  $\vec{r}(0) = 0$ ,  $\vec{v}(0) = \vec{v}_0$
- Bestem  $\vec{r}(t)$ . Vis at banen er en parabel.

Løsn:

$$\vec{v}(t) = \vec{v}_0 + \int_0^t (-g\hat{y}) dt = \vec{v}_0 - gt\hat{y}$$

$$\vec{r}(t) = \int_0^t (\vec{v}_0 - gt\hat{y}) dt = \vec{v}_0 t - \frac{1}{2}gt^2\hat{y}$$

$$\Rightarrow x(t) = v_0 t \cos \theta; \quad y(t) = v_0 t \sin \theta - \frac{1}{2}gt^2$$

$$\text{Banen: } y = v_0 \left( \frac{x}{v_0 \cos \theta} \right) \sin \theta - \frac{1}{2}g \left( \frac{x}{v_0 \cos \theta} \right)^2$$

$$= -\frac{g}{2v_0^2 \cos^2 \theta} x^2 + \tan \theta x$$

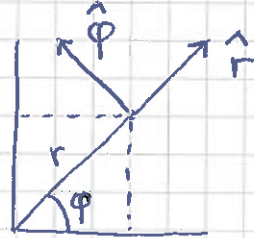
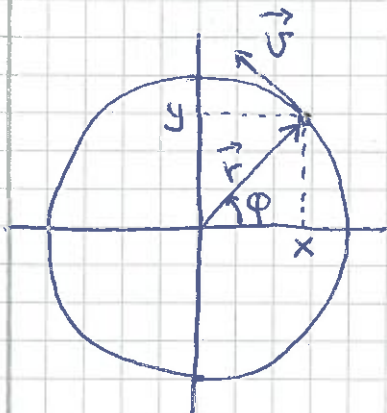

---

Øving 1: • Kast i motbakke. • Gitt  $a(v)$ , finn  $v(t)$ .

# Sirkelbevegelse

[YF 3.4 ; LL 1.7, 1.8]

(5)



Polarkoordinater :

$r$  = avstand fra origo

$\varphi$  = vinkel mellom  $\hat{x}$  og  $\vec{r}$  ( $\varphi > 0$  mot klokka)

$$x = r \cos \varphi, \quad y = r \sin \varphi, \quad \tan \varphi = y/x$$

$$r = |\vec{r}| = \sqrt{x^2 + y^2} \quad (= \text{konstant ved sirkelbevegelse})$$

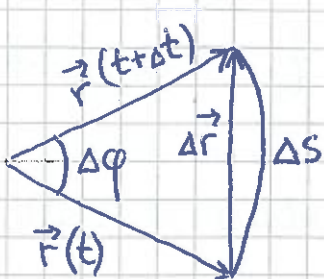
$$\vec{r} = r \cos \varphi \hat{x} + r \sin \varphi \hat{y} = r \hat{r}$$

$$\hat{r} = \hat{x} \cos \varphi + \hat{y} \sin \varphi, \quad \dot{\hat{r}} = -\hat{x} \sin \varphi + \hat{y} \cos \varphi$$

Vinkelhastighet  $\stackrel{\text{def}}{=}$  vinkelendring pr tidsenhet :

$$\omega = \lim_{\Delta t \rightarrow 0} \frac{\Delta \varphi}{\Delta t} = \frac{d\varphi}{dt} = \dot{\varphi}, \quad [\omega] = \text{s}^{-1}$$

Vinkel  $\stackrel{\text{def}}{=}$  buetengde / radius :



$$\Delta \varphi = \Delta s/r$$

Når  $\Delta t \rightarrow 0$ :

$$\Delta \varphi \rightarrow 0, \quad \Delta r = |\Delta \vec{r}| \rightarrow \Delta s = r \Delta \varphi$$

$$\Delta \vec{r} \perp \vec{r}$$

$$\Rightarrow v = \lim_{\Delta t \rightarrow 0} \frac{\Delta r}{\Delta t} = \lim_{\Delta t \rightarrow 0} \frac{r \Delta \varphi}{\Delta t} = r \frac{d\varphi}{dt} = r \omega \quad \left. \begin{array}{l} \vec{v} = v \hat{\varphi} \\ = r \omega \hat{\varphi} \end{array} \right\}$$

$$\vec{v} \parallel \Delta \vec{r} \perp \vec{r} \Rightarrow \vec{v} \perp \vec{r}$$

(6)

Uniform sirkelbevegelse når  $v$  og  $\omega$  er konst;  
anta  $\varphi(0) = 0$  :

$$\int_0^{\varphi(t)} d\varphi = \omega \int_0^t dt \Rightarrow \boxed{\varphi(t) = \omega t}$$

Dermed:

$$\vec{r}(t) = r \cos \omega t \hat{x} + r \sin \omega t \hat{y}$$

$$\vec{v}(t) = -r\omega \sin \omega t \hat{x} + r\omega \cos \omega t \hat{y}$$

$$\vec{a}_\perp(t) = -r\omega^2 \cos \omega t \hat{x} - r\omega^2 \sin \omega t \hat{y}$$

$$= -\omega^2 \vec{r} = \text{sentrifugalakselerasjonen}$$

$$= -\omega^2 r \hat{r} = -\frac{v^2}{r} \hat{r}$$

dvs rettet radiale inn mot sirkelens sentrum.

Hvis  $v = |\vec{v}|$  endrer seg, har vi baneakselerasjon:

$$a_{||} = \ddot{v} = \frac{d}{dt}(vr) = r \frac{d\omega}{dt} = r\ddot{\omega} = r\alpha = r\ddot{\varphi}$$

$$\Rightarrow \text{Total akselerasjon: } \vec{a} = \vec{a}_\perp + \vec{a}_{||} = -\omega^2 r \hat{r} + r\ddot{\omega} \hat{\varphi}$$

$$\text{Vinkelakselerasjon: } \alpha = \ddot{\omega} = \ddot{\varphi}, \quad [\alpha] = \text{s}^{-2}$$

Periode:  $T = \text{omlepstid}$  ("rundetid"),  $[T] = \text{s}$

Frekvens:  $f = \text{antall omlep pr. tidsenhet}$ ,  $[f] = \text{Hz}$

$\Rightarrow$  Ulike sammenhenger:

$$v = \frac{2\pi r}{T} \Rightarrow T = \frac{2\pi r}{v} = \frac{2\pi}{\omega}$$

$$f = \frac{1}{T} = \frac{\omega}{2\pi}$$

# Newton's lover [ YF 4,5 ; LL 2,3 ]

(7)

Tre empiriske lover:

N1

$$\vec{F} = 0 \Leftrightarrow \vec{v} = \text{konst.}$$

Hvis netto ytre kraft  $\vec{F}$  på et legeme er null, forblir legemet i ro, eller i rettlinjet bevegelse med konst. hastighet  $\vec{v}$

N2

$$\vec{F} = m\vec{a}$$

Legemets akselerasjon er prop. med netto ytre kraft,  
 $\vec{a} = \vec{F}/m$ ;  $m$  = legemets masse

N3

$$\vec{F}_{BA} = -\vec{F}_{AB}$$

Når A virker på B med kraft  $\vec{F}_{AB}$ , virker B på A med kraft  $\vec{F}_{BA} = -\vec{F}_{AB}$ .

Dvs: Krefter er vekselvirkninger mellom legemer

Enhet:

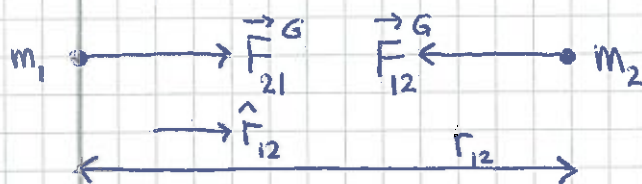
$$[F] = [ma] = \text{kg m/s}^2 = \text{N (newton)}$$

De viktigste fundamentale naturkreftene i TFY4104: [YF S.S.  
LL 2.1]

- Gravitasjon: Svak tiltrekning mellom masser
- Elektromagnetisk: Tiltrekning og frastøtning mellom ladninger

[Dessuten: Slike og sterke kjernekrefter, rekkenidde hvor ca  $10^{-18}$  m og  $10^{-15}$  m, beskriver hvor radioaktivitet og stabilitet av kjerner]

## Newton's gravitasjonslær:

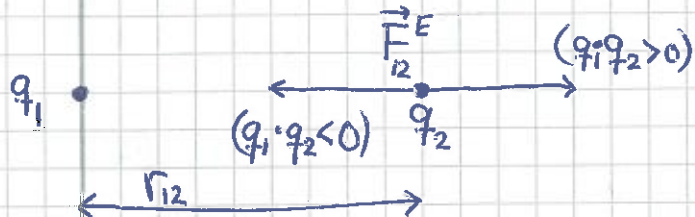


$$\vec{F}_{21}^G = G \frac{m_1 m_2}{r_{12}^2} \hat{r}_{12}$$

$$G \approx 6.67 \cdot 10^{-11} \text{ Nm}^2/\text{kg}^2$$

(gravitasjonskonstanten)

## Coulombs lov:



$$\vec{F}_{12}^E = \frac{1}{4\pi\epsilon_0} \frac{q_1 q_2}{r_{12}^2} \hat{r}_{12}$$

$$[q] = C = A \cdot s \quad (\text{coulomb})$$

$$\epsilon_0 \approx 8.85 \cdot 10^{-12} \text{ C}^2/\text{Nm}^2$$

(vakuumpermittiviteten)

$$1/4\pi\epsilon_0 \approx 9 \cdot 10^9 \text{ Nm}^2/\text{C}^2$$

## Krefter mellom to elektroner:

$$m_e \sim 10^{-30} \text{ kg}, e \sim 10^{-19} \text{ C} \Rightarrow \frac{F_E}{F_G} \sim 10^{43} \Rightarrow F_G \text{ neglisjerbar}$$

## Mellom himmellegemer:

Ukjente ledninger  $q_1$  og  $q_2$ , men typisk er  $F_G \gg F_E$

## Mellom dagligdagse objekter:

Typisk er  $F_E \gg F_G$  (selv om  $q \approx 0$ )

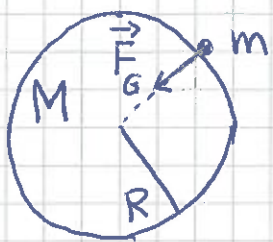
I tillegg:  $F_G$  fra jorda ("tyngden")

$\Rightarrow$  Både  $F_E$  og  $F_G$  påvirker hverdagen!

## Tyngde

[YF 4.4; LL 2.5]

(9)



Tiltrakende kraft på m fra jorda (M) :

$$F_G = GmM/R^2 \approx 6.67 \cdot 10^{-11} \cdot m \cdot 6 \cdot 10^{24} / (6.37 \cdot 10^6)^2 \\ = m \cdot g$$

Her er  $g = GM/R^2 \approx 9.81 \text{ m/s}^2$  = tyngdens akselerasjon

Fritt fall:

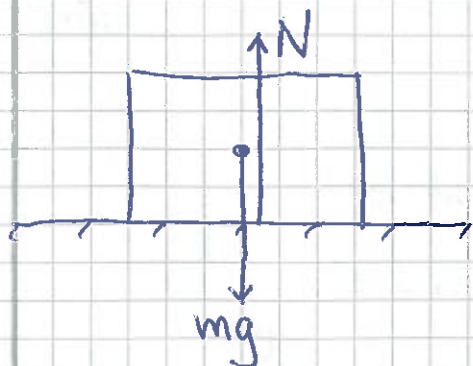
Hvis  $F_G$  er eneste kraft på m, har vi

$$mg = ma, \quad \text{dvs} \quad a = g \approx 9.81 \text{ m/s}^2$$

## Kontaktkrefter

[YF 4.1; LL 3]

Normalkraft:

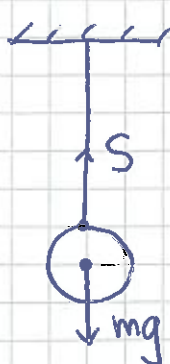


N = netto frastøtende coulombkraft fra underlaget på klossen

Hvis klossen ligger i ro:

$$N = mg \quad (\text{pga } N_f)$$

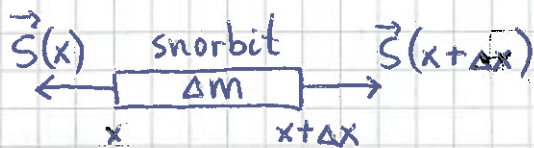
## Snorkraft:



$S =$  netto tiltrekende coulombkraft  
fra snora på kula

Hvis kule i ro:  $S = mg$  (pga N1)

[Spm: Hva er "motkraftene" til  $N$ ,  $mg$  og  $S$ ,  $mg$  i disse to eksemplene? ]

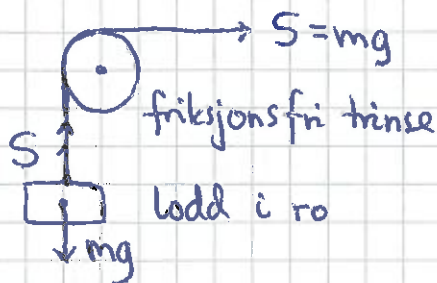


$$N2 \Rightarrow \vec{S}(x+\Delta x) + \vec{S}(x) = \vec{a} \cdot \Delta m$$

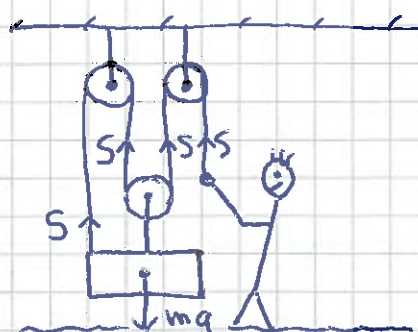
$\Rightarrow$  hvis  $\vec{a}=0$  eller  $\Delta m=0$ , er  $\vec{S}(x+\Delta x) = -\vec{S}(x)$

$\Rightarrow$  konstant  $S = |\vec{S}|$  langs hele snora

Trinser endrer retning på  $\vec{S}$ :



Taljer reduserer påkrevd luftekraft:



N1 anvendt på kassa:  $3S = mg$

$$\Rightarrow \vec{S} = \underline{\underline{mg/3}}$$

# Friksjonskrefter

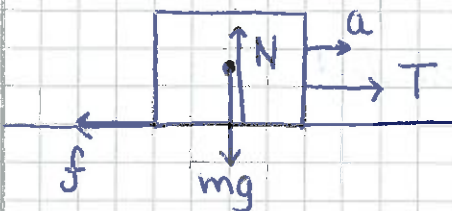
[YF 5.3 ; LL 3.1]

(11)

= kontaktkrefter rettet mot relativ bevegelse

(eut: mot relativ bevegelse som vil oppstå uten friksjon)

## Tørr friksjon:

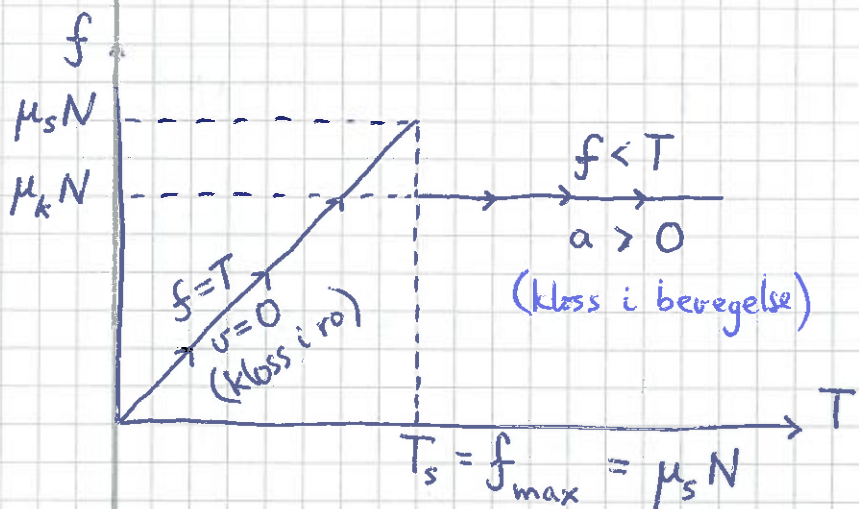


$T$  = trekkkraft

$N (=mg)$  = normalkraft

$f$  = friksjonskraft, fra underlag på kloss

Forsøk med økende  $T$  gir ( $f = T - ma$ ):



- $v = 0$ , statisk friksjon,  
 $f = T$ ,  $f_{\max} = \mu_s N$
- $v > 0$ , kinetisk friksjon,  
 $f = \mu_k N$ ,  
 $\mu_k < \mu_s$

Tallverdier, statisk og kinetisk friksjonskoeffisient:

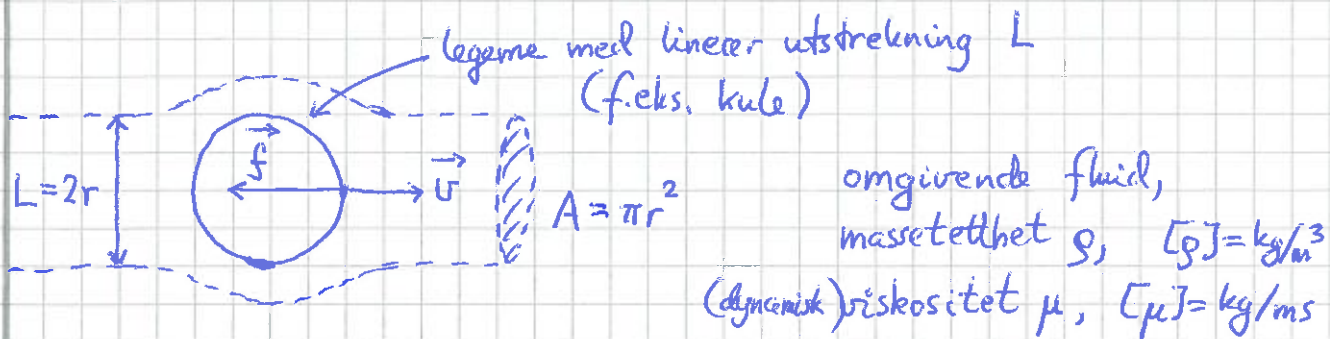
Materialer	$\mu_s$	$\mu_k$
Tre mot tre	0.4 - 0.6	0.2 - 0.4
Stål mot is	0.03	0.015
Pt mot Pt	-	1.2
Våt svamp mot laminat	-	-

Vjevnhetene i grenseflatene gir best grep i statisk tilfelle;  
"flyter" lettere oppå; dermed  $\mu_s > \mu_k$  (som regel).

# Friksjon i fluider

[YF 5.3; LL 8]

(12)



Reynoldstallet:  $Re = \rho v L / \mu$  (dim. løst)

Laminær (pen, ordnet) strømning av fluidet omkring (symmetrisk) legeme når  $Re \leq 10$ ; dvs når  $v$  er liten nok:

$$\vec{f} = -k \vec{v} = -k v \hat{u}$$

Eks: Kule, radius  $r$ .  $k = 6\pi \mu r$  (Stokes' lov)

Turbulent strømning når  $Re > 10$ :

$$\vec{f} = -D v^2 \hat{G}; \quad D = \frac{1}{2} \rho A C_d$$

$C_d$  = drag-koeffisient ( $\approx 0.5$  for kule)

Eks: Revolve ved 60 km/h.

$$\rho = 1.2 \text{ kg/m}^3; \quad A \approx 1.1 \text{ m}^2; \quad C_d \approx 1.35$$

$$\Rightarrow f = \frac{1}{2} \cdot 1.2 \cdot 1.1 \cdot 1.35 \cdot (60/3.6)^2 \text{ N} = \underline{\underline{248 \text{ N}}}$$

## Problemløsning

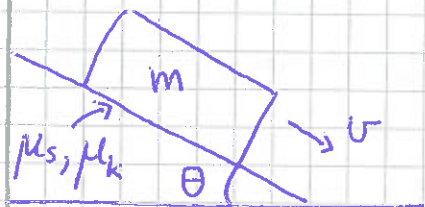
[YF 5; LL 3]

(13)

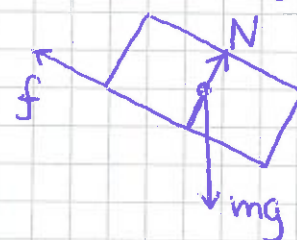
- Finn alle ytre krefter  $\vec{F}_i$  på legemet
  - Tegn fritt-legeme-diagram: Omgivelsene erstattes av krefter på legemet ( $\vec{mg}$ ,  $\vec{S}$ ,  $\vec{N}$ ,  $\vec{f}$ , ...)
  - Velg koordinatsystem. Dekomponer.
  - Bruk N2,  $\vec{a} = \sum_i \vec{F}_i / m$ , evt. N1,  $\sum_i \vec{F}_i = 0$
- 

Eks (enkelt!): Legeme på skråplan

[Øving 2; Lab 1+2]



Fritt-legeme-diagram:



Koord. system



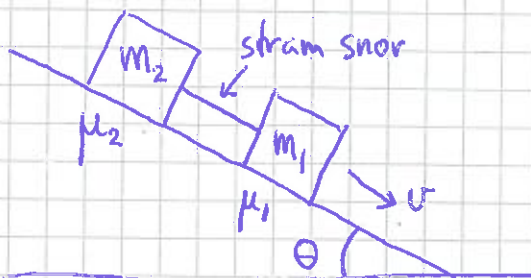
$$N_1 \perp : N - mg \cos \theta = 0$$

$$N_2 \parallel : mg \sin \theta - f = m dv/dt$$

Hvis  $v=0$ :  $f \leq \mu_s N$  (statisk)  $\Rightarrow \tan \theta_{\max} = \mu_s$

Hvis  $v \neq 0$ :  $f = \mu_k N$  (kinetisk)

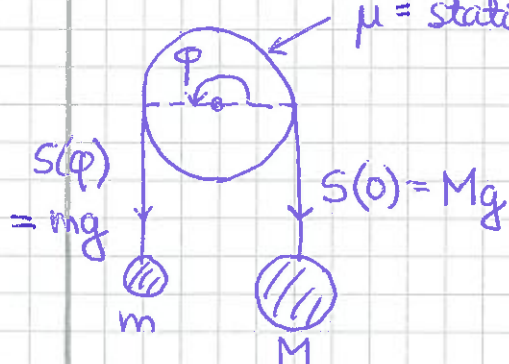
Litt vanskeligere: [Øv. 2; Lab 1+2]



Hvilken  $\theta$  gir  $v = \text{konst.}$ ?

Eks (vanskelig!): Snor friksjon  
 (se "Med livet som innsats", A.Wahl, youtube)

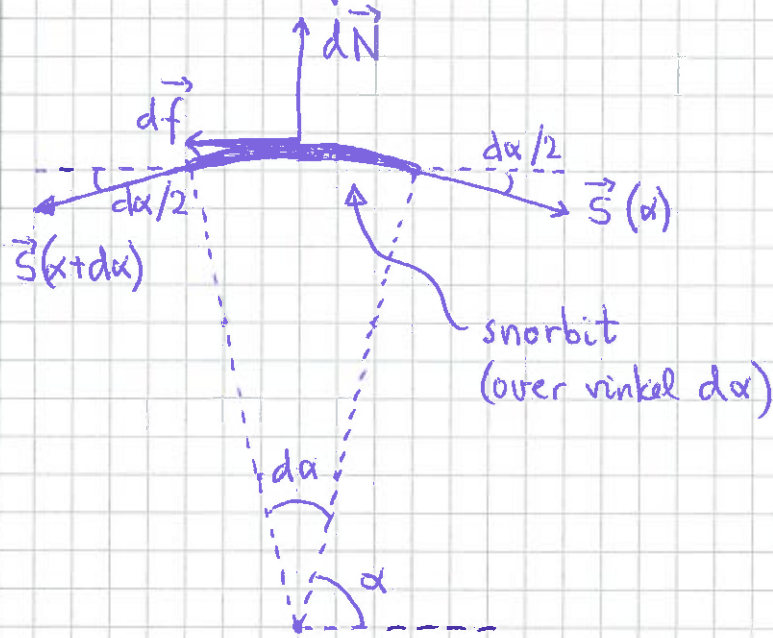
(14)



$\phi$  = kontakturninkel mellom snor og rør  
 (her:  $\phi = \pi + 2n\pi$ ;  $n=0,1,2\dots$ )

Finn minste  $m$  som holder  $M$  oppe!

Løsn: Må se på liten snorbit (fordi  $S$  ikke er konstant)



Krefter på snorbiten:

$\vec{S}$  fra resten av snora

$\vec{dN}$  fra røret; normalkraft

$\vec{df}$  —; friksjonskraft; minste mulige  $m$   
 når  $df = df_{max} = \mu dN$

N1 på snorbiten:  $\vec{S}(x+d\alpha) + \vec{S}(x) + d\vec{N} + d\vec{f} = 0$

Dekomponerer:

$$(t) S(x+d\alpha) \cos \frac{d\alpha}{2} - S(x) \cos \frac{d\alpha}{2} + df = 0$$

$$(n) S(x+d\alpha) \sin \frac{d\alpha}{2} + S(x) \sin \frac{d\alpha}{2} - dN = 0$$

$$d\alpha \ll 1 \Rightarrow \cos \frac{d\alpha}{2} \approx 1, \quad \sin \frac{d\alpha}{2} \approx \frac{d\alpha}{2} \quad (15)$$

Videre er:

$$S(\alpha + d\alpha) - S(\alpha) = dS; \quad S(\alpha + d\alpha) + S(\alpha) = 2S; \quad dF = \mu dN$$

Dermed:

$$\begin{aligned} (t) \quad dS &= -\mu dN \\ (n) \quad S d\alpha &= dN \end{aligned} \quad \left. \begin{array}{l} (t) \\ (n) \end{array} \right\} \Rightarrow \frac{dS}{S} = -\mu d\alpha$$

Integratorer fra  $\alpha=0$  til  $\alpha=\varphi$ :

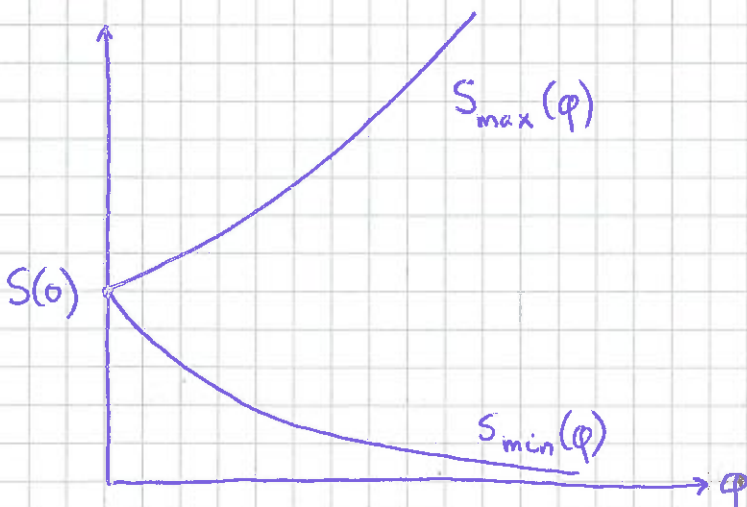
$$\int_{S(0)}^{S(\varphi)} \frac{dS}{S} = - \int_0^\varphi \mu d\alpha \Rightarrow \ln \frac{S(\varphi)}{S(0)} = -\mu\varphi \Rightarrow \underline{\underline{S(\varphi) = S(0) e^{-\mu\varphi}}}$$

Plastrør og nylonsnor:  $\mu \approx 0.17$  [Øving 3]

Med  $M = 500 \text{ g}$  og  $\varphi = 7\pi$  fås

$$\frac{m}{M} = \frac{S(\varphi)}{S(0)} = \exp(-0.17 \cdot 7\pi) \approx 0.024 \Rightarrow m \approx 12 \text{ g}$$

Omvendt, for å heise  $M$  opp:  $S(\varphi) = S(0) e^{+\mu\varphi}$ ,  
dvs  $m = M \exp(+0.17 \cdot 7\pi) \approx 21 \text{ kg}$

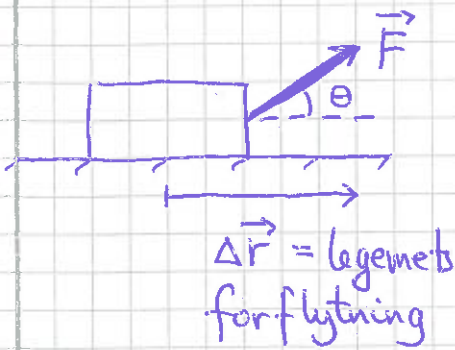


Arbeid og energi

[YF 6,7 ; LL 4]

Arbeid

[YF 6.1 - 6.3 ; LL 4.1]



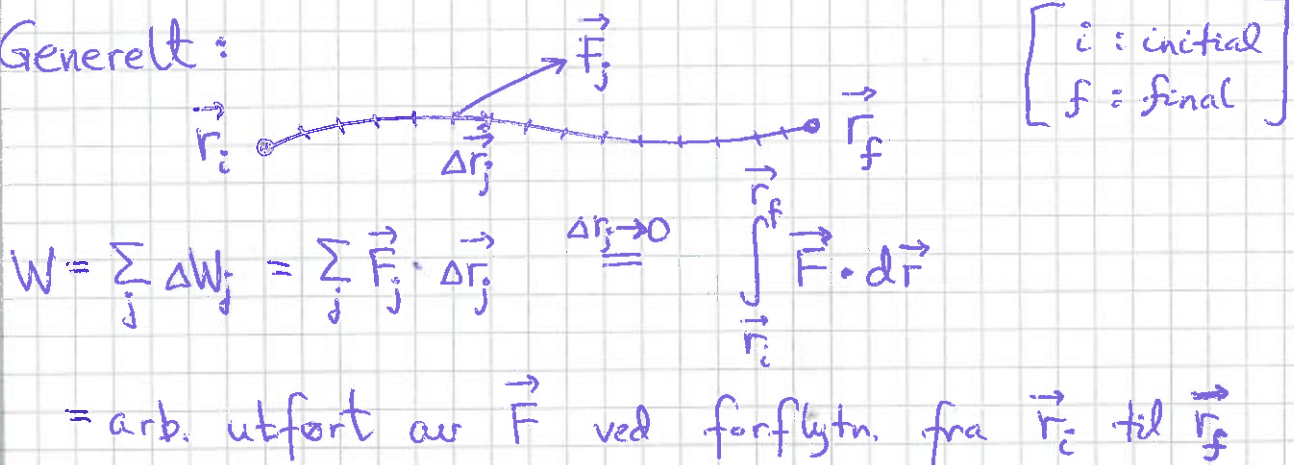
arbeid  $\stackrel{\text{def}}{=}$  kraft  $\times$  forflytning

$$\Delta W = \vec{F} \cdot \vec{\Delta r} = F \cdot \Delta r \cdot \cos \theta$$

= arbeidet utført av ytre  
kraft  $\vec{F}$  på legemet

Enhett:  $[W] = N \cdot m = J$  (joule)

Generelt:

Effekt

[YF 6.4 ; LL 4.1]

effekt  $\stackrel{\text{def}}{=}$  arbeid (energi) pr tidsenhet

$$P = \frac{dW}{dt} = \frac{\vec{F} \cdot d\vec{r}}{dt} = \vec{F} \cdot \vec{v} \quad ; \quad [P] = \frac{J}{s} = W (\text{watt})$$

Eks: Typisk husholdning bruker 30 MWh el. energi pr år.

Hvor mange J er dette? Hva er gjennomsnittlig effekt  $\langle P \rangle$ ?

Løsn:  $30 \text{ MWh} = 30 \cdot 10^6 \text{ (J/s)} \cdot 3600 \text{ s} = 1.08 \cdot 10^{11} \text{ J} = 108 \text{ GJ}$

$$\langle P \rangle = 30 \cdot 10^6 \text{ Wh} / 365 \cdot 24 \text{ h} = 3425 \text{ W} = \underline{3.4 \text{ kW}}$$

## Kinetisk energi

[YF 6.2; LL 4.2]

(17)

$$W = \int_{r_i}^{r_f} \vec{F} \cdot d\vec{r} = \int_{t_i}^{t_f} m \frac{d\vec{v}}{dt} \cdot \vec{v} dt = m \int_{v_i}^{v_f} \vec{v} \cdot d\vec{v}$$

$$= m \cdot \frac{1}{2} \int_{v_i}^{v_f} (\vec{v} \cdot d\vec{v} + d\vec{v} \cdot \vec{v}) = \frac{1}{2} m v_f^2 - \frac{1}{2} m v_i^2$$

$$= \frac{1}{2} m (v_f^2 - v_i^2) = \Delta v^2$$

Kinetisk energi:  $K \stackrel{\text{def}}{=} \frac{1}{2} m v^2$

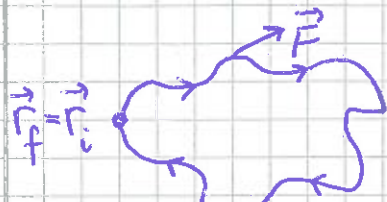
$$\Rightarrow W = K_f - K_i = \Delta K$$

Arbeidet  $W$  som utføres på et legeme tilsvarer endringen  $\Delta K$  i legemets kinetiske energi.

## Konservativ kraft (og system) [YF 7.3; LL 4.4]

I kons. system virker kun kons. krefter, og mekanisk energi tapes ikke til andre energiformer (varme etc.).

Anta  $\vec{r}_f = \vec{r}_i$  (lukket kurve):



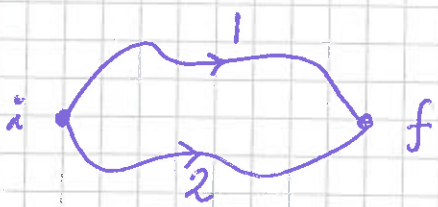
Hvis  $K_f = K_i$ , er  $W = \Delta K = 0$ , dus

$$\oint \vec{F} \cdot d\vec{r} = 0$$

Da er  $\vec{F}$  en konservativ kraft.

$[\oint \dots = \text{integral rundt lukket kurve}]$

Hvis  $\vec{F}$  er konservativ, er arbeidet  $W$  uavhengig av  
veien:



$$W_1 = \left( \int_i^f \vec{F} \cdot d\vec{r} \right)_1$$

$$W_2 = \left( \int_i^f \vec{F} \cdot d\vec{r} \right)_2 = - \left( \int_f^i \vec{F} \cdot d\vec{r} \right)_2$$

$$\Rightarrow 0 = \int_i^f \vec{F} \cdot d\vec{r} = \left( \int_i^f \vec{F} \cdot d\vec{r} \right)_1 + \left( \int_f^i \vec{F} \cdot d\vec{r} \right)_2 = W_1 - W_2$$

$$\Rightarrow \underline{W_1 = W_2} \quad (\text{qed})$$

Potensiell energi [YF 7.1-7.4; LL 4.3-4.4]

Når  $\vec{F}$  er konservativ, er

$$U(\vec{r}) = - \int_{\vec{r}_0}^{\vec{r}} \vec{F} \cdot d\vec{r}$$

den potensielle energien i posisjon  $\vec{r}$ , der vi har valgt  
 $U(\vec{r}_0) = 0$ .

NB: Kun forskjeller i pot. energi har fysisk betydning.

Fra Matematikk 2:

$$\int \vec{F} \cdot d\vec{r} = 0 \Rightarrow \nabla \times \vec{F} = 0$$

$$U = - \int \vec{F} \cdot d\vec{r} \Rightarrow \vec{F} = - \nabla U$$

# Bevarelse av mekanisk energi [YF 7.1-7.3; LL 4.5]

(19)

Anta konservativt system.

$$U_1 - U_2 = - \int_{\vec{r}_1}^{\vec{r}_2} \vec{F} \cdot d\vec{r} - \left( - \int_{\vec{r}_1}^{\vec{r}_2} \vec{F} \cdot d\vec{r} \right) = \int_{\vec{r}_1}^{\vec{r}_2} \vec{F} \cdot d\vec{r}$$

$$K_2 - K_1 = W = \int_{\vec{r}_1}^{\vec{r}_2} \vec{F} \cdot d\vec{r}$$

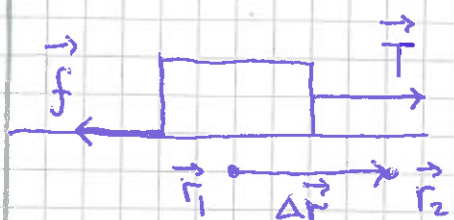
$$\Rightarrow K_1 + U_1 = K_2 + U_2$$

Dvs: I et kons. system er total mekanisk energi  
 $E = K + U$   
 konstant (bevart).

Friksjonskretter er ikke konservative.

Tyngdekraften og coulombkraften er konservative.

# Friksjonsarbeid [YF 7.3; LL 4.5]

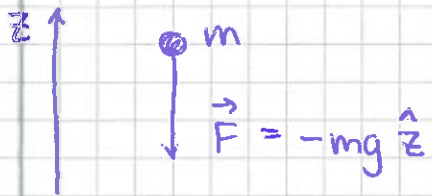


$W_f = \int_{\vec{r}_1}^{\vec{r}_2} \vec{f} \cdot d\vec{r} < 0$ , siden  $\vec{f}$  alltid rettet mot  $d\vec{r}$ ; meki. energi "tapes" som varme, lyd etc.

Ned  $\vec{f} \cdot d\vec{r} < 0$  blir  $\oint \vec{f} \cdot d\vec{r} < 0$ , alltid. Derved kan  $f$  ikke være en kons. kraft.

# Eks 1: Fall i tyngdefeltet

(20)



- Anta  $U(0) = 0$  og  $v(0) = 0$ , og finn  $U(z)$  og  $v(z)$

- Vurder effekten av luftmotstand

Løsn: Først uten luftmotstand.

$$U(z) = - \int_0^z (-mg \hat{z}) \cdot (\hat{z} dz) = \underline{\underline{m g z}}$$

$$E \text{ bevert} \Rightarrow U(z) + K(z) = U(0) + K(0) = 0$$

$$\Rightarrow mgz + \frac{1}{2}mv(z)^2 = 0$$

$$\Rightarrow v(z) = \underline{\underline{\sqrt{-2g z}}} \quad (z < 0)$$

$$\text{Luftmotstand: } \vec{f} = -Dv^2 \hat{v}; \quad D = \frac{1}{2} \rho A C_d$$

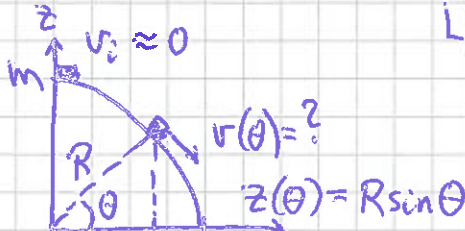
$$\text{Bordtennisball i luft: } \rho \approx 1.3 \text{ kg/m}^3; \quad C_d \approx 0.5;$$

$$A = \pi \cdot (0.020 \text{ m})^2 \Rightarrow D \approx 4 \cdot 10^{-4} \text{ kg/m}$$

Terminalhastighet  $v_t$  når  $\sum_i \vec{F}_i = 0$

$$\Rightarrow D \cdot v_t^2 = mg \Rightarrow v_t = (mg/D)^{1/2} = (0.0027 \text{ kg} \cdot 9.8 \frac{\text{m}}{\text{s}^2} / 4 \cdot 10^{-4} \text{ kg})^{1/2} \approx \underline{\underline{8 \text{ m/s}}}$$

# Eks 2: Glatt kuppel



Løsn: Velger  $U(0) = 0 \Rightarrow E = U(R) = mgR$

$$\Rightarrow \frac{1}{2}mv(\theta)^2 + mgz(\theta) = mgR$$

$$\Rightarrow v(\theta) = \underline{\underline{\sqrt{2gR(1-\sin\theta)}}}$$

- Øv. 3: Hvor mistes kontakten med underlaget?

- Hvordan hensyta friksjon?

- Hva med nullende evt. "skjærende" objekter

} Numerikk?!

# Impuls [YF 8 ; LL 5]

(= bevegelsesmengde = linear momentum)

$$N2: \vec{F} = m \frac{d\vec{v}}{dt} = \frac{d}{dt}(m\vec{v}) \quad \text{når } m=\text{konst.}$$

impuls  $\stackrel{\text{def}}{=} \text{masse} \times \text{hastighet}$

$$\vec{p} = m\vec{v}; \quad [p] = \text{kg} \cdot \text{m/s}$$

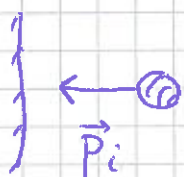
Dermed:

$$\boxed{\vec{F} = d\vec{p}/dt}$$

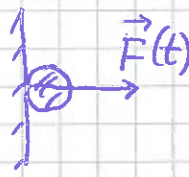
N2

Impulsbevarelse: Hvis  $\sum \vec{F}_{\text{ytre}} = 0$ , er legemets (eller systemets) impuls bevart

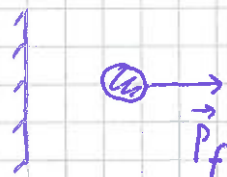
Eks: Ball mot vegg



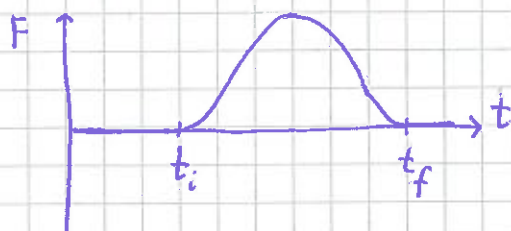
Før



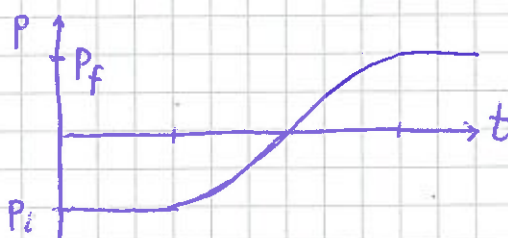
Kollisjon



Etter



$$\begin{aligned} d\vec{p} &= \vec{F}(t) dt \\ \Rightarrow \vec{p}(t) &= \vec{p}_i + \int_{t_i}^t \vec{F}(t) dt \end{aligned}$$



Ballens totale impulsendring:

$$\begin{aligned} \Delta \vec{p} &= \vec{p}_f - \vec{p}_i \\ &= \int_{t_i}^{t_f} \vec{F}(t) dt \end{aligned}$$

Talleks: Bordtennis,  $v_i \sim -10 \text{ m/s}$ , (22)

$v_f \sim +40 \text{ m/s}$ ,  $\Delta t \sim 2 \text{ ms}$ , anta  $F \approx \text{konstant}$

$$\Rightarrow F/G = m(\Delta v/\Delta t)/mg \approx 50 \text{ m/s} / 2 \cdot 10^{-3} \text{ s} \cdot 10 \text{ m/s}^2 = 2500$$

Lærdom: Ofte store krefter med kort varighet i kollisjoner;  
dermed OK å neglisiere evt. ytre krefter (som G) i kollisjonen.

### Kollisjoner [YF 8.3, 8.4 ; LL S.3]

Elastisk : Mek. energi bevart ( $\Delta K = 0$ )

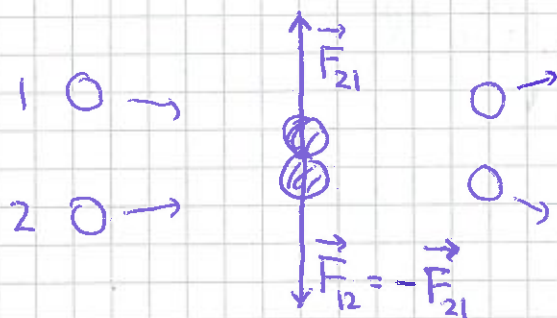
Uelastisk : —— ikke bevart ( $\Delta K < 0$ )

(Kortvarig  $\Rightarrow \Delta U \approx 0$ )

Fullstendig uelastisk : Sammenhengende legemer etter kollisjon, med felles hastighet. Gir max  $|\Delta K|$ .

Tapt K  $\rightarrow$  deformasjon, varme, lyd

Pga N3 vil indre krefter ikke endre  $\vec{P}_{\text{tot}}$ :



$$N2, N3 \Rightarrow \vec{F}_{21} = d\vec{p}_1/dt, \vec{F}_{12} = d\vec{p}_2/dt = -d\vec{p}_1/dt$$

$$\Rightarrow d\vec{p}_{\text{tot}}/dt = 0 ; \vec{p}_{\text{tot}} = \vec{p}_1 + \vec{p}_2$$

$$\Rightarrow \vec{p}_{\text{tot}} = \text{konst.}$$

# Sentralt støt [YF 8.2-8.4; LL 5.3]

(23)

$$\text{Før: } m \rightarrow v \quad v \leftarrow M \quad (i) \quad - \longleftrightarrow +$$

$$\text{Etter: } v' \leftarrow m \quad M \rightarrow v' \quad (f)$$

$$\Delta p = 0 \Rightarrow mv + MV = mv' + MV'$$

$$(a) \text{ Fullstendig uelastisk: } v' = V' = (mv + MV) / (m+M)$$

(b) Delvis uelastisk: 1 ligning, 2 ukjente  $\Rightarrow$  må ha 1 opplysning til.

$$(c) Elastisk,  $\Delta K = 0$ :  $\frac{1}{2}mv^2 + \frac{1}{2}MV^2 = \frac{1}{2}mv'^2 + \frac{1}{2}MV'^2$$$

$$\Rightarrow m(v+v') (v-v') = M(V'+V)(V'-V) \quad (1)$$

$$\Delta p = 0 \Rightarrow m(v-v') = M(V'-V) \quad (2)$$

$$(1)/(2) \Rightarrow v+v' = V'+V \quad (3)$$

$$M \cdot (3) - (2) \Rightarrow v' = \frac{M}{m+M} \left( 2V + v - \frac{m-M}{M} \right)$$

$$V' = \frac{m}{M+m} \left( 2v + V - \frac{M-m}{m} \right)$$

Eks: Ball mot vegg, elastisk

$$m \rightarrow v \quad \begin{cases} v=0 \\ M \gg m \end{cases} \quad v' \leftarrow m \quad \begin{cases} v' \end{cases}$$

$$\Rightarrow v' = \frac{M}{m+M} \left( 0 + v - \frac{m-M}{M} \right) \approx \frac{M}{M} \cdot v \cdot \left( -\frac{M}{M} \right) = -v$$

$$V' = \frac{m}{M+m} \left( 2v + 0 \right) \approx \frac{m}{M} \cdot 2v \quad (\approx 0)$$

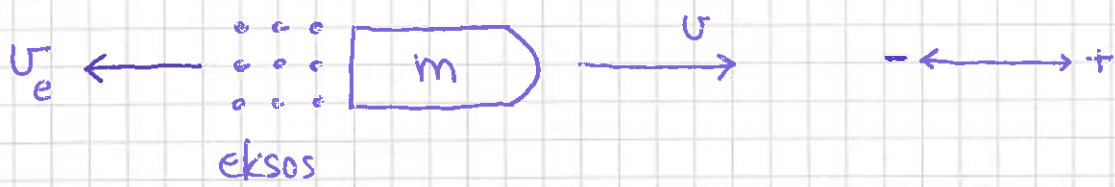
$$\text{Impuls: } p = mv, P = MV = 0, p' = mv' = -mv, \quad \left. \begin{array}{l} p' = MV' \approx M(v/M)2v = 2mv \end{array} \right\} \Rightarrow \underline{\Delta p = 0} \quad (ok)$$

$$\text{Energi: } K_m = \frac{1}{2}mv^2, K_M = \frac{1}{2}MV^2 = 0, K'_m = \frac{1}{2}mv'^2, \quad \left. \begin{array}{l} K'_M = \frac{1}{2}MV'^2 = \frac{1}{2}M(2mv/M)^2 = 2m^2v^2/M \approx 0 \end{array} \right\} \Rightarrow \underline{\Delta K = 0} \quad (ok)$$

# Rakettprinsipp

[YF 8.6 ; LLS 5.4]

(24)



$v$  = rakettens hastighet (målt i fast referansesystem)

$v_e$  = eksosens " " (målt i " " )

$u$  = " " (målt relativt raketten) (= konst.)

$$\Rightarrow v_e = u + v ; \quad v > 0, \quad u < 0$$

$\frac{dm}{dt}$  = rakettens masseendring pr tidseheit < 0

Antar  $F_{ytre} = 0$  (til slutt:  $F_{ytre} = -mg$ )

$$\Rightarrow dp/dt = 0$$

$$m(t) \rightarrow v(t) \quad p(t) = m(t)v(t)$$

$$v_e(t+dt) \leftarrow \frac{d}{dt} m(t+dt) \rightarrow v(t+dt)$$

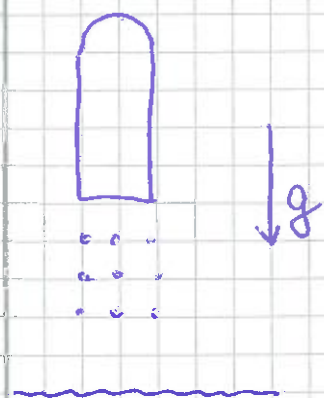
$$v_e(t+dt) \leftarrow dm_e = -dm (> 0)$$

$$\begin{aligned} p(t+dt) &= m(t+dt) \cdot v(t+dt) + dm_e \cdot v_e(t+dt) \\ &= [m(t) + dm] \cdot [v(t) + dv] - dm \cdot [u + v(t) + dv] \\ &= \underbrace{m(t)v(t)}_{p(t)} + \underbrace{m(t)dv}_{=0} - udm \end{aligned}$$

$$\Rightarrow m \cdot \frac{dv}{dt} = u \cdot \frac{dm}{dt} = \dot{um}, \quad \text{som er på "N2-form",}$$

$$m \cdot a = F_{skyv}, \quad \text{med } F_{skyv} = \dot{um} > 0$$

I tyngdefeltet kommer fjugdekriften i tillegg:



$$F_{\text{tydre}} = -mg$$

$\Rightarrow$  N2 for "rest"-raketten blir

$$F = ma$$

med total kraft

$$F = F_{\text{yne}} + F_{\text{skyv}} = -mg + u\dot{m}$$

Ring 4:  $m \frac{dv}{dt} = -mg + u \frac{dm}{dt}$

$$\Rightarrow \int dv = - \int g dt + u \int dm/m \quad \text{osv.}$$



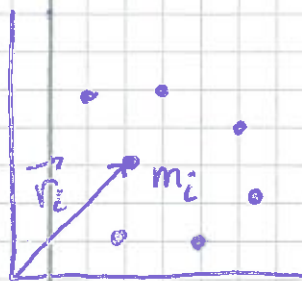
Så langt: Punktmasser, evt. ren translasjon av stive legemer.

Nå: Partikkelsystemer. Stive legemer inkl. rotasjon.



# Massesenter [YF 8.5 + oppg 8.115/116 ; LL 5.6, 5.8, 6.1] (26)

= tyngdepunkt når g er konstant i hele systemet



Massesenter (CM) for N punktmasser

$m_1, m_2 \dots m_N$  i posisjon  $\vec{r}_1, \vec{r}_2 \dots \vec{r}_N$

$$\vec{R}_{CM} = \frac{1}{M} \sum_i m_i \vec{r}_i ; \text{ Total masse } M = \sum_i m_i$$

Med kontinuerlig massefordeling:  $m_i \rightarrow dm$   $\xrightarrow{\Delta m_i \rightarrow 0}$

$$\Rightarrow \vec{R}_{CM} = \frac{1}{M} \int \vec{r} dm ; \quad M = \int dm$$

Masseelementet  $dm$ :

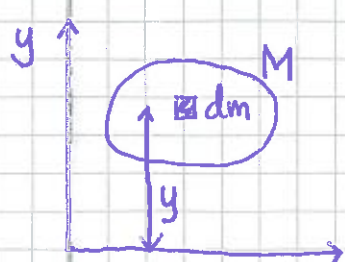
$$dm = g dV \text{ (3D)} ; \quad dm = \sigma dA \text{ (2D)} ; \quad dm = \lambda dl \text{ (1D)}$$

$g, \sigma, \lambda$  = masse pr hvr volum-, flate-, lengdeenhet

$dV, dA, dl$  = hvr volum-, flate-, lengdelement

Med uniform massefordeling er  $\underbrace{\frac{dm}{M}}_{\text{etc}} = \frac{dV}{V}$

Eks 1: Pot. energi i tyngdefeltet (anta konstant g)

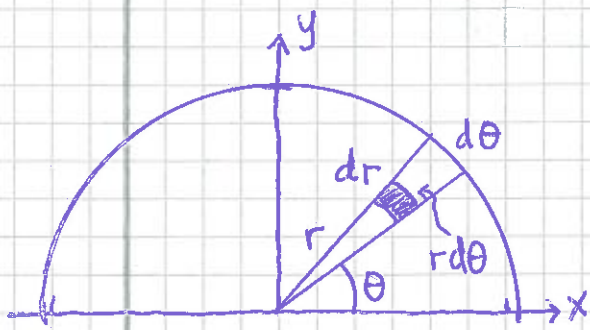


Velger  $U(0) = 0$

$$\begin{aligned} \Rightarrow U &= \int dU = \int g y dm = g \int y dm \\ &= \underline{\underline{g M Y_{CM}}} \end{aligned}$$

Dvs: Legemet har total U som om hele massen  $M = \int dm$  var samlet i høyden  $Y_{CM} = \frac{1}{M} \int y dm$  (og da f.eks. i  $\vec{R}_{CM}$ )

## Eks 2: Halvsirkuler tynn skive (radius R)



$$X_{cm} = 0 \text{ pga symmetri} \Rightarrow \vec{R}_{cm} = Y_{cm} \hat{y}$$

$$\text{med } Y_{cm} = \frac{1}{M} \int y dm = \frac{1}{A} \int y dA$$

( siden  $dm/M = dA/A$  )

Vet at  $A = \pi R^2/2$ ; ser at  $dA = dr \cdot r d\theta$  og  $y = r \sin\theta$ .

Ser også at hele skiva regnes med når  $0 < r < R$  og  $0 < \theta < \pi$   
bruket som integrasjonsgrenser.

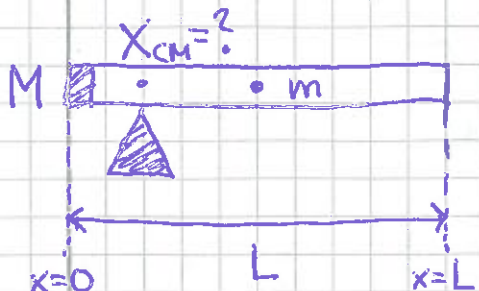
$$\Rightarrow Y_{cm} = \frac{2}{\pi R^2} \int_{r=0}^R \int_{\theta=0}^{\pi} r \sin\theta \cdot dr \cdot r d\theta$$

$$= \frac{2}{\pi R^2} \int_0^R r^2 dr \int_0^{\pi} \sin\theta d\theta = \frac{2}{\pi R^2} \cdot \frac{1}{3} R^3 \cdot \underbrace{\left[ -\cos\theta \right]_0^\pi}_{=2}$$

$$= \frac{4}{3\pi} R \approx \underline{0.42 R} \quad (\text{Rimelig svart!})$$

[Vis selv:  $Y_{cm} = \frac{2R}{\pi}$  for "bøyle" (1D);  $Y_{cm} = \frac{3R}{8}$  for halvkule]

## Eks 3: Rør med vodd i enden



$$m = 165\text{g}, M = 305\text{g}$$

$$X_{cm} = \frac{M \cdot 0 + m \cdot L/2}{M+m} = \frac{165}{940} L = \underline{0.18L}$$

$$\left[ \text{Evt: } X_{cm} = \frac{1}{M+m} \left\{ M \cdot 0 + \int_0^L x \cdot m \frac{dx}{L} \right\} = \frac{mL}{2(M+m)} \right]$$

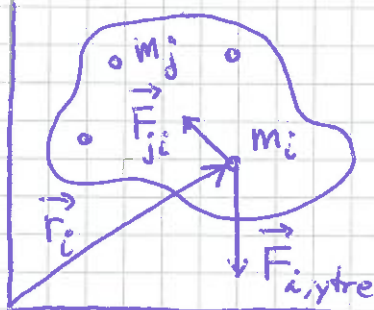
$\overbrace{= \frac{1}{2} mL}$

# Tyngdepunktbevegelsen [YF 8.5; LL 5.8]

(28)

Forsok (kast) viser at CM beveger seg som om hele M var samlet i CM! [Se s. 4]

Beweis:



$$\vec{R}_{CM} = \frac{1}{M} \sum_i m_i \vec{r}_i ; \quad M = \sum_i m_i$$

N2 for  $m_i$ :

$$m_i \ddot{\vec{r}}_i = \vec{F}_{i,ytre} + \underbrace{\sum_{j \neq i} \vec{F}_{ji}}_{\text{total ytre kraft på } m_i}$$

$\rightarrow$  total indre kraft på  $m_i$

Adderer N2 for alle  $i = 1, 2, \dots, N$ :

$$\sum_i m_i \ddot{\vec{r}}_i = \frac{d^2}{dt^2} \left\{ \sum_i m_i \vec{r}_i \right\} = \frac{d^2}{dt^2} \left\{ M \vec{R}_{CM} \right\} = M \ddot{\vec{R}}_{CM}$$

$$\sum_i \vec{F}_{i,ytre} = \vec{F}_{ytre} = \text{total ytre kraft på systemet}$$

$$\sum_i \sum_{j \neq i} \vec{F}_{ji} = \vec{F}_{21} + \vec{F}_{12} + \dots + \vec{F}_{N,N-1} + \vec{F}_{N-1,N} = 0 \quad (\text{pga N3})$$

$$\Rightarrow \boxed{\vec{F}_{ytre} = M \ddot{\vec{R}}_{CM}}$$

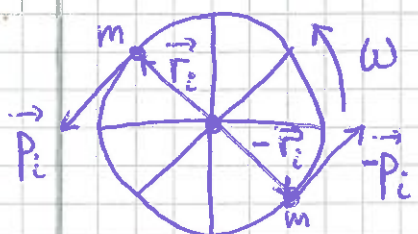
som er N2 for punktmasse M i posisjon  $\vec{R}_{CM}$ , utsatt for total ytre kraft  $\vec{F}_{ytre}$ !

I tillegg:  $\begin{cases} \text{Rotasjon om CM.} \\ \text{Vibrasjon om CM.} \end{cases}$  Nesten ca 3 saker.

# Rotasjon [YF 9, 10 ; LL 6 (5)]

Noen innledende obserasjoner:

- Ren rotasjon



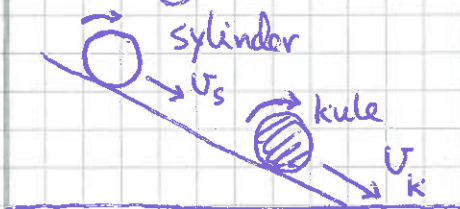
$$\text{CM i ro} \Rightarrow K_{\text{trans}} = \frac{1}{2} M R_{\text{CM}}^2 = 0$$

Men  $K_{\text{rot}} \neq 0$

$$\text{Total impuls } \vec{P} = \sum_i \vec{P}_i = 0$$

Men dreieimpuls  $\neq 0$

- Rulling



Hvorfor oppstår rotasjon?

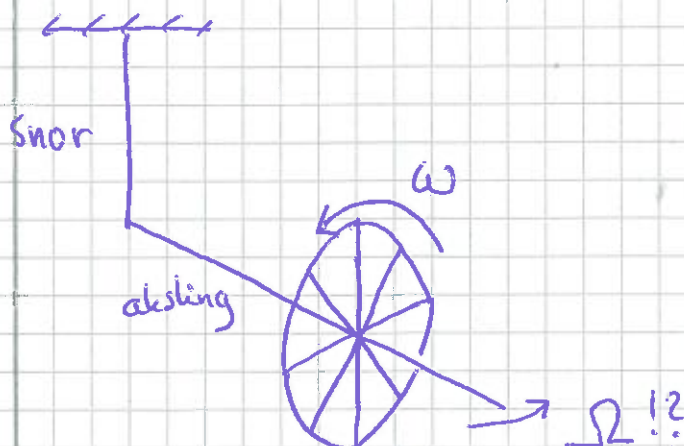
Hvor angriper kreftene?

Må ha et dreiemoment.

Hvorfor  $v_k > v_s$ ?

Hva med friksjon?

- Kompleks dynamikk



Preseksjon!

(Gyroskop)

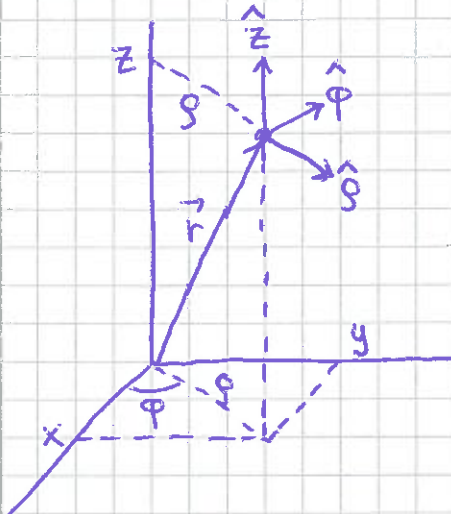
# Sirkelbevegelse

[YF 9.1-9.3; LL 1.8]

(30)

Anta rotasjon om z-aksen.

Sylinderkoordinater : Polarkoord.  $(g, \varphi)$  og  $z$



$$\vec{r} = x\hat{x} + y\hat{y} + z\hat{z} = g\hat{g} + z\hat{z}$$

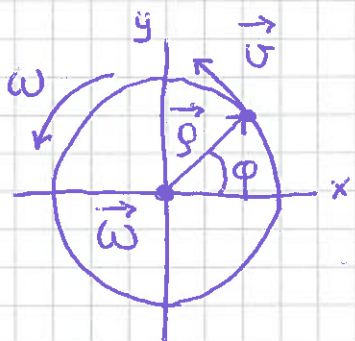
$$x = g \cos \varphi, \quad y = g \sin \varphi, \quad z = z$$

$$g = \sqrt{x^2 + y^2}, \quad \tan \varphi = y/x$$

$$r = \sqrt{x^2 + y^2 + z^2} = \sqrt{g^2 + z^2}$$

Vinkelhastigheten  $\vec{\omega}$

peker langs rotasjonsaksen :



$$\vec{\omega} = \omega \hat{z} \quad (= \omega \hat{\omega})$$

$$\vec{g} = g \hat{g}$$

$$\vec{U} = d\vec{s}/dt = g \frac{d\varphi}{dt} \hat{\varphi} = g\omega \hat{\varphi}$$

Ser at  $\hat{\varphi} = \hat{z} \times \hat{g}$

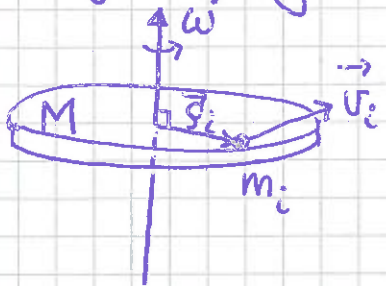
(høyrehåndsregel)

$\Rightarrow$

$$\boxed{\vec{U} = \vec{\omega} \times \vec{g}}$$

## Rotasjonsenergi. Trehetsmoment [YF 9.4; LL 6.4, 6.3]

(31)



$$K = K_{\text{rot}} = \sum_i \frac{1}{2} m_i v_i^2 = \frac{1}{2} \left( \sum_i m_i g_i^2 \right) \omega^2$$

$$I \stackrel{\text{def}}{=} \sum_i m_i g_i^2 = \text{legemets}$$

trehetsmoment mhp valgt aksse

Kontinuerlig massefordeling:  $m_i \rightarrow dm$   $\xrightarrow{\Delta m_i \rightarrow 0} dm$

$$\Rightarrow I = \int g^2 dm$$

$g$  = avstand fra aksen til  $dm$

Dermed:

$$K_{\text{rot}} = \frac{1}{2} I \omega^2$$

## Kin. energi for stift legeme [YF 10.3 ; LL 6.6]

$$K = \sum_i \frac{1}{2} m_i v_i^2 = \dots \text{ se notat for bevis/utledning (ikke pensum)}$$

$$\Rightarrow K = K_{\text{trans}} + K_{\text{rot}} = \frac{1}{2} MV^2 + \frac{1}{2} I_0 \omega^2$$

der

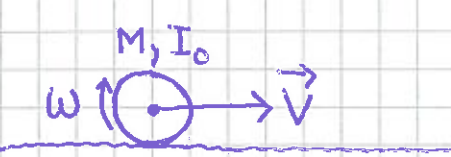
$M$  = legemets masse

$V = \vec{R}_{CM}$  = hastigheten til CM

$I_0$  = trehetsmoment mhp rotasjonsaksen gjennom CM

$\vec{\omega}$  = vinkelhastigheten om

Eks: Rullende hjul/ring.



## Ireghtsmoment, eksempler

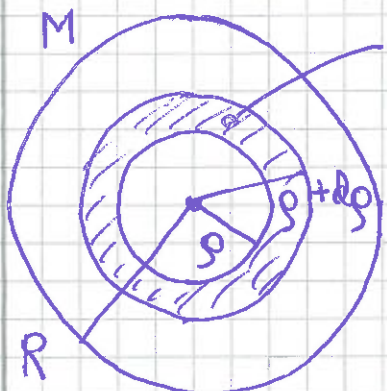
[YF 9.6; LL 6.3]

(32)

Eks 1: Ring / Hul sylinder

$$\text{Diagram: } \text{Ring med radius } R \text{ og masse } M. \quad I_o = \int g^2 dm = R^2 \int dm = \underline{\underline{MR^2}}$$

Eks 2: Skive / Kompakt sylinder



$$dI_o = g^2 dm = g^2 M \frac{dA}{A} \\ = g^2 M \frac{2\pi g dg}{\pi R^2} = \frac{2M}{R^2} g^3 dg \\ \Rightarrow I_o = \int dI_o = \frac{2M}{R^2} \int_0^R g^3 dg = \underline{\underline{\frac{1}{2} MR^2}} \\ = \frac{1}{4} R^4$$

Eks 3: Tynn stang, akse  $\perp$  stang, gjennom CM

$$\text{Diagram: } \text{Tynn stang av lengde } L \text{ med sentrum ved } 0. \quad g=x, \quad dm=M dx/L \\ \Rightarrow I_o = \int_{-L/2}^{L/2} x^2 M dx/L = \frac{M}{L} \int_{-L/2}^{L/2} x^3/3 = \underline{\underline{\frac{1}{12} ML^2}}$$

Eks 4: Tynn stang, akse gjennom stangas ende

$$\text{Diagram: } \text{Tynn stang av lengde } L \text{ med sentrum ved } 0. \quad I = \int_0^L x^2 M dx/L = \underline{\underline{\frac{1}{3} ML^2}}$$

Eks 5: Kuleskall  $I_o = \frac{2}{3} MR^2$

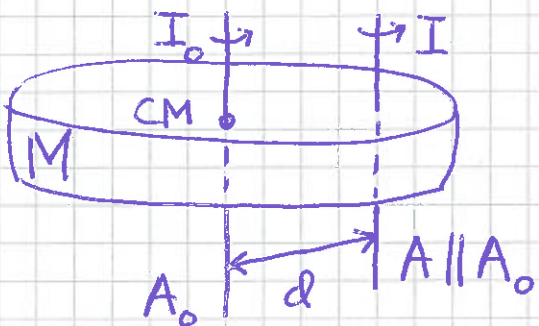
Eks 6: Kule (kompakt)  $I_o = \frac{2}{5} MR^2$

} akse gjennom CM

[Eks 2, 3, 5, 6 oppgis til eksamen]

## Steiners sats

(parallelaksseteoremet)



[YF 9.5 ; LL 6.3]

(33)

$$I = I_0 + Md^2$$

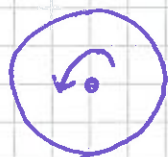
(se notat for utledning)

Eks 1: Tynn stang

$$\text{---} \bullet \text{---} \xrightarrow{d = \frac{L}{2}} \text{---} \bullet \text{---}$$

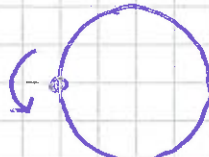
$$I_0 = \frac{1}{12}ML^2 \quad I = I_0 + M\left(\frac{L}{2}\right)^2 = \frac{1}{3}ML^2$$

Eks 2: Kompakt kule



$$I_0 = \frac{2}{5}MR^2$$

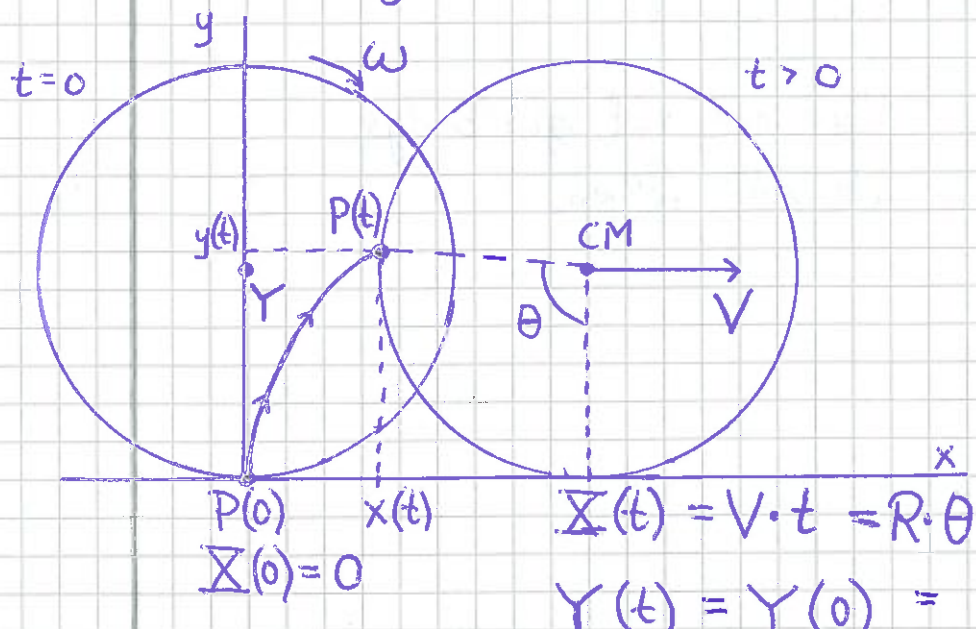
$$\xrightarrow{d=R}$$



$$I = I_0 + MR^2 = \frac{7}{5}MR^2$$

Ren rulling

[YF 10.3 ; LL 6.7]



$$\vec{P}(t) = (x(t), y(t))$$

= banen til  
punkt på  
periferien

$$\vec{P}(0) = (0, 0)$$

$$\vec{X}(t) = \vec{V} \cdot t = R \cdot \theta$$

$$Y(t) = Y(0) = R$$

Fra figuren:  $x = \vec{X} - R \sin \theta, y = R - R \cos \theta$   
 $= R\theta - R \sin \theta$

Bevegelsen til CM:

$$\vec{R}_{CM} = \vec{X} \hat{x} + Y \hat{y} = R\theta \hat{x} + R \hat{y}$$

$$\vec{V} = \dot{\vec{R}}_{CM} = R \dot{\theta} \hat{x} = R\omega \hat{x} = V \hat{x}$$

$$\vec{A} = \ddot{\vec{V}} = R \ddot{\theta} \hat{x} = R \dot{\omega} \hat{x} = R\alpha \hat{x} = A \hat{x}$$

Rullebedingelsene:

$$V = R\omega, A = R\alpha$$

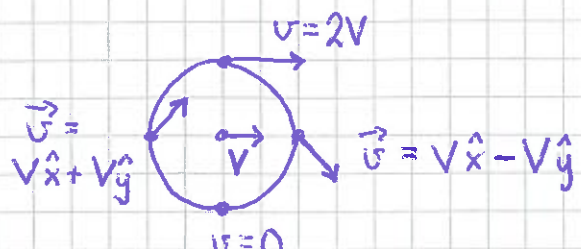
Bevegelsen til P:

$$\vec{v} = \dot{x} \hat{x} + \dot{y} \hat{y}$$

med

$$\dot{x} = R\dot{\theta} - R\dot{\theta} \cos \theta = V(1 - \cos \theta)$$

$$\dot{y} = R\dot{\theta} \sin \theta = V \sin \theta$$

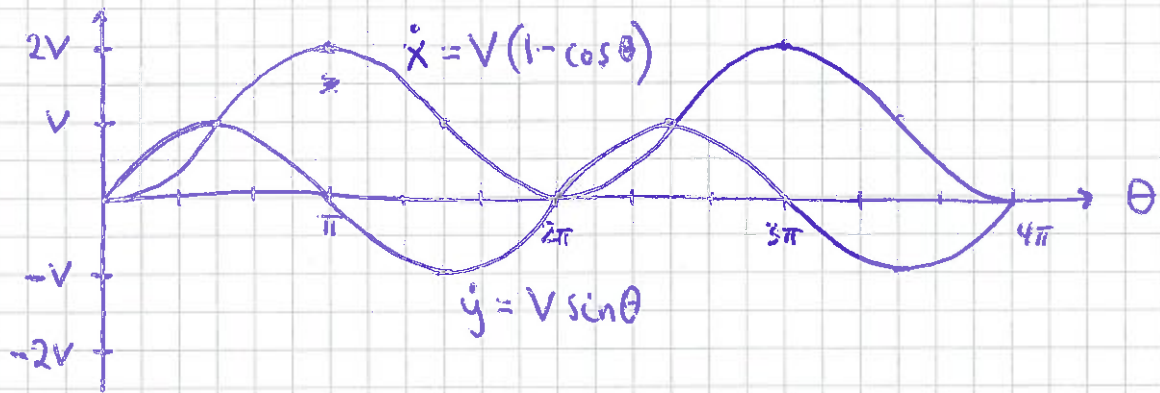


$$\text{Sykloide: } x = R(\theta - \sin \theta) \quad y = R(1 - \cos \theta)$$

(35)



Fartskomponentene til  $P$  (antar konstant  $V$ ):



Merk:  $v_p = 0$  når  $\theta = 0, 2\pi, 4\pi, \dots$ , dvs når  
 $P$  er i kontakt med underlaget

$$\Rightarrow P_f = \frac{dW_f}{dt} = \vec{f} \cdot \vec{v} = 0$$

$\Rightarrow$  Null effektfag ved ren nulling, selv om  $\vec{f} \neq 0$   
(statisk friksjon;  $f \leq \mu_s \cdot N$ )

Retning på  $\vec{f}$ : Motsatt rettet den relativhastighet  
 $\vec{v}$  som ville oppstå dersom  $\mu_s \rightarrow 0$ .

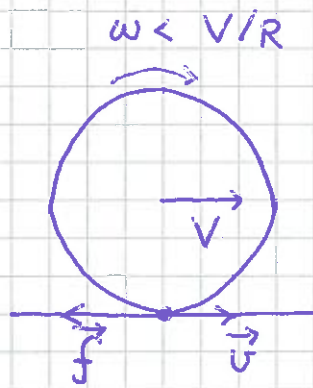
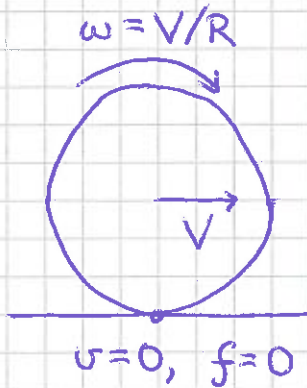
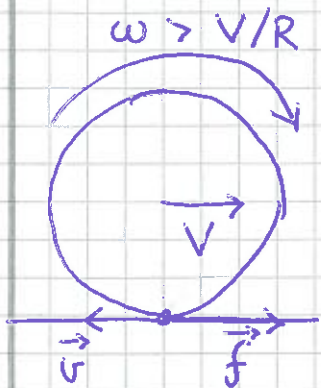
[ "Rulle-friksjon"  $\Rightarrow$  Noe tap av mekanisk energi, også  
ved ren nulling.  
Vi ser bort fra dette. ]

Sluring

[ LL 6.7 ]

(36)

$\omega \neq V/R \Rightarrow$  relativ hastighet  $v = V - \omega R$   
 mellom legeime og underlag i kontaktpunktet



Kinetisk friksjon,  $f = \mu_k \cdot N$ .

Tapt mek. energi pr. tidsenhet :  $P_f = \vec{f} \cdot \vec{v} < 0$

Kinetisk energi ved ren rulling

$$K = \frac{1}{2} MV^2 + \frac{1}{2} I_0 \omega^2$$

$$I_0 = c \cdot MR^2 \quad (c=1 \text{ for ring}, \frac{2}{5} \text{ for kule osv})$$

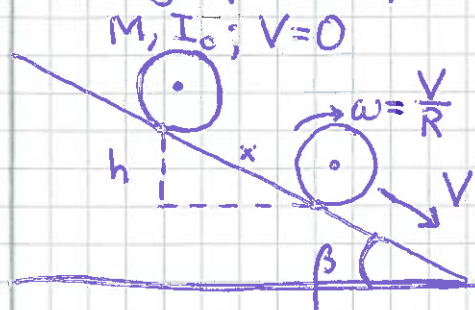
$$\omega = V/R$$

$$\Rightarrow K = \frac{1}{2} MV^2 + \frac{1}{2} c MR^2 \frac{V^2}{R^2} = \underline{\underline{(1+c) \frac{1}{2} MV^2}}$$

Eks: Rulling på skråplanet

[YF 10.3; LL 6.8]

(37)



Finn  $V$ ,  $\dot{V}$ ,  $f$  (friksjon) samt minste  $\mu_s$  som gir ren rulling.

$$I_0 = c \cdot M R^2 = \text{tregh.mom. mhp CM}$$

Exp gir:  $V(\text{kule}) > V(\text{skive}) > V(\text{kuleskall}) > V(\text{hul sylinder})$

Løsning: Ren rulling  $\Rightarrow$  mek. energi bevarer ( $f \leq \mu_s \cdot N$ )

$$\Rightarrow Mgh = (1+c) \frac{1}{2} M V^2 ; h = x \sin \beta$$

$$\Rightarrow V(x) = \sqrt{\frac{2g x \sin \beta}{1+c}} ; \text{OK, siden } c(\text{kule}) = \frac{2}{5}, \\ c(\text{skive}) = \frac{1}{2}, \quad c(\text{kuleskall}) = \frac{2}{3}, \quad c(\text{hul sylinder}) = 1$$

$$\dot{V} = \frac{dV}{dt} = \frac{dx}{dt} \frac{dV}{dx} = V \cdot \sqrt{\frac{2g \sin \beta}{1+c}} \cdot \frac{1}{2} x^{-\frac{1}{2}} = \frac{g \sin \beta}{1+c}$$

Dvs: Friksjon  $f$ , rettet oppover skråplanet, reduserer  $\dot{V}$  med en faktor  $(1+c)^{-1}$ . [ $f=0 \Rightarrow \dot{V}=g \sin \beta$ ]



$$N2: Mg \sin \beta - f = M \dot{V} = Mg \sin \beta / (1+c)$$

$$\Rightarrow f = \frac{c}{1+c} Mg \sin \beta$$

Men: Ren rulling mulig bare hvis  $f \leq f_{\max} = \mu_s N$

$$\Rightarrow \frac{c}{1+c} Mg \sin \beta \leq \mu_s Mg \cos \beta$$

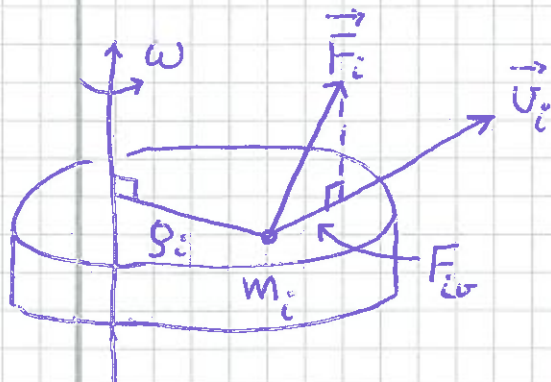
$$\Rightarrow \underline{\mu_s \geq \frac{c}{1+c} \tan \beta}$$

Eks: Kompakt kule,  $c = \frac{2}{5}$ , og  $\mu_s = 0.3$  gir ren rulling opp til  $\beta = \arctan[\mu_s(1+c)/c] = \arctan[0.3 \cdot \frac{7}{2}] = \arctan[21/20] \approx 45^\circ$

# Rotasjonsdynamikk

## Akse med fast orientering

- Essensielt endimensjonalt problem
- Dekker det meste vi skal ta for oss
- Beskriver rotasjonsdelen av legemets totale bevegelse



$$v_i = g_i \cdot \omega$$

$F_{ir}$  = komponent av  $\vec{F}_i$   
Langs  $\vec{v}_i$

Vi regner ut tilført effekt,  $P = \sum_i \vec{F}_i \cdot \vec{v}_i$ , på to måter:

$$(a) \text{Med N2: } P = \sum_i m_i \frac{d\vec{v}_i}{dt} \cdot \vec{v}_i = \frac{d}{dt} \sum_i \frac{1}{2} m_i v_i^2 \quad (\text{som s.17})$$

$$= \frac{d}{dt} \frac{1}{2} \left\{ \sum_i m_i g_i^2 \right\} \omega^2 = \frac{1}{2} I \frac{d\omega^2}{dt} = \frac{1}{2} I \cdot 2\omega \frac{d\omega}{dt} = I\omega \frac{d\omega}{dt}$$

$$(b) P = \sum_i F_{ir} v_i = \left\{ \sum_i F_{ir} g_i \right\} \omega = \underline{\underline{\omega}}$$

$$\Rightarrow \boxed{\tau = I \ddot{\omega}} \quad \text{N2 for rotasjon om akse med fast orientering}$$

med  $\tau = \sum_i F_{ir} g_i =$  ytre dreiemoment på legemet,  
mhp rotasjonsaksen

$$I = \sum_i m_i g_i^2 = \text{legemets } \underline{\underline{\text{treghetsmoment}}} \\ \text{mhp rot. aksen}$$

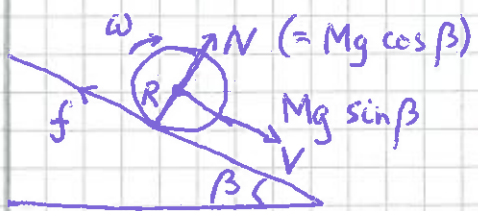
Fra  $P = \tau \omega = \tau d\varphi/dt$  og  $P = dW/dt$  følger det at  
tilført arbeid ved rotasjon er

$$\boxed{dW = \tau d\varphi}$$

[YF 10.4; LL 6.4]

# Eks 1: Rulling på skråplan

(39)



$$\omega = v/R; \quad \dot{\omega} = \ddot{v}/R$$

$$I_o = c \cdot M R^2$$

N2, rot. om akse gjennom CM:  $\tau = I_o \dot{\omega}; \quad \tau = f \cdot R$

$$\Rightarrow f \cdot R = c M R^2 \cdot \ddot{v}/R \Rightarrow f = c M \ddot{v}$$

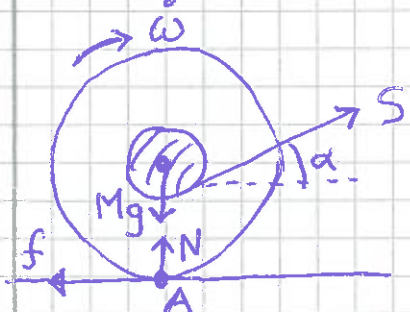
N2, translasjon:  $Mg \sin \beta - f = M \ddot{v}$

$$\Rightarrow Mg \sin \beta = M \ddot{v} + f = (1+c) M \ddot{v} \Rightarrow \ddot{v} = \frac{g \sin \beta}{1+c} \quad (\text{som s. 37})$$

# Eks 2: Snelle

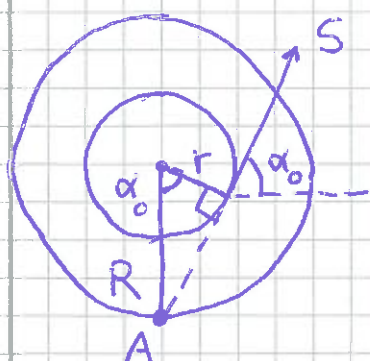


Velger akse gjennom kontakt-punktet (-linje) A; bare snordraget S kan ha dreiemoment mhp aksen A:



Liten  $\alpha \Rightarrow$  nuller mot høyre  
Stor  $\alpha \Rightarrow$  ---||--- venstre

Statisk likevekt når  $S$  går gjennom A; da er  $\tau_A = 0$ :



[ Vis at snella nå blir liggende i ro så lenge

$$S \leq \frac{\mu_s M g}{\cos \alpha_0 + \mu_s \sin \alpha_0}$$

$$\Rightarrow \cos \alpha_0 = \frac{f}{R}$$

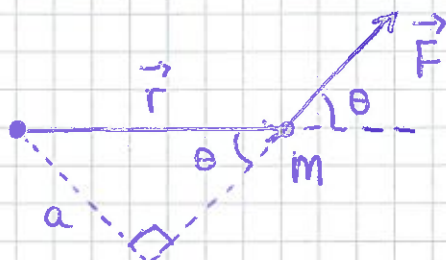
# Rotasjonsdynamikk, "vektorelt"

40

## Dreiemarkent [YF 10.1; LL 5.5, 6.4]

NB: Dreiemarkent  $\vec{\tau}$  og dreieimpuls  $\vec{L}$  må alltid beregnes relativt et (fritt valgt!) referansepunkt  $\vec{r}_0$ . La oss her, for enkelhets skyld, velge origo som referansepunkt. Posisjonen til en punktmasse eller et masselement, relativt referansepunktet, blir da ganske enkelt  $\vec{r}$ . Med vilkårlig ref. punkt  $\vec{r}_0$  må  $\vec{r}$  erstattes av  $\vec{r} - \vec{r}_0$ .

## Dreiemarkent [YF 10.1; LL 5.5, 6.4]



$$\boxed{\vec{\tau} = \vec{r} \times \vec{F}}$$

=  $\vec{F}$ 's dreiemarkent på m

Retning:  $\vec{\tau} \perp \vec{F}$  og  $\vec{\tau} \perp \vec{r}$

Abs. Verdi:  $\tau = r \cdot F \cdot \sin\theta = a \cdot F$  ("arm x kraft")

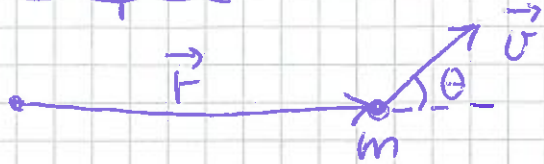
For partikkelsystem, f.eks stift legeme:



$$\vec{\tau} = \int d\vec{\tau} = \int \vec{r} \times d\vec{F} = \text{totalt dreiemarkent på systemet}$$

Dreieimpuls

[YF 10.5 ; LL 6.6]



$$\vec{p} = m\vec{v} \quad (= \text{impulsen})$$

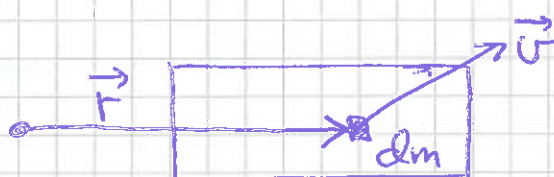
$$\boxed{\vec{L} = \vec{r} \times \vec{p}}$$

=  $m$ 's dreieimpuls

Retning:  $\vec{L} \perp \vec{p}, \vec{L} \perp \vec{F}$

Abs. verdi:  $L = r \cdot p \cdot \sin \theta = a \cdot p$  ("arm  $\times$  impuls")

For partikkelsystem, f.eks. stort legeme:



$$d\vec{p} = dm \cdot \vec{v}$$

$$\vec{L} = \int d\vec{L} = \int \vec{r} \times \vec{v} dm = \text{systemets totale dreieimpuls}$$

N2 for rotasjon

[YF 10.5 ; LL 6.6]

Skal vise at:

$$\boxed{\vec{\gamma} = d\vec{L}/dt}$$

[Kallas også spinnssatsen]

Punktmasse  $m$ :

$$d\vec{L}/dt = \frac{d}{dt} (\vec{r} \times m\vec{v}) = m \underbrace{\frac{d\vec{r}}{dt} \times \vec{v}}_{= \vec{v} \times \vec{v} = 0} + m\vec{r} \times \frac{d\vec{v}}{dt}$$

$$\stackrel{N2}{=} \vec{r} \times \vec{F} = \vec{\gamma}$$

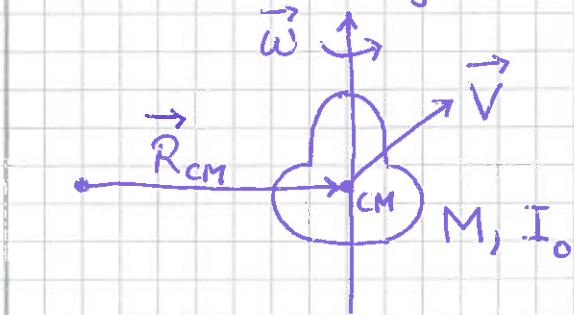
Tilsvarende bevis for partikkelsystem.

 $\vec{\gamma} = \text{netto ydre dreiemoment på systemet}; \vec{L} = \text{systemets totale dreieimpuls}$

# $\vec{L}$ for stift legeme [YF 10.5 ; LL 6.6]

(42)

Vi antar stift legeme med refleksjonsymmetri om rotasjonksen:



Resultat: 
$$\vec{L} = \vec{L}_b + \vec{L}_s = \vec{R}_{CM} \times M\vec{V} + I_0 \vec{\omega}$$

[Se eget nettk for bevis!]

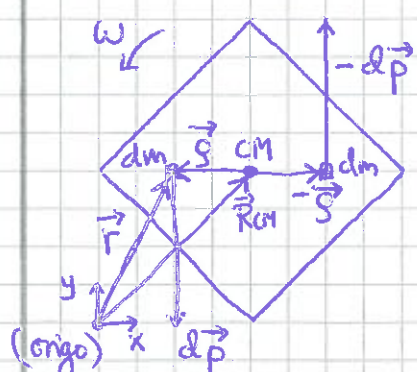
Bannedreieimpuls:

$\vec{L}_b = \vec{R}_{CM} \times M\vec{V}$ ; dvs direkte fra definisjonen av  $\vec{L}_b$  som punktmasse  $M$  i posisjon  $\vec{R}_{CM}$  med hastighet  $\vec{V} = \vec{R}_{CM}$ .

Indre dreieimpuls ("spenn"):

$\vec{L}_s = I_0 \vec{\omega}$ ; uavhengig av valg av referansepunkt.

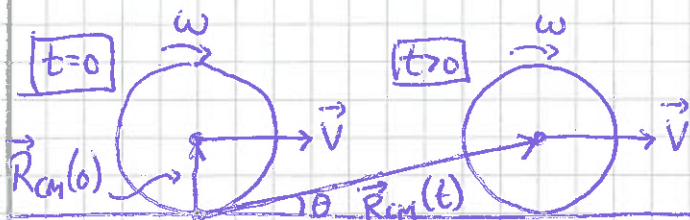
"Antydningsbevis" for  $\vec{L}_s = I_0 \vec{\omega}$ :



$$\begin{aligned}
 \vec{r} &= \vec{R}_{CM} + \hat{z}\hat{z} + \hat{g}\hat{g} \\
 d\vec{p} &= dm \cdot \vec{v} = dm \cdot \omega g \hat{\phi} \\
 \Rightarrow d\vec{L}_s &= (\underbrace{\vec{R}_{CM} + \hat{z}\hat{z} + \hat{g}\hat{g}}_{\text{kanselleres pga refl. symmetri!}} \times (dm \cdot \omega g \hat{\phi})) \\
 &\rightarrow g^2 dm \omega \hat{g} \times \hat{\phi} = dI_0 \cdot \underbrace{\omega \hat{z}}_{=\vec{\omega}} \\
 \Rightarrow \vec{L}_s &= \int d\vec{L}_s = \{ \int dI_0 \} \vec{\omega} = \underline{\underline{I_0 \vec{\omega}}}
 \end{aligned}$$

Eks: Bestem  $\vec{L}$  for rent rullende kule

(43)



$\vec{r}_0 = \vec{0}$  (ref.punkt)

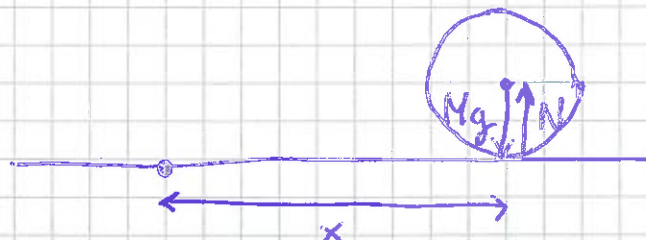
$$\vec{L}_b(0) = \vec{R}_{CM}(0) \times M\vec{V} = -MRV\hat{z}$$

$$\vec{L}_b(t) = \vec{R}_{CM}(t) \times M\vec{V} = -R_{CM}(t)MV \sin\theta \hat{z} = -MRV\hat{z}$$

$$\vec{L}_s(0) = \vec{L}_s(t) = I_0 \vec{\omega} = -\frac{2}{5}MR^2 \frac{V}{R} \hat{z} = -\frac{2}{5}MRV\hat{z}$$

$$\Rightarrow \underline{\vec{L}} = -\frac{7}{5}MRV\hat{z}, \text{ uavhengig av } t \text{ hvis } V=\text{konstant}$$

Vi har  $\vec{\tau} = \partial \vec{L} / \partial t$ , så her må  $\vec{\tau} = 0$ :



Mg (ned) og N (opp) har like stor arm x;  $N = Mg$

$$\Rightarrow \vec{\tau} = x\hat{x} \times N\hat{y} + x\hat{x} \times Mg(-\hat{y}) = 0 \quad \text{OK!}$$

# Bevaringslover oppsummert

(44)

- For et isolert system (ingen ytre krefter) er total energi  $E$ , impuls  $\vec{p}$  og dreieimpuls  $\vec{L}$  bevart
- I et konservativt system er mekanisk energi  $K+U$  bevart
- Hvis netto ytre kraft på et system er null, er total impuls  $\vec{p}$  bevart
- Hvis netto ytre dreiemoment på et system er null, er total dreieimpuls  $\vec{L}$  bevart

~~~~~

Spesialtilfelle: Statisk likevekt [YF II.1-II.3; LL 7.1]

Et stift legeme forblir i ro (dvs  $\vec{p}=0$  og  $\vec{L}=0$ )

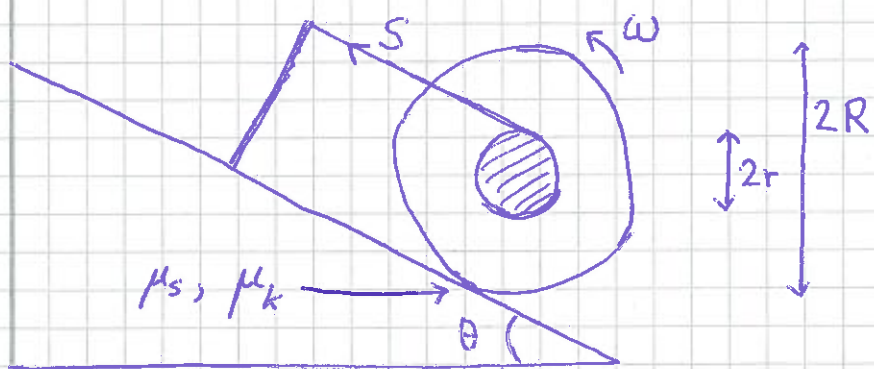
bare når netto ytre kraft og netto ytre dreiemoment er null:

$$\sum_i \vec{F}_i = 0 \Rightarrow \vec{p} = \text{konstant} \quad (\text{f.eks. } \vec{p}=0)$$

$$\sum_i \vec{\tau}_i = 0 \Rightarrow \vec{L} = \text{konstant} \quad (\text{f.eks. } \vec{L}=0)$$

## Eksempler, rotasjon

Eks 1: Snelle på skråplan (Øving 6)



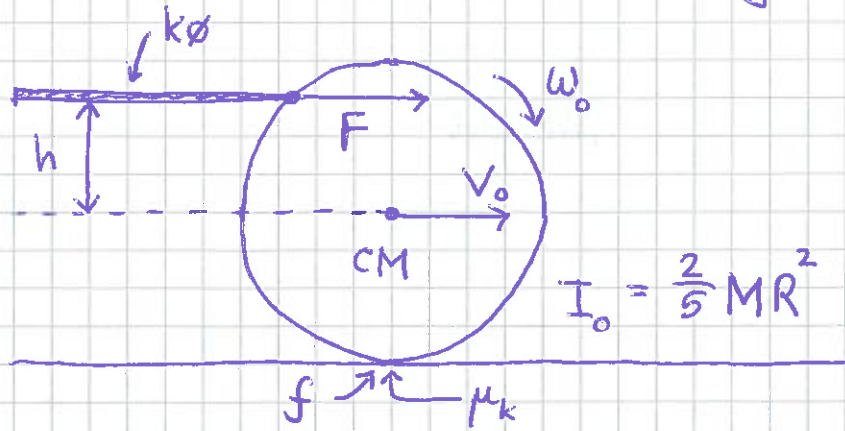
- Ved hvilken vinkel  $\Theta_0$  begynner snella å "skre bakklangs" nedover skråplanet?
- Hva er snordraget  $S$  og akselerasjonen  $a$  når  $\Theta > \Theta_0$ ?

Tips:

- $N1$  langs skråplanet og  $N1$  for rotasjon om CM gir  $\Theta_0$  ved å sette  $f = f_{\max} = \mu_s N$
- $N2$  langs skråplanet og  $N2$  for rotasjon om CM gir  $S$  og  $a$ ; nå er  $f = \mu_k N$

## Eks 2: Snooker [LL 6.7 ; øving 6]

(46)



$$I_0 = \frac{2}{5} MR^2$$

Kortværing støter med koden i høyde  $h$  over senderlinjen.  
 $F \gg f \Rightarrow$  neglisjerer  $f$  i selve støtet.  
 Finn kulas bevegelse.

Tips:

Støtet ( $F$ ;  $\tau = F \cdot h$  med CM som referanse)

gir  $V_0$  og  $\omega_0$  bestemt av N2 og N'2, rotasjon:

$$F \cdot \Delta t = \Delta p = MV_0; \quad \tau \cdot \Delta t = \Delta L = I_0 \omega_0$$

Stor  $h \Rightarrow \omega_0 > V_0/R \Rightarrow$  sluning,  $\vec{f}$  mot høyre

Listen  $h \Rightarrow$  omvendt

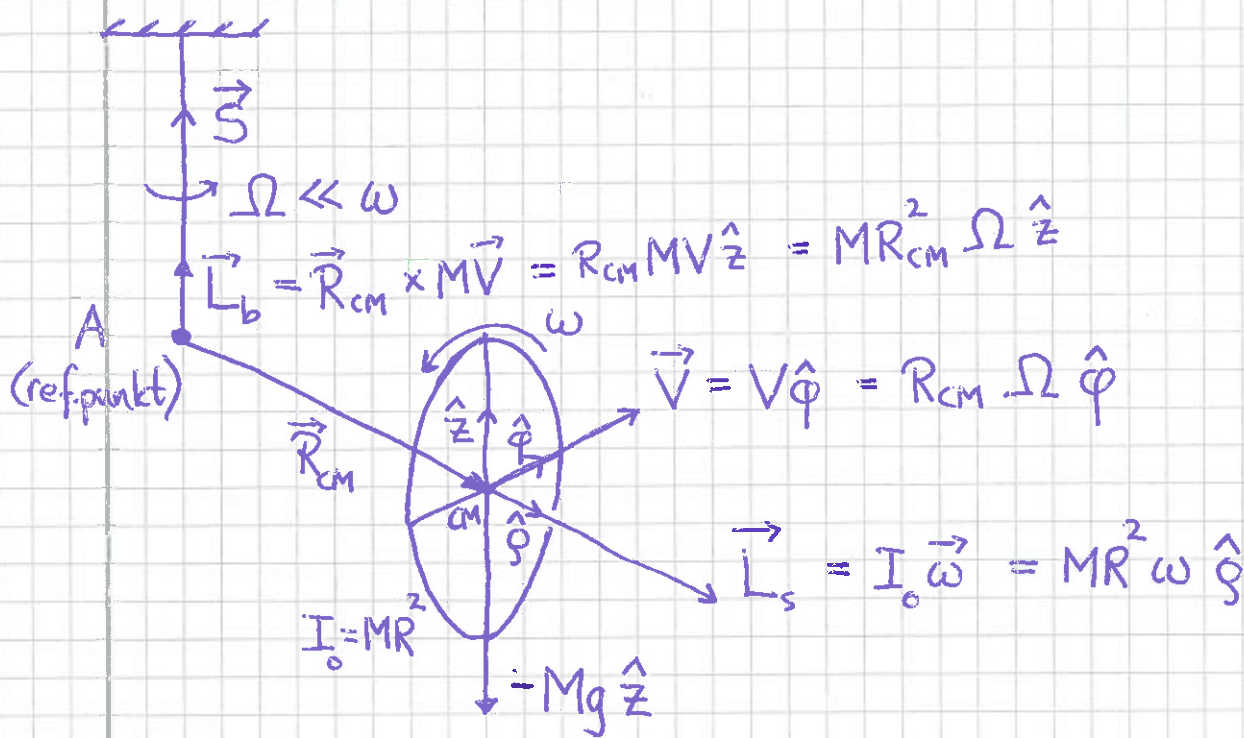
$h = \dots \Rightarrow \omega_0 = V_0/R \Rightarrow$  ren rulling umiddelbart

Eller hvort: ren rulling uansett (og  $f=0$ )

# Eks 3: Presesjon

[YF 10.7; LL 6.10]

(47)



$$\text{Exp: } M=5\text{ kg}, R=0.3\text{ m}, R_{CM}=0.2\text{ m}, T_\Omega = \frac{2\pi}{\Omega} \approx 4.7$$

Oppgave: Finn sammenheng mellom  $T_\Omega$  og  $T_\omega = \frac{2\pi}{\omega}$ .

Løsning:

$$\text{N2, rot. relativt A: } \vec{\tau}_A = \frac{d\vec{L}_A}{dt}.$$

Dreiemoment relativt A:

$$\vec{\tau}_A = \vec{R}_{CM} \times \vec{Mg} = R_{CM}Mg(\hat{g} \times (-\hat{z})) = R_{CM}Mg\hat{\phi}$$

( $\vec{S}$  har null arm relativt A.)

Dreieimpuls relativt A:

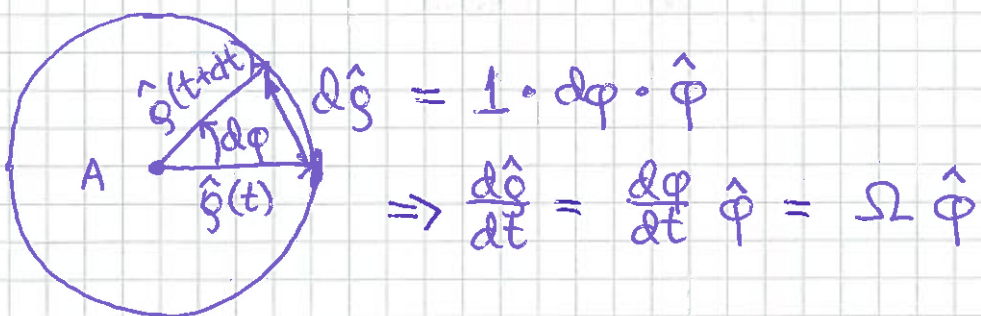
$$\vec{L}_A = \vec{L}_b + \vec{L}_s = MR_{CM}^2\Omega\hat{z} + MR^2\omega\hat{g} \approx MR^2\omega\hat{g}$$

når  $\omega \gg \Omega$  (og  $R_{CM} \approx R$ ).

$$\text{Dermed: } \frac{d\vec{L}_A}{dt} \approx MR^2\omega \frac{d\hat{\varphi}}{dt}$$

(48)

Sett ned langs z-aksen:



$$\Rightarrow \underbrace{R_{CM} M g \hat{\varphi}}_{\vec{r}_A} = \underbrace{MR^2 \omega \Omega \hat{\varphi}}_{\frac{d\vec{L}_A}{dt}}$$

$$\Rightarrow \omega = -\frac{R_{CM} g}{R^2 \Omega}$$

$\Rightarrow$  hjulets omkretstid:

$$T_\omega = \frac{2\pi}{\omega} = \frac{(2\pi R)^2}{R_{CM} g T_\Omega}$$

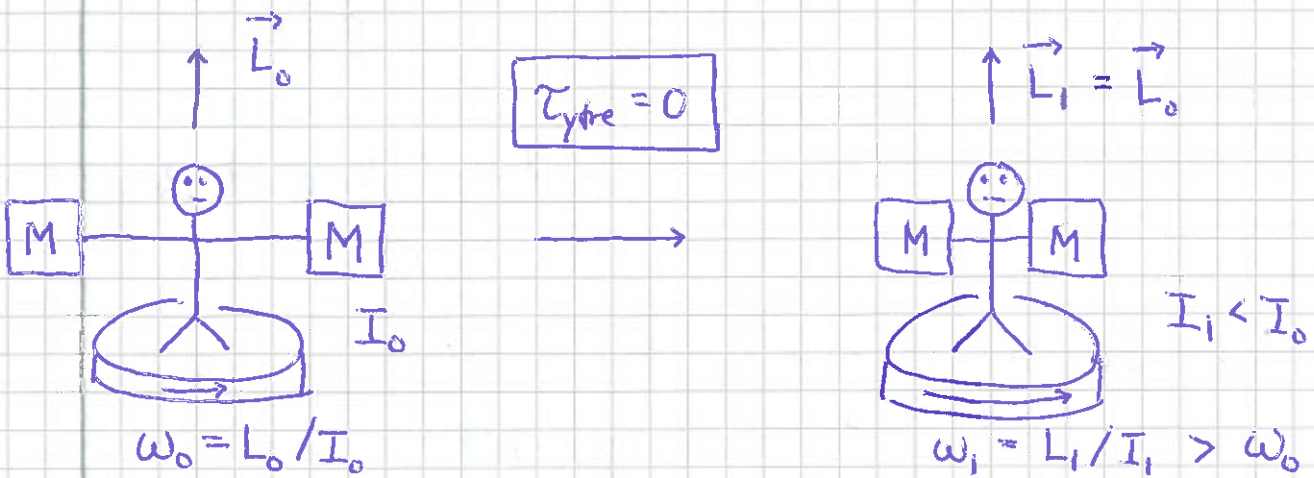
Exp. tallverdi:

$$T_\omega = \frac{(2\pi \cdot 0.3)^2}{0.2 \cdot 10 \cdot T_\Omega} \approx \frac{2 \text{ s}^2}{T_\Omega} \approx \underline{\underline{0.4 \text{ s}}}$$

## Eks 4 : Piruet

[YF 10.6 ; LL 6.5]

(49)

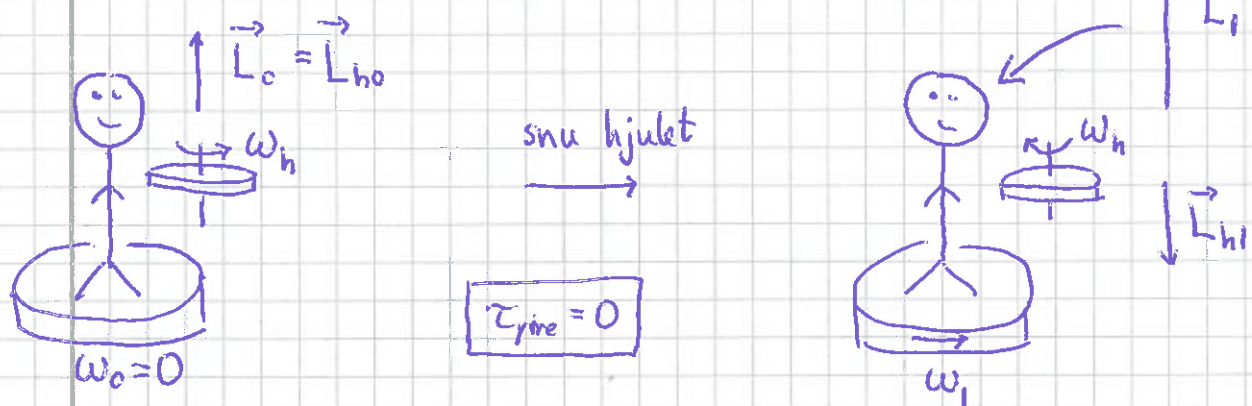


$$\tilde{\tau}_{ytre} = 0 \rightarrow \vec{L}_1 = \vec{L}_0 \Rightarrow \omega_1 = L_0 / I_1 = \omega_0 I_0 / I_1 > \omega_0$$

$$K_0 = \frac{1}{2} I_0 \omega_0^2 ; K_1 = \frac{1}{2} I_1 \omega_1^2 = \frac{1}{2} I_0 \omega_0^2 \cdot \omega_1 = K_0 I_0 / I_1 > K_0$$

Utført arbeid tas fra kjemisk energi i musklene

## Eks 5 : Roterende student og hjul



$$\vec{L}_1 + \vec{L}_{h1} = \vec{L}_0 ; \vec{L}_{h1} = -\vec{L}_0$$

$$\Rightarrow \underline{\underline{\vec{L}_1 = 2 \vec{L}_0}}$$

Svingninger

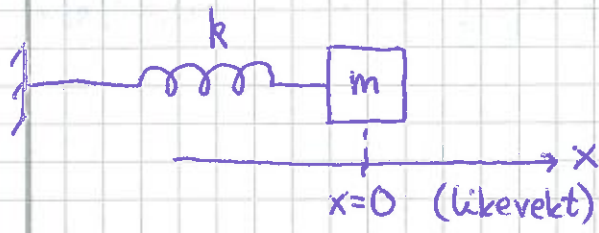
[YF 14; LL 9]

= oscillasjoner = periodisk oppførsel omkring likevekt

Eks: masse/fjær, pendler, gitarstreng, atomer i molekylar etc

Harmonisk oscillator

[YF 14.2; LL 9.1-9.3]



$x$  = posisjonen til  $m$

= fjærforklengelsen ( $x > 0$ )

(evt. sammenpressing,  $x < 0$ )

- $x \geq 0 \Rightarrow \vec{F} \sim -\hat{x}$  (fjæra søker tilbake til likevekt)
- $|\vec{F}| \sim |x|$  (ideell fjær; Hooke's lov)

$$\Rightarrow \boxed{\vec{F} = -kx \hat{x}}$$

$k$  = fjærkonstanten ;  $[k] = \text{N/m}$



$$\text{N2: } -kx = m\ddot{x}$$

$$\Rightarrow \ddot{x} + (k/m)x = 0$$

$$\Rightarrow \boxed{\ddot{x} + \omega_0^2 x = 0}$$

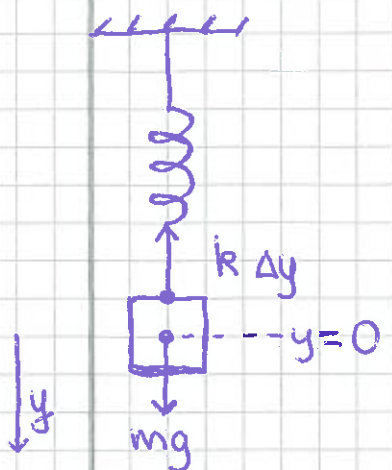
Harmonisk oscillator i 1D,  
med  $\omega_0 = \sqrt{k/m}$

Generell løsning: [Xing: B og C uttrykt ved A og  $\varphi$ ]

$$x(t) = B \cos \omega_0 t + C \sin \omega_0 t \quad \text{evt } x(t) = A \cos(\omega_0 t + \varphi)$$

Konstantene  $B, C$  evt  $A, \varphi$  fastlegges via to initialbetingelser, f.eks  $x(0) = x_0$  og  $\dot{x}(0) = v_0$

Vertikalt i tyngdefeltet :



Strukket fører i likevekt :  $mg = k\Delta y \Rightarrow \Delta y = \frac{mg}{k}$

Anta m (evt M) i  $y=0$  i strukket likevekt

$$\Rightarrow \sum F = mg - k(\Delta y + y) = -ky$$

$$\stackrel{\text{N2}}{\Rightarrow} m\ddot{y} = -ky$$

$$\Rightarrow \ddot{y} + \omega_0^2 y = 0$$

Dvs : Samme ligning, samme  $\omega_0 = \sqrt{k/m}$

Størrelser og begreper (jf sirkelberegelse) :

$$x(t) = A \cos(\omega_0 t + \varphi) \quad \text{= oscillatorens "posisjon"}$$

$A$  = amplitude = max utsving fra likevekt ;  $[A] = [x]$

$\omega_0$  = vinkelfrekvens ;  $[\omega_0] = \text{s}^{-1}$

$T = \frac{2\pi}{\omega_0}$  = periode = tid pr hel svingning ;  $[T] = \text{s}$

$f = T^{-1}$  = frekvens = antall svingn. pr tidsenhet ;  $[f] = \text{s}^{-1} = \text{Hz}$

$\omega_0 t + \varphi$  = svingningens fase

$\varphi$  = fasekonstant ;  $[\varphi] = 1$

$$\text{Hastighet : } \dot{x}(t) = -\omega_0 A \sin(\omega_0 t + \varphi) = \omega_0 A \cos(\omega_0 t + \varphi + \frac{\pi}{2})$$

$$\begin{aligned} \text{Akselerasjon : } \ddot{x}(t) &= -\omega_0^2 A \cos(\omega_0 t + \varphi) = -\omega_0^2 x(t) \quad (\text{ok!}) \\ &= \omega_0^2 A \cos(\omega_0 t + \varphi + \pi) \end{aligned}$$

$\Rightarrow$  Faseforskjell  $\pi/2$  mellom  $x$  og  $\dot{x}$ ,

— || —  $\pi$  mellom  $x$  og  $\ddot{x}$  (i motfas)

## Energi i harmoniske oscillator [YF 14.3; LL 9.4]

52  
Antar  
her  
 $\varphi=0$

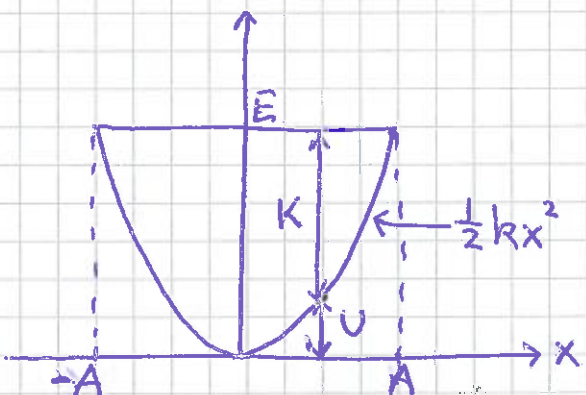
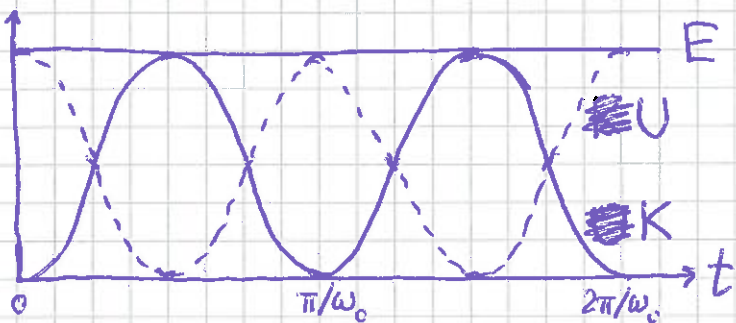
$$K(t) = \frac{1}{2}m\dot{x}^2 = \frac{1}{2}m\omega_0^2 A^2 \sin^2 \omega_0 t = \frac{1}{2}kA^2 \sin^2 \omega_0 t$$

$$U = - \int_0^x F(x) dx = - \int_0^x (-kx) dx = \frac{1}{2}kx^2$$

$$\Rightarrow U(t) = \frac{1}{2}kA^2 \cos^2 \omega_0 t$$

$$\Rightarrow E = K + U = \frac{1}{2}kA^2 = \text{konstant}$$

$\Rightarrow$  Total mek. energi er bevart; systemet er konservert.

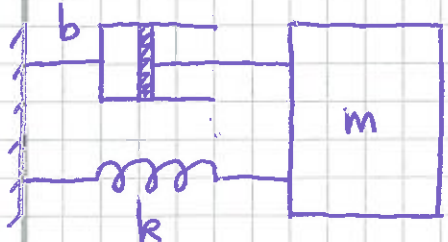


# Dempet fri svingning [YF 14.7 ; LL 9.7]

(53)

Antar  $f = -b\dot{x}$ , dvs langsom bevegelse i fluid

[Stor  $\ddot{x}$  i fluid:  $f = -D\ddot{x}^2$ ; Tørr friksjon:  $f = \mu_k N$ ]



$$N2: -kx - b\dot{x} = m\ddot{x}$$

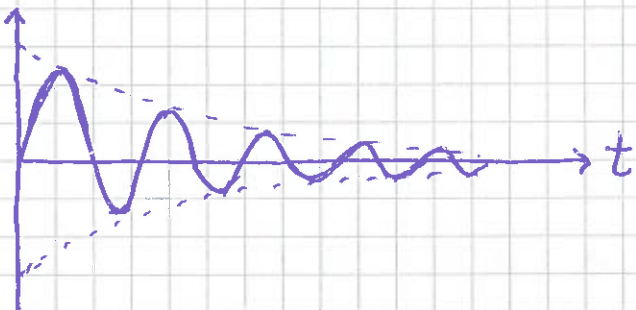
$$\Rightarrow \ddot{x} + 2\gamma\dot{x} + \omega_0^2 x = 0$$

$$\gamma = b/2m, \quad \omega_0 = \sqrt{k/m}$$

$$[\gamma] = [\omega_0] = \text{ s}^{-1}$$

Underkritisk (svak) demping,  $\gamma < \omega_0$

$$x(t) = A e^{-\gamma t} \sin(\omega t + \varphi) ; \quad \omega = \sqrt{\omega_0^2 - \gamma^2}$$



-----  $\pm A e^{-\gamma t}$   
(omhylningskurve)

Dempede svingninger.

Eksponentielt avtagende amplitud,  $A e^{-\gamma t}$

$\Rightarrow$  Etter tid  $1/\gamma = 2m/b$  er amplituden redusert til  $A \cdot e^{-1} \approx 0.37 A$

Overkritisk demping,  $\gamma > \omega_0$

(54)

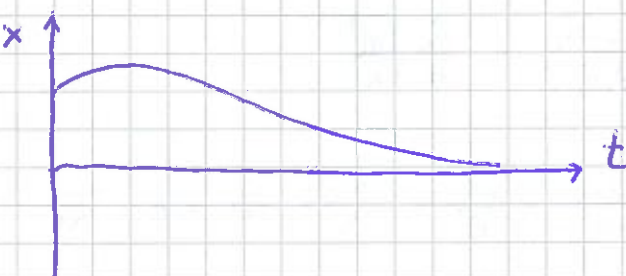
$$x(t) = A e^{-\alpha_1 t} + B e^{-\alpha_2 t}$$

$$\alpha_1 = \gamma + \sqrt{\gamma^2 - \omega_0^2}, \quad \alpha_2 = \gamma - \sqrt{\gamma^2 - \omega_0^2}$$

Kritisk demping,  $\gamma = \omega_0$  ( $\Rightarrow \alpha_1 = \alpha_2 = \gamma$ )

$$x(t) = A e^{-\gamma t} + B t e^{-\gamma t}$$

Dvs:  $\gamma > \omega_0$  gir ikke svingninger.



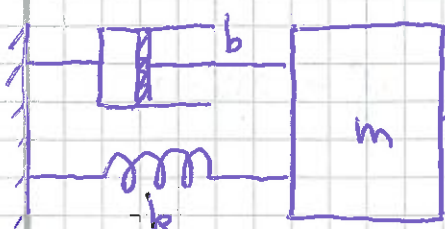
Her:  $x(0) > 0$

$\dot{x}(0) > 0$

Eks: Støtdempere har  $\gamma \approx \omega_0$ ,  
gir best kjørekjørfert

### Tvungen svingning. Resonans

[YF 14.8; LL 9.9]



$$F(t) = F_0 \cos \omega t$$

= ytre harmonisk kraft

$$N2: -kx - b\dot{x} + F_0 \cos \omega t = m\ddot{x}$$

$$\Rightarrow \ddot{x} + 2\gamma \dot{x} + \omega_0^2 x = \frac{F_0}{m} \cos \omega t \quad (2\gamma = \frac{b}{m}, \omega_0^2 = \frac{k}{m})$$

Generell løsning:  $x(t) = x_h(t) + x_p(t)$

Homogen løsning, som s. 53 og 54:

$x_h(t) \sim \exp(-\delta t) \approx 0$  når  $t \gg 1/\delta$ ; kun relevant for innsvingningsforløpet

Partikularløsning:

$$x_p(t) = A(\omega) \sin[\omega t + \varphi(\omega)]$$

Innsetting i  $\ddot{x}_p + 2\delta \dot{x}_p + \omega_0^2 x_p = \frac{F_0}{m} \cos \omega t$  gir

$$A(\omega) = \frac{\frac{F_0}{m}}{\left\{(\omega^2 - \omega_0^2)^2 + (2\delta\omega)^2\right\}^{1/2}} ; \quad \varphi(\omega) = \arctan\left\{\frac{\omega_0^2 - \omega^2}{2\delta\omega}\right\}$$

## Resonans:

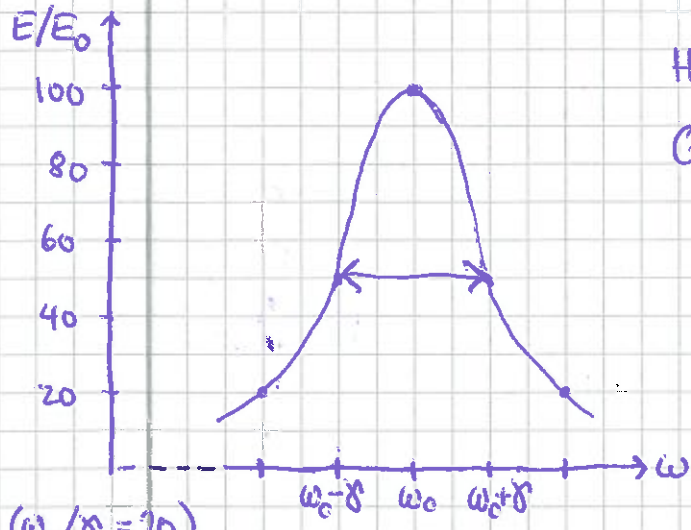
Sært stor  $A(\omega)$  dersom  $\underline{\delta \ll \omega_0}$  (svak demping) og  $\underline{\omega \approx \omega_0}$ :

$$A(\omega_0) = \frac{F_0}{2m\delta\omega_0} = \frac{F_0}{m\omega_0^2} \frac{\omega_0}{2\delta} = \frac{F_0}{k} \frac{\omega_0}{2\delta} = A_0 \frac{\omega_0}{2\delta} \gg A_0$$

$A(\omega_0) \rightarrow \infty$  hvis  $\delta \rightarrow 0$  (jf Tacoma bridge, 1940)

Oscillatorens energi:

$$E = \frac{1}{2}kA^2 = E_0 \cdot \frac{\omega_0^4}{(\omega^2 - \omega_0^2)^2 + (2\delta\omega)^2} ; \quad E_0 = \frac{1}{2}kA_0^2 = \frac{F_0^2}{2k}$$



$$\Rightarrow Q = 10$$

Halverdibredde:  $\Delta\omega \approx 2\delta$

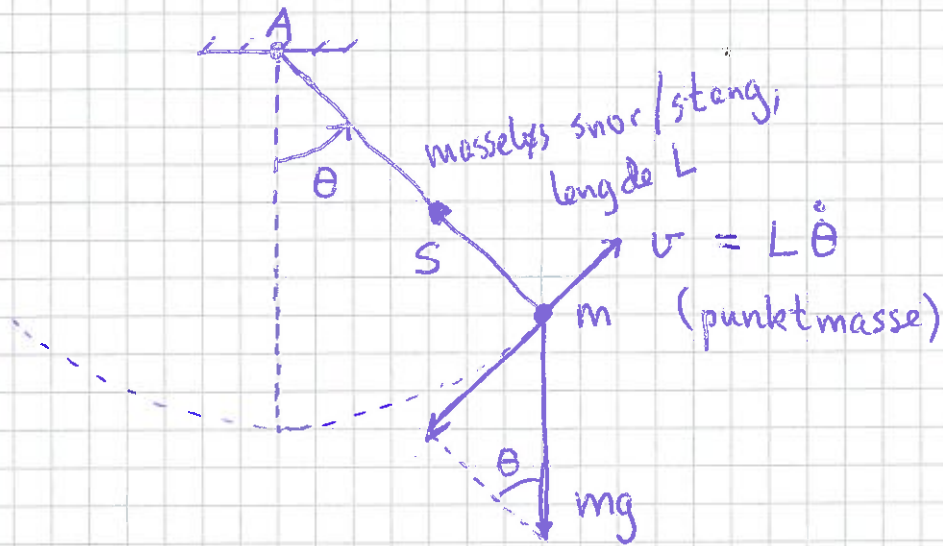
Q-faktor:  $Q = \omega_0 / \Delta\omega = \omega_0 / 2\delta$

Mål for hvor skarp resonansen er.

Redusert demping  $\delta$  gir smalere og høyere resonans.

# Matematisk pendel [YF 14.5 ; LL 9.6]

(56)



Beregelen II sirkelbanen:

$$\begin{aligned} F_{\parallel} &= -mg \sin \theta \\ a_{\parallel} &= \ddot{\varphi} = L \ddot{\theta} \end{aligned} \quad \Rightarrow \quad -mg \sin \theta = m L \ddot{\theta}$$

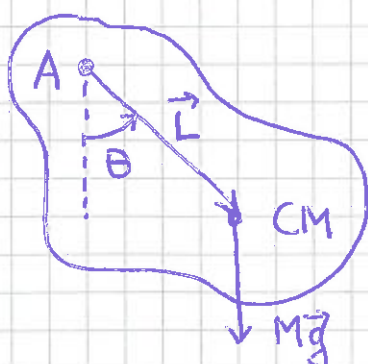
$$\Rightarrow \ddot{\theta} + \frac{g}{L} \sin \theta = 0$$

Anta små utsving fra likerelat,  $| \theta | \ll 1 \Rightarrow \sin \theta \approx \theta$

$$\Rightarrow \ddot{\theta} + \omega_0^2 \theta = 0 \quad \text{med } \omega_0 = \sqrt{g/L}$$

# Fysisk pendel

[YF 14.6; LL 9.6]



Stort legeme, masse M, tregh. mom. I  
mhp aksen A,  $\vec{R}_{CM} = \vec{L}$ .

$$\text{N2 for rot. om A: } \tau = I \ddot{\theta}$$

med  $|\vec{\tau}| = |\vec{I} \times \vec{Mg}| = MgL \sin \theta$ .

Fortegn:  $\vec{\tau}$  gör rot. med klokka när  $\theta > 0$

$$\Rightarrow \tau = -MgL \sin \theta$$

$$\Rightarrow \ddot{\theta} + \frac{MgL}{I} \sin \theta = 0$$

Anta små utsving,  $\sin \theta = \theta$  :

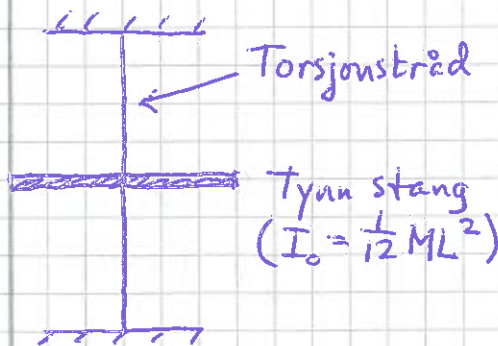
$$\ddot{\theta} + \omega_0^2 \theta = 0 ; \omega_0 = \sqrt{\frac{MgL}{I}}$$

• ...utmasse (mat. pendel):  $I = ML^2 \Rightarrow \omega_0 = \sqrt{g/L} ; \text{OK}$   
 $\rightarrow I_0 \text{ og } \omega_0 \rightarrow 0 ; \text{OK}$

# Torsjonspendel

[YF 14.4 ; LL 9.6]

(57)



Hooke's lov: Tråden motsetter seg vridning og virker på stanga med dreiemoment prop. med vridningsvinkelen:  
 $\tau = -J_e \Theta$

med torsjonsstifhet  $J_e$

N2, rot. om trådens akse:

$$\tau = I_o \ddot{\theta} \Rightarrow -J_e \Theta = I_o \ddot{\theta} \Rightarrow \ddot{\theta} + \omega_0^2 \Theta = 0 ; \omega_0 = \sqrt{\frac{J_e}{I_o}}$$

Eks/Exp:

$$M = 50\text{g}, L = 11\text{ cm.} \quad M \& L \quad T = 2\pi / \omega_0 \quad \text{og beregn } J_e.$$

$$J_e = I_o \omega_0^2 = 4\pi^2 I_o / T^2 = \pi^2 M L^2 / 3T^2$$

$$= \pi^2 \cdot 0.050\text{ kg} \cdot (0.11\text{ m})^2 / 3 \cdot (0.8\text{ s})^2$$

$$= 3.1 \cdot 10^{-3} \text{ kg m}^2/\text{s}^2 \quad (\text{eut Nm})$$

# ELEKTRISITET OG MAGNETISME

YF 21-31 ; LHL 19-27

- I. Elektrostatikk. Ledere, isolatorer [YF 21-24; LHL 19-20]
- II. Strøm. DC-kretser [YF 25-26; LHL 21-22]
- III. Magnetostatikk. Magnetisme [YF 27-28; LHL 23,26]
- IV. Elektromagnetisk induksjon. AC-kretser [YF 29-31; LHL 24,25,27]

"Fra Coulombs lov til forståelse av kretselementene motstand, kondensator og spole."

---

## I. Elektrostatikk [YF 21-24; LHL 19-20]

Elektrisk ladning [YF 21.1; LHL 19.1]

Materie består av atomer.

Atom = kjerne + elektroner

Kjerne = protoner + nøytroner = kjernepartikler

Kjernepartikkelen = tre kvarker

Elementærpartikler = (antatt!) udelelige "byggeklosser" i naturen (elektron, kvarker, foton, nøytrinoer, Higgs osv); disse partikklene har elektrisk ladning, positiv, negativ eller ~~osv~~ null, og ladningen er kvantisert:

Elementær partikkeltLadning

|                               |        |
|-------------------------------|--------|
| Elektron (e)                  | - e    |
| Opp-kvark (u)                 | + 2e/3 |
| Ned-kvark (d)                 | - e/3  |
| Elektron-nøytrino ( $\nu_e$ ) | 0      |
| Foton (g)                     | 0      |

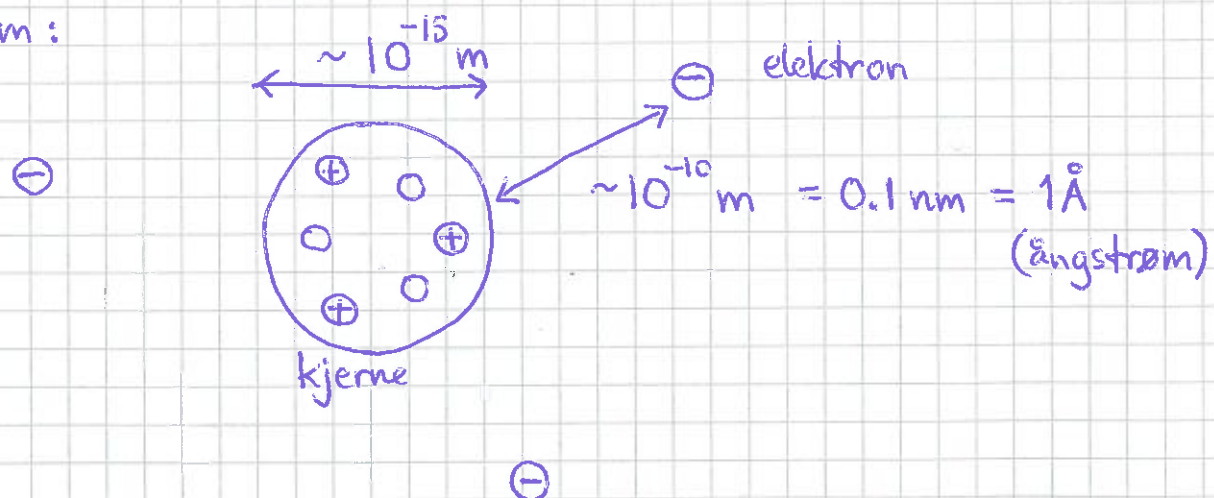
e = elementærladningen; påvist eksperimentelt av R. Millikan med små elektrisk ladede objekter i 1909 (NP 1923; NP = nobelpris)

$$\text{Nøytron (n)} = 1u + 2d \Rightarrow q_n = 0$$

$$\text{Proton (p)} = 2u + 1d \Rightarrow q_p = +e$$

[symbol  $q, Q$  for elektrisk ladning: "quantity of electricity"]

Atom:



Praktisktalt hele atommassen i kjernen:

$$m_e \approx 9.11 \cdot 10^{-31} \text{ kg}$$

$$m_n \approx m_p \approx 1.67 \cdot 10^{-27} \text{ kg}$$

Nøytrale atomer med atomnummer  $Z$  har  $Z$  protoner og  $Z$  elektroner  $\Rightarrow Q = Ze - Ze = 0$  (60)

Ioner er atomer og molekyler med flere eller færre elektroner enn protoner.

Eks:

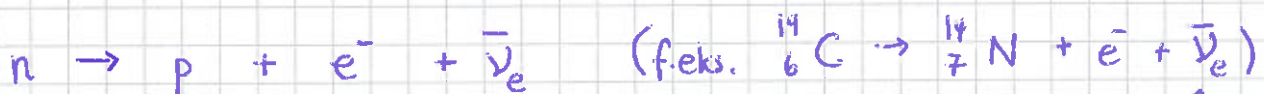
$N^{3-}$  = nitrogenatom med 10 elektroner ( $Z=7$ ),  $q = -3e$

$N_2^+$  =  $N_2$ -molekyl med 13 elektroner,  $q = +e$

Ladningsbevarelse:

Netto ladning i et lukket system er konstant.

Eks:  $\beta$ -decay



$$Q: 0 \rightarrow +e + (-e) + 0 = 0 \quad \begin{matrix} \uparrow \\ \text{antineutrino} \end{matrix}$$



$$Q: +e \rightarrow 0 + e + 0 = e \quad \begin{matrix} \uparrow \\ \text{positron} \end{matrix}$$

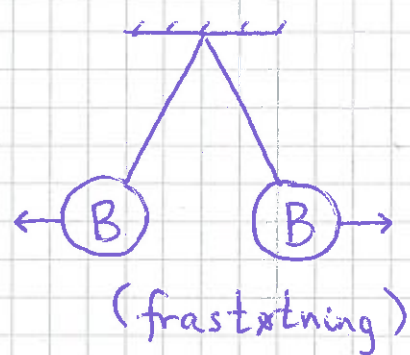
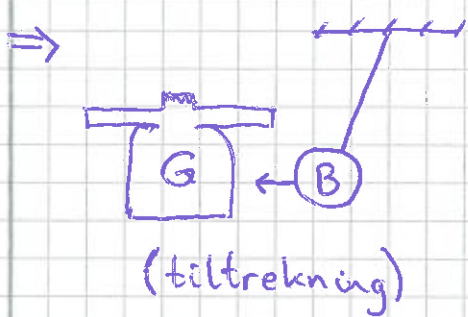
Med kvarker:

$$n = 1u + 2d \xrightarrow{1d \rightarrow 1u} 2u + 1d = p \quad (\beta^- \text{ decay})$$

$$p = 2u + 1d \xrightarrow{1u \rightarrow 1d} 1u + 2d = n \quad (\beta^+ \text{ decay})$$

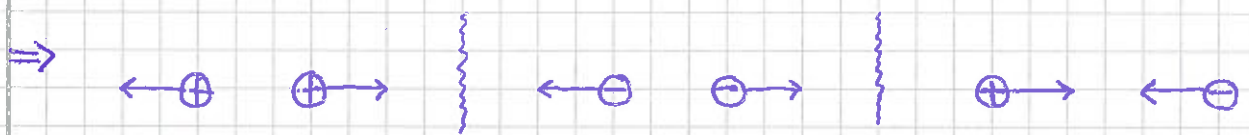
Påvisning av ladning (kvalitativt):

Gni 2 ballonger mot samme genser

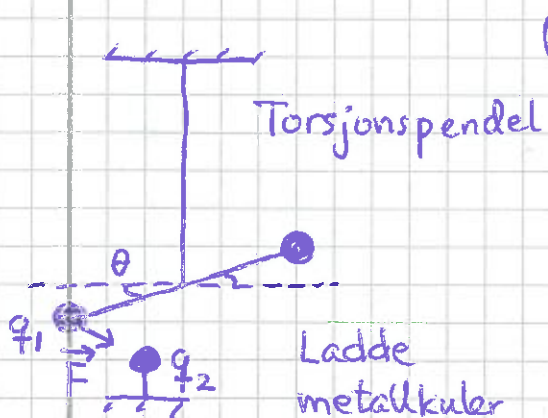


Konklusjon:

- Samme type ladning frastøter hverandre
- Ulik type ladning tiltrekker hverandre
- Kaller de to typene ladning positiv og negativ



Coulombs lov [YF 21.3 ; LHL 19.3] (s.8)



(ca 1785)



Coulomb observerte

- $F_{12} \sim q_1 \cdot q_2 / r_{12}^2$
- $\vec{F}_{12} \sim \hat{r}_{12}$

- Samme form som Newtons gravitasjonslov
- $\vec{F}_{21} = -\vec{F}_{12}$  (N3)

$$\Rightarrow \boxed{\vec{F}_{12} = K_e \frac{q_1 q_2}{r_{12}^2} \hat{r}_{12}}$$

Coulombs lov

# Enhet for ladning

[YF 21.3 ; LHL 19.1]

(62)

$$[q] = C \quad (\text{coulomb})$$

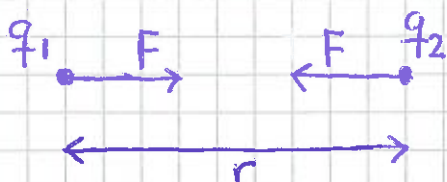
- $1C = 1 \text{ As} = \text{lading som passerer tverrsnitt av ledet pr sekund når strømstyrken er } 1A \text{ (ampere)}$
- $1C = \text{lading til hver av to like ladninger som i innbyrdes avstand } 1\text{m frastår hverandre med kraft } 8.98755... \cdot 10^9 \text{ N.}$

$$\text{Dvs: } K_e = (4\pi\epsilon_0)^{-1} = 8.98755... \cdot 10^9 \frac{\text{m}^2 \text{N/C}^2}{(\approx 9 \cdot 10^9 \text{ m}^2 \text{N/C}^2)}$$

$$\text{med } \epsilon_0 = 8.854... \cdot 10^{-12} \frac{\text{C}^2}{\text{m}^2 \text{N}}$$

= permittiviteten til vakuum (tomt rom)  
↑(mer om dette senere!)

$$\Rightarrow e = 1.602... \cdot 10^{-19} C \approx 1.6 \cdot 10^{-19} C$$



$$F = \frac{1}{4\pi\epsilon_0} \frac{q_1 q_2}{r^2}$$

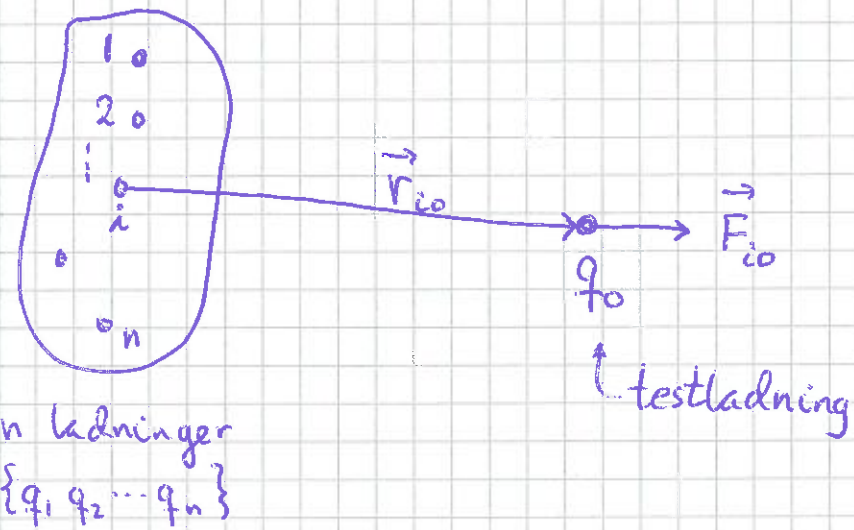
Coulombs lov

# Elektrisk kraft fra flere ladninger

[YF 21.3 ; LHL 19.3]

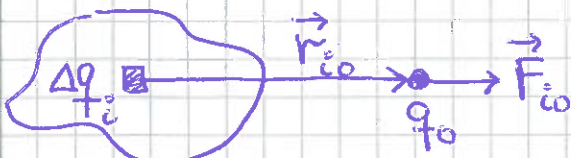
Som i mekanikkelen gjelder superposisjonsprinsippet (SPP) :

$$\vec{F}_{\text{tot}} = \sum_i \vec{F}_i \quad (\text{total kraft} = \text{vektorsum av enkeltkrefter})$$



$$\begin{aligned} \vec{F}_0 &= \sum_{i=1}^n \vec{F}_{i0} = \frac{1}{4\pi\epsilon_0} \sum_i \frac{q_i q_0}{r_{i0}^2} \hat{r}_{i0} \\ &= \text{total kraft på } q_0 \text{ fra } \{q_1, q_2, \dots, q_n\} \end{aligned}$$

Med kontinuerlig ladningsfordeling :

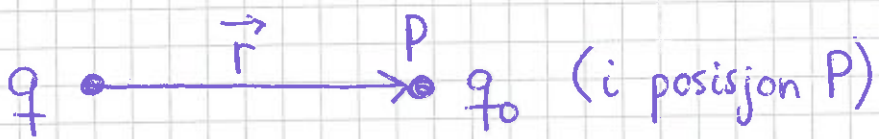


$$\begin{aligned} \vec{F}_0 &= \sum_i \vec{F}_{i0} = \frac{q_0}{4\pi\epsilon_0} \sum_i \frac{\Delta q_i}{r_{i0}^2} \hat{r}_{i0} \rightarrow \frac{q_0}{4\pi\epsilon_0} \int \frac{\hat{r} dq_i}{r^2} \end{aligned}$$

## Elektrisk felt

[YF 21.4+5 ; LHL 19.4+5]

(64)



elektrisk felt  $\stackrel{\text{def}}{=}$  elektrisk kraft pr ladningsenhet

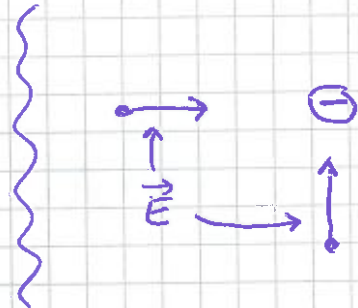
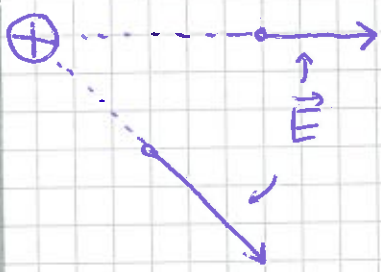
$$\boxed{\vec{E} = \vec{F}/q_0}$$

$$[E] = N/C$$

Siden  $\vec{F}$  er prop. med  $q_0$ , blir  $\vec{E}$  uavhengig av  $q_0$ :

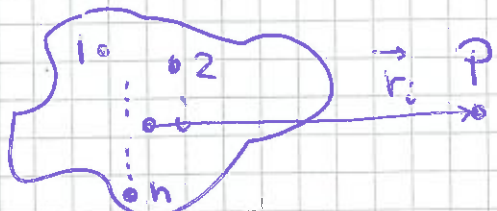
$$\boxed{\vec{E} = \frac{q}{4\pi\epsilon_0 r^2} \hat{r}}$$

El. felt fra punktladning  $q$  i avstand  $r$



Dvs: Radiett bort fra positiv ladning  
—||— inn mot negativ —||—

Med flere ladninger (ent. kontinuerlig ladn. fordeling):



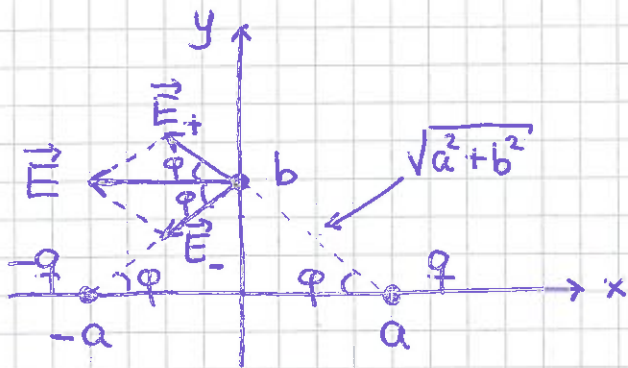
El. felt fra  $\{q_1 \dots q_n\}$  i  $P$ :

$$\vec{E} = \sum_i \vec{E}_i = \sum_i \frac{q_i \hat{r}_i}{4\pi\epsilon_0 r_i^2}$$

(dvs SPP gjelder!)

$$\text{(ent. } \vec{E} = \frac{1}{4\pi\epsilon_0} \int \frac{dq \cdot \hat{r}}{r^2} \text{)}$$

Eks.1:  $\pm q$  i  $(x, y) = (\pm a, 0)$ ; finn  $\vec{E}$  i  $(0, b)$  (65)



$$E_+ = E_- = \frac{q}{4\pi\epsilon_0(a^2+b^2)}$$

$$\text{Symmetri} \Rightarrow E_y = 0$$

$$E_x = E_+^x + E_-^x$$

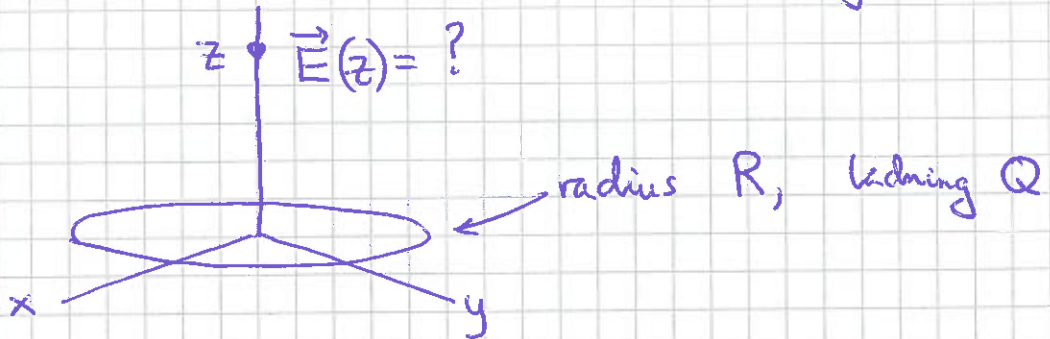
$$E_+^x = E_-^x = E_+ \cos \varphi = \frac{q}{4\pi\epsilon_0(a^2+b^2)} \cdot \frac{a}{\sqrt{a^2+b^2}}$$

$$\rightarrow \vec{E} = -\hat{x} \cdot \frac{2qa}{4\pi\epsilon_0(a^2+b^2)^{3/2}}$$

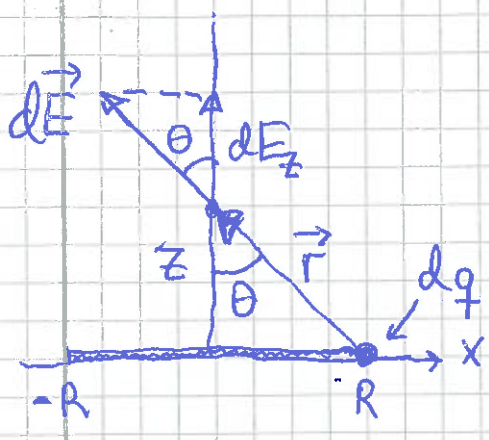
[Langt unna,  $b \gg a$ , avtar  
feltslyrken  $E$  som  $1/b^3$ ]

[Viktig eksempel; elektrisk dipol; mer om det snart!]

Eks.2:  $\vec{E}$  på aksen til jevnt ladet ring



Løsn: Symmetri  $\Rightarrow E_x = E_y = 0$ ;  $\vec{E}(z) = E_z(z) \hat{z}$



$$d\vec{E} = \frac{dq \hat{r}}{4\pi\epsilon_0 r^2} = dE \cdot \hat{r}$$

$$dE_z = dE \cdot \cos \theta = dE \cdot z/r$$

$$r = \sqrt{z^2 + R^2}$$

$$\Rightarrow E_z = \int dE_z = \frac{z}{4\pi\epsilon_0 r^3} \int dq = \frac{Qz}{4\pi\epsilon_0 (z^2 + R^2)^{3/2}}$$

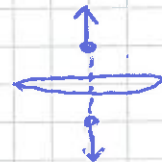
(66)

Kontrollerer om svaret er fornuftig:

- $[E_z] = [Q/\epsilon_0 z^2]$ ; OK
- $E_z(0) = 0$ ; OK

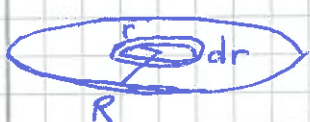
- $E_z \approx Q/4\pi\epsilon_0 z^2$  når  $z \gg R$ ; OK, tilsvarer praktisk talt en punktladning  $Q$  i origo

- $E_z(z) = -E_z(-z)$ ; OK



Eks 3:  $\vec{E}$  på aksem til jevnt ladet sirkular skive

$$dE_z = \frac{dq \cdot z}{4\pi\epsilon_0 (r^2 + z^2)^{3/2}} ; \quad \frac{dq}{Q} = \frac{dA}{A} = \frac{2\pi r \cdot dr}{\pi R^2}$$



$$\sigma = Q/\pi R^2 = \text{skivas ladn. pr flateenhet}$$

$$E_z = \int_{r=0}^R dE_z = \int_{r=0}^R \frac{Q \cdot 2\pi r \cdot dr \cdot z}{4\pi\epsilon_0 (r^2 + z^2)^{3/2} \cdot \pi R^2} = \frac{Qz}{2\pi\epsilon_0 R^2} \Big|_0^R \left( -\left( \frac{r^2 + z^2}{z^2} \right)^{-1/2} \right)$$

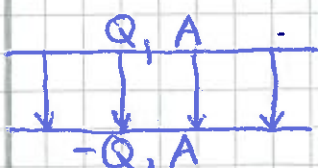
$$= \frac{Qz}{2\pi\epsilon_0 R^2} \left\{ \frac{1}{z} - \frac{1}{\sqrt{R^2 + z^2}} \right\} = \frac{Q}{2\pi\epsilon_0 R^2} \left\{ 1 - \frac{1}{\sqrt{\frac{R^2}{z^2} + 1}} \right\}$$

- $z \gg R \Rightarrow \left(1 + \frac{R^2}{z^2}\right)^{-1/2} \approx 1 - \frac{R^2}{2z^2} \Rightarrow E_z \approx \frac{Q}{4\pi\epsilon_0 z^2}$ ; OK

- $z \ll R$ , dvs svært nær skiva, eller som om skiva var svært stor:

$$E_z \approx \frac{Q}{2\pi\epsilon_0 R^2} = \frac{\sigma}{2\epsilon_0} ; \quad \text{avhengig av } z !$$

Anvendelse: Parallelplatekondensator



El. feltstyrke mellom platene:

$$E = 2 \cdot \sigma / 2\epsilon_0 = \underline{\underline{\sigma / \epsilon_0}} \quad (E \approx 0 \text{ utenfor})$$

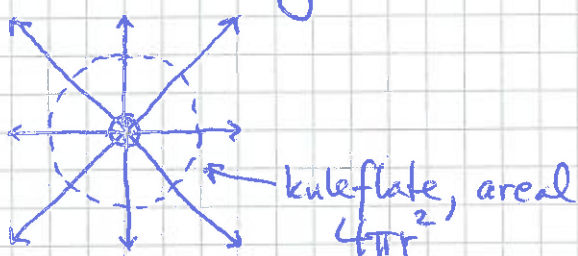
## Feltlinjer for $\vec{E}$

[YF 21.6; LHL 19.6]

(67)

- Visuell framstilling av  $\vec{E}$  i et område
- $\vec{E} \parallel$  feltlinjene
- Feltstyrken  $E = |\vec{E}|$  proporsjonal med tettheten av feltlinjer, dvs antall feltlinjer som krysser en flate, pr flateenhet,  $E \sim N/A$

Eks 1: Punktladning



N feltlinjer ut (inn)  
gjennom kuleflaten når  
 $q > 0$  ( $q < 0$ )

Feltlinjetetthet på kuleflaten:

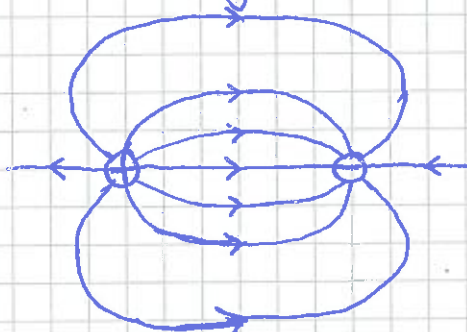
$$\frac{N}{A} = \frac{N}{4\pi r^2} \sim \frac{1}{r^2}$$

Feltstyrke på kuleflaten:

$$E = \frac{q}{4\pi \epsilon_0 r^2} \sim \frac{1}{r^2}$$

$\Rightarrow E$  prop. med  $\frac{N}{A}$ , ok!

Eks 2: To ladninger med motsatt fortegn (= elektrisk dipol)



Vi ser at feltlinjer stårer på positive ladninger  
og ender på negative ladninger (eventuelt os langt borte)

## Elektrisk dipol og dipolmoment [YF 21.7; LHL 19.10]

(68)

- De fleste molekyler er elektriske dipoler ( $\text{H}_2\text{O}$ ,  $\text{HCl}$ , ...)
  - Hvis ikke, blir de dipoler i et ytre elektrisk felt. Gjelder også gasser, væsker, faste stoffer og enkeltatomer
- ⇒ Viktig for å forstå materialers elektriske egenskaper.

Enkel dipol:



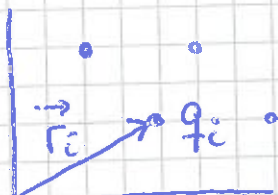
Dipolmoment:

$$\vec{p} = q \vec{d}$$

$$[p] = \text{C} \cdot \text{m}$$

Merk: Netto ladning alltid null for elektriske dipol.

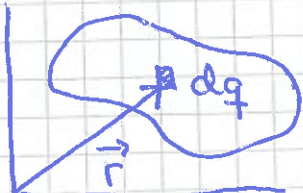
Flere punktladninger:



$$\vec{P} = \sum_i q_i \vec{r}_i$$

$$(\sum_i q_i = 0)$$

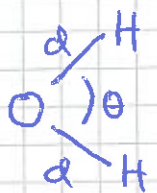
Kontinuerlig ladningsfordeling:



$$\vec{P} = \int \vec{r} dq$$

$$(\int dq = 0)$$

Eks 1:

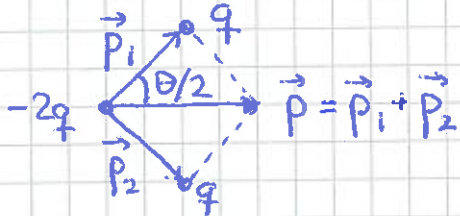


$$d = 0.96 \text{ Å}$$

$$\theta = 104.5^\circ$$

→ Model med punktladn:

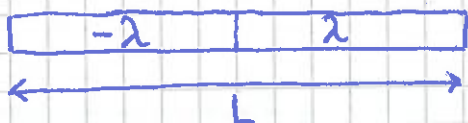
(69)



$$\Rightarrow p = 2qd \cos \frac{\theta}{2}$$

$$\text{Exp. er } p = 6.2 \cdot 10^{-30} \text{ Cm} \Rightarrow q \approx 0.33e \text{ i vår modell}$$

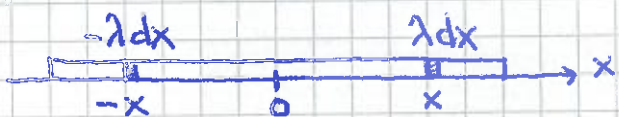
Eks 2:



$\pm \lambda$  = ladning pr lengdeenhet

$$[\lambda] = \text{C/m}$$

Lite ladningsper  $\pm dq = \pm \lambda dx$  i innbyrdes avstand  $2x$  har dipolmoment  $d\vec{p} = \lambda dx \cdot 2x \hat{x}$ :



⇒ Totalt dipolmoment blir:

$$\vec{p} = \int d\vec{p} = \int_0^{L/2} \lambda dx \cdot 2x \hat{x} = 2\lambda \hat{x} \int_0^{L/2} x^2 dx = \frac{\lambda L^2}{4} \hat{x}$$

- $[2L^2] = \frac{C}{m} \cdot m^2 = C \cdot m$ ; OK

- som om punktladn.  $\pm \lambda \cdot \frac{L}{2}$  var plassert i  $x = \pm \frac{L}{4}$ , dus med innbyrdes avstand  $L/2$ ; OK

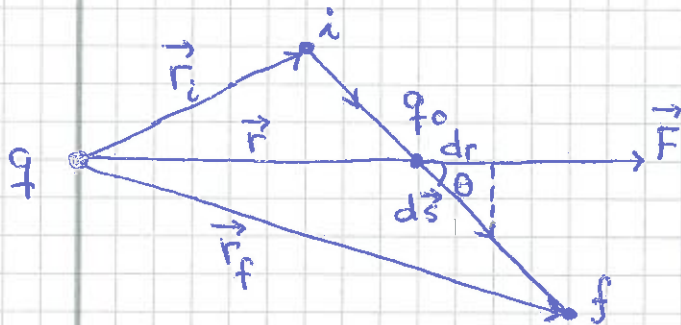
## Elektrisk potensial

[YF 23.2; LHL 19.9]

70

Coulombkraften  $\vec{F}$  er åpenbart konseruktiv (samme form som gravitasjonskraften).

Potensiell energi for testladning  $q_0$  i  $\vec{E}$ -felt fra referanseladning  $q$ :



$$\vec{F} \cdot d\vec{s} = F \cdot ds \cdot \cos \theta = F \cdot dr$$

$$\begin{aligned}\Delta U &= U_f - U_i \stackrel{\text{def}}{=} - \int_{r_i}^{r_f} \vec{F} \cdot d\vec{s} = - \int_{r_i}^{r_f} F \cdot dr \\ &= - \frac{q q_0}{4\pi \epsilon_0} \int_{r_i}^{r_f} \frac{dr}{r^2} \\ &= \underbrace{\frac{q q_0}{4\pi \epsilon_0 r_f}}_{U_f} - \underbrace{\frac{q q_0}{4\pi \epsilon_0 r_i}}_{U_i}\end{aligned}$$

Vi velger  $U = 0$  for  $r \rightarrow \infty$ .

Da er potensiell energi for ladningsparet  $q$  og  $q_0$  i innbyrdes avstand  $r$ :

|                                          |
|------------------------------------------|
| $U(r) = \frac{q q_0}{4\pi \epsilon_0 r}$ |
|------------------------------------------|

Elektrisk potensial  $\stackrel{\text{def}}{=}$  pot. energi pr ladningsenhet

$$V = U/q_0$$

Enhet:  $[V] = \frac{J}{C} = V$  (volt)

$\Rightarrow$  Punktladning  $q$  omgir seg med Coulombpotensialet

$$V(r) = \frac{q}{4\pi\epsilon_0 r}$$

Med  $\vec{E} = \vec{F}/q_0$ ,  $V = U/q_0$  og  $\Delta U = - \int_a^f \vec{F} \cdot d\vec{s}$  blir

$$\Delta V = - \int_a^f \vec{E} \cdot d\vec{s}$$

Potensialforskjell  $V_f - V_i$  mellom posisjon f (final) og i (initial)

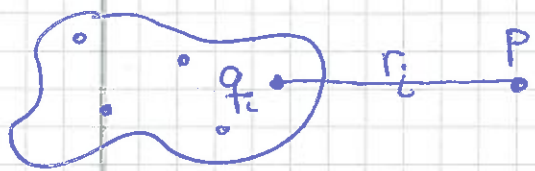
Alternativ enhet for  $\vec{E}$ :  $[E] = V/m$

Alternativ energienhet:

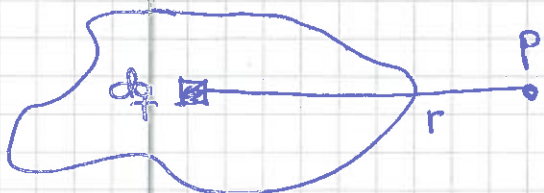
1 eV (elektronvolt) = endringen i potensiell energi når en elementærladning,  $q=e$ , flyttes fra en posisjon i der potensialet er  $V_i$ , til en posisjon f der potensialet er  $V_f = V_i + 1V$  (dvs  $\Delta V = V_f - V_i = 1V$ )

$$\Rightarrow 1 \text{ eV} = \underbrace{1.6 \cdot 10^{-19} \text{ C}}_e \cdot \underbrace{\frac{1 \text{ J}}{1 \text{ V}}}_{1 \text{ V}} = 1.6 \cdot 10^{-19} \text{ J}$$

Potensial fra flere punktladninger, evt. kont. ladning fordeling:

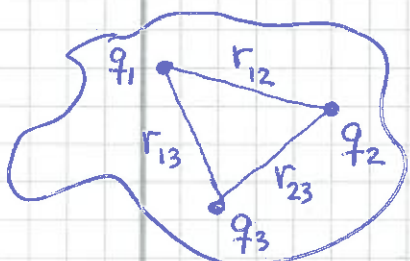


$$V_p = \sum_i V_p^i = \sum_i \frac{q_i}{4\pi\epsilon_0 r_i}$$



$$V_p = \int \frac{dq}{4\pi\epsilon_0 r}$$

Potensiell energi for flere punktladninger [YF 23.1; LHL 19.9, 20.3]



Alle ladningene i systemet vekselvirker parvis.

"Referansesystem":  $U=0$  når alle  $q_i$  er uendelig langt fra hverandre

$$\Rightarrow U = U_{12} + U_{13} + \dots + U_{1n}$$

$$+ U_{23} + \dots + U_{2n} + \dots + U_{n-1,n}$$

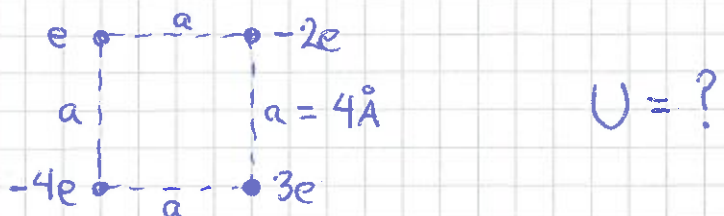
$$= \sum_{i=1}^n \sum_{\substack{j=1 \\ (j \neq i)}}^n U_{ij} = \sum_{i < j} U_{ij} = \sum_{i < j} \frac{q_i q_j}{4\pi\epsilon_0 r_{ij}}$$

Eks 1: Hva er kinenergien  $mc^2$  til et elektron? et proton?

$$\begin{aligned} \text{Løsning: } m_e c^2 &= 9.11 \cdot 10^{-31} \text{ kg} \cdot (3 \cdot 10^8 \text{ m/s})^2 = 8.20 \cdot 10^{-14} \text{ J} = \frac{1}{1.6 \cdot 10^{-19} \text{ eV}} \\ &= 5.1 \cdot 10^5 \text{ eV} \approx \underline{\underline{0.5 \text{ MeV}}} \end{aligned}$$

$$m_p c^2 = 1.67 \cdot 10^{-27} \text{ kg} \cdot (3 \cdot 10^8 \text{ m/s})^2 = (1.6 \cdot 10^{-19})^{-1} \frac{\text{eV}}{\text{J}} \approx \underline{\underline{940 \text{ MeV}}}$$

Eks 2:

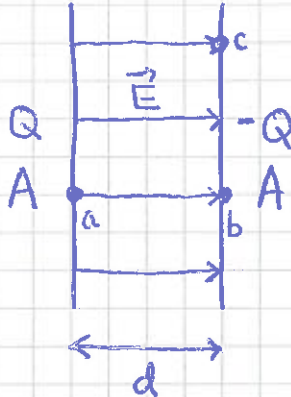


$U = ?$

Løsning:  $U = \frac{e^2}{4\pi\epsilon_0 a} \left\{ 1 \cdot (-2) + (-2) \cdot 3 + 3 \cdot (-4) + (-4) \cdot 1 + \frac{1}{\sqrt{2}} \cdot 1 \cdot 3 + \frac{1}{\sqrt{2}} \cdot (-2) \cdot (-4) \right\}$

$$= \frac{e^2}{4\pi\epsilon_0 a} \left\{ -24 + \frac{11}{\sqrt{2}} \right\}$$

$$= 9 \cdot 10^9 \cdot \frac{1.6 \cdot 10^{-19}}{4 \cdot 10^{-10}} \cdot (-16.22) \text{ eV} \approx \underline{\underline{-58 \text{ eV}}}$$

Eks 3:  $\Delta V$  i uniformt  $\vec{E}$ -felt

$$V_a - V_b = - \int_b^a \vec{E} \cdot d\vec{s} = \int_a^b \vec{E} \cdot d\vec{s} = \underline{\underline{E \cdot d}}$$

$$V_c - V_b = - \int_b^c \vec{E} \cdot d\vec{s} = \underline{\underline{0}} \quad (\vec{E} \perp d\vec{s})$$

Anta metallplater,  $A = 10 \text{ cm}^2$ ,  $d = 2 \text{ mm}$ ,  $Q = 2.0 \mu\text{C}$ .Da har vi  $E = \sigma/\epsilon_0 = Q/A\epsilon_0$  og en potensialforskjell mellom platene

$$\Delta V = V_a - V_b = E \cdot d = \frac{Q \cdot d}{A \cdot \epsilon_0} = \frac{2.0 \cdot 10^{-6} \text{ C} \cdot 2.0 \cdot 10^{-3} \text{ m}}{10 \cdot 10^{-4} \text{ m}^2 \cdot \epsilon_0}$$

$$\frac{1}{\epsilon_0} = 4\pi \cdot \frac{1}{4\pi\epsilon_0} = 4\pi \cdot 9 \cdot 10^9 \quad \cancel{\frac{\text{Vm}}{\text{C}}}$$

$$\Rightarrow \Delta V = 4.0 \cdot 10^{-6-3+3} \cdot 4\pi \cdot 9 \cdot 10^9 \text{ V} = 144\pi \cdot 10^3 \text{ V}$$

$$\approx \underline{\underline{450 \text{ kV}}}$$

# Beregning av $\vec{E}$ fra $V$ [YF 23.5; LHL 19.9]

74

Generelt, for skalar funksjon  $f(\vec{r})$ :

$$\vec{r} \xrightarrow{\vec{ds}} \vec{r} + \vec{ds}$$

$$f(\vec{r}) \qquad f(\vec{r}) + df$$

$$df = \frac{\partial f}{\partial x} dx + \frac{\partial f}{\partial y} dy + \frac{\partial f}{\partial z} dz = \nabla f \cdot d\vec{s}$$

Her er

$$d\vec{s} = \hat{x} dx + \hat{y} dy + \hat{z} dz = \text{veilelement}$$

$$\nabla f = \hat{x} \frac{\partial f}{\partial x} + \hat{y} \frac{\partial f}{\partial y} + \hat{z} \frac{\partial f}{\partial z} = \text{gradienten til } f$$

Fra s.71:

$$dV = -\vec{E} \cdot d\vec{s} = \text{potensialforskjellen mellom } \vec{r} \text{ og } \vec{r} + d\vec{s}$$

$$\text{Samtidig må vi ha: } dV = \nabla V \cdot d\vec{s}$$

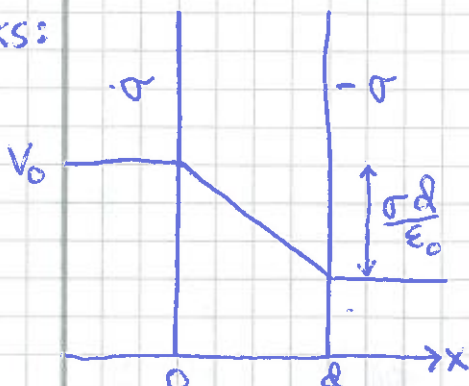
Dermed:

$$\boxed{\vec{E} = -\nabla V}$$

Dessuten:

$$\vec{F} = q_0 \vec{E} = \underline{-q_0 \nabla V} = -\nabla U \quad (\text{som s.18})$$

Ekss:



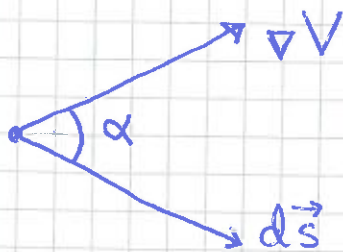
To store metallplater i  $x=0$  og  $x=d$ , ladno hvor  $\sigma$  og  $-\sigma$  pr flateenhet.

Fant at  $E = \sigma/\epsilon_0$  mellom platene  
 $\Rightarrow$  Må ha potensial

$$V(x) = \begin{cases} V_0 & (x < 0) \\ V_0 - x\sigma/\epsilon_0 & (0 < x < d) \\ V_0 - \sigma d/\epsilon_0 & (x \geq d) \end{cases}$$

Betydning av  $\nabla V$ :

75



$$\Delta V = \nabla V \cdot d\vec{s}$$

$$= |\nabla V| \cdot |d\vec{s}| \cdot \cos \alpha$$

⇒ maksimal potensialendring  $\Delta V$  når forflytningen  $d\vec{s}$  er i samme retning som  $\nabla V$  ( $\alpha=0$ ,  $\cos \alpha=1$ )

⇒  $\nabla V$  er en vektor i retning max økende  $V$ , og med absoluttverdi lik endringen i  $V$  pr lengdeenhet (og lik den elektriske feltstyrken  $|\vec{E}|$ )

Equipotensialflater [YF 23.4; LHL 19.11]

= flater i rommet (evt kurver) med konstant  $V$

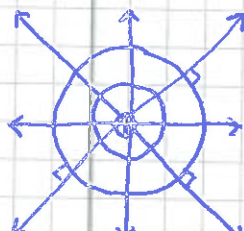
⇒  $\Delta V = 0$  når  $d\vec{s}$  er på en equipotensialflate

⇒  $\vec{E} \cdot d\vec{s} = 0$  ||

⇒  $\vec{E} \perp d\vec{s}$  ||

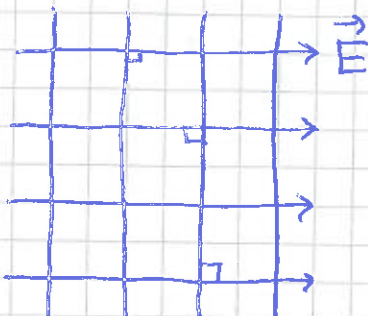
⇒  $\boxed{\vec{E} \perp \text{equipotensialflaten}}$

Eks 1: Punktladning



Radielt  $\vec{E} \Rightarrow$  Kuleskall som equipot.flater

Eks 2: Uniformt  $\vec{E}$ -felt



Equipot-flaten  
er plan  
( $\perp \vec{E}$ )

# Materialers elektriske egenskaper

(76)

Ledere / Metaller: YF 22.5 ; LHL 19.8

Dielektrika / Isolatorer: YF 24.4, 24.5 ; LHL 20.5



## Ledere

Har mobile ladninger (metall: frie elektroner) som kan bevege seg i lederen hvis de utsettes for krefter.

- $\vec{E} = 0$  inni et metall (i elektrostatisk likevekt)

[Hvis  $\vec{E} \neq 0$ , virker kraft  $\vec{F} = q\vec{E} \neq 0$  på fri ladning  $q$ , og da har vi ikke likevekt]

- All netto ladning ligger på overflaten av et metall

[Skyldes at  $F(r) \sim r^{-2}$ ]

- På en metalloverflate står  $\vec{E} \perp$  overflaten, og  $|\vec{E}| = \frac{\sigma}{\epsilon_0}$

[Hvis  $E_{||} \neq 0$ , virker kraft  $F_{||} = qE_{||} \neq 0$ , dvs ikke likevekt.  
 $\sigma$  = overflatedladning pr. flateenhet]

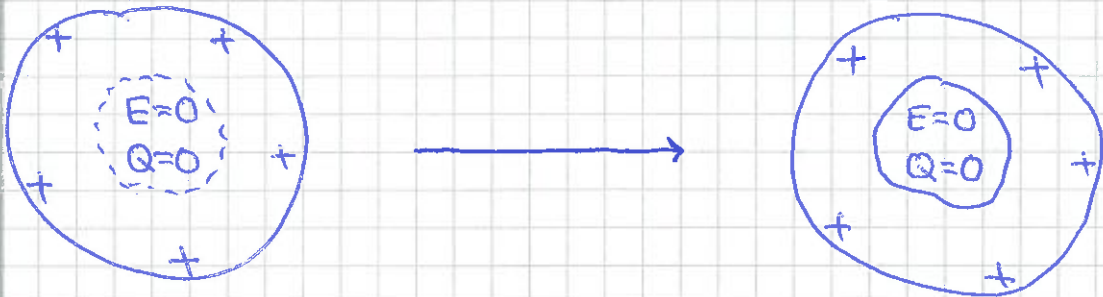
- Et metallstykke i likevekt er et ekvipotensial

[Med  $d\vec{s}$  i metallstykket er  $dV = -\vec{E} \cdot d\vec{s} = 0$ ;  
inni er  $\vec{E} = 0$  og på overflaten er  $\vec{E} \perp d\vec{s}$ ]

- Metallstykket med hulrom har  $E=0$  inne i hulrommet og all nettoladning på ytre overflate

Bem:

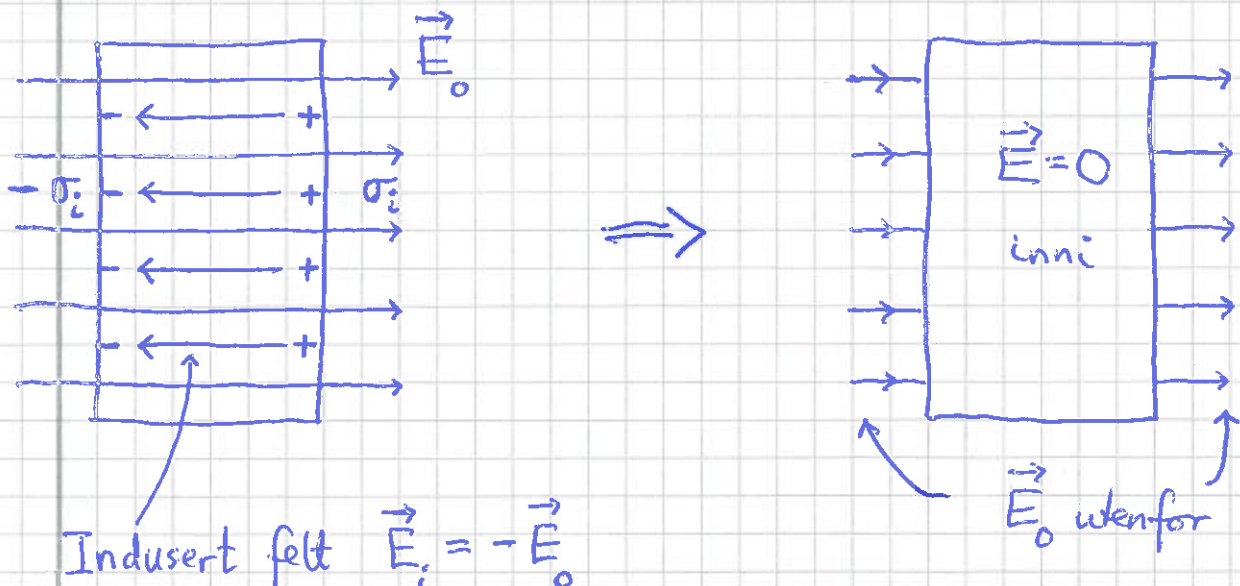
Tenk deg at du fjerner en elektrisk nøytral bit inne i metallstykket, og dermed lager et hulrom:



Inntet skjer (fra et elektrostatisk synspunkt)

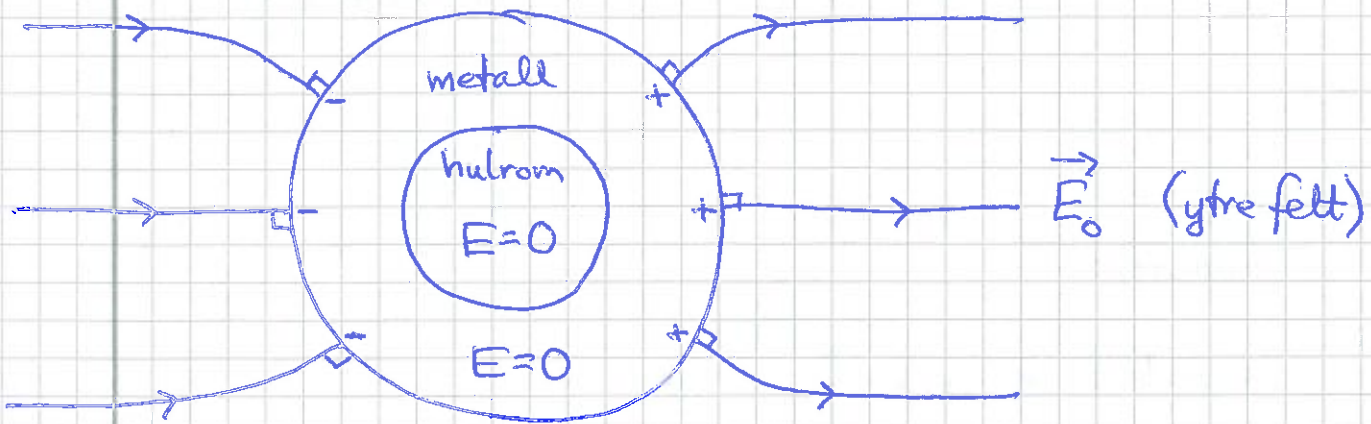
→ fortsatt  $E=0$  og  $Q=0$  der hulrommet er!

Metall i et ytre elektrisk felt  $\vec{E}_o$



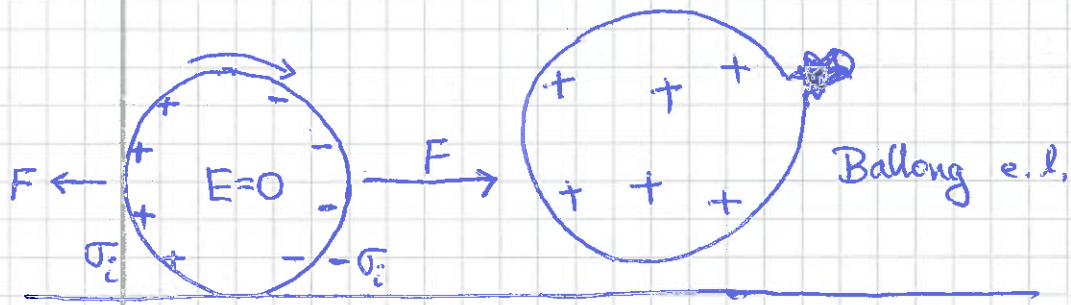
inneni metallet pga  
indusert overflateladning  
 $\pm \sigma'_i$

Faradaybur (= ledet med hulrom):



Anvendelse: Skjerming mot ytre felt.

Eks/Demo: Ølbeks i ytre felt fra ladet objekt



⇒ Netto tiltrekning pga konkav  
avstand til negativ indusert ladning  $-Q_i$

# Isolatorer

Ikke frie ladninger, men bundet ladning som polariseres i ytre felt  $\vec{E}_0$ :



$$\vec{E}_0 = 0$$

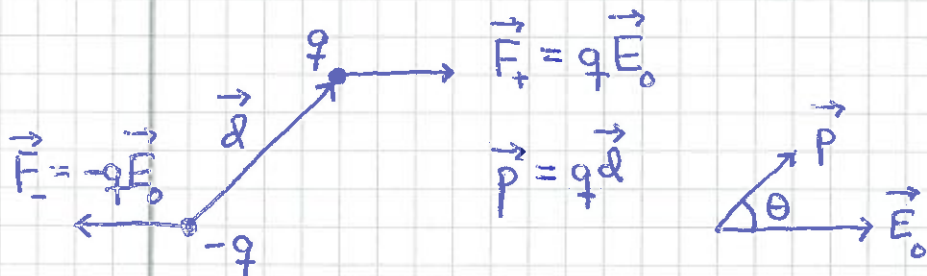
$$\sum_i \vec{P}_i \approx 0$$



$$\vec{E}_0 \neq 0$$

$$\Rightarrow \sum_i \vec{P}_i \neq 0$$

Molekylære dipoler rettes inn langs det ytre feltet  $\vec{E}_0$ :

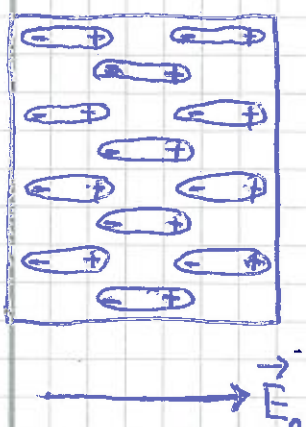


Dreiemoment på dipolen:

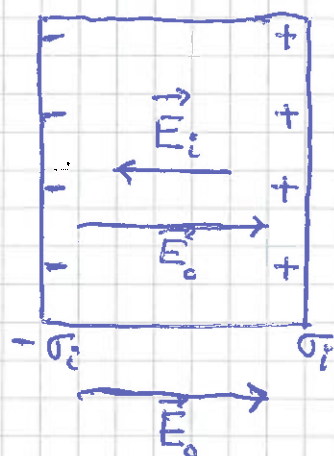
$$\vec{\tau} = \sum_i \vec{r}_i \times \vec{F}_i = \dots \text{Blink 9, oppg. 3} \dots = \vec{P} \times \vec{E}_0$$

$$|\vec{\tau}| = P \cdot E_0 \cdot \sin \theta$$

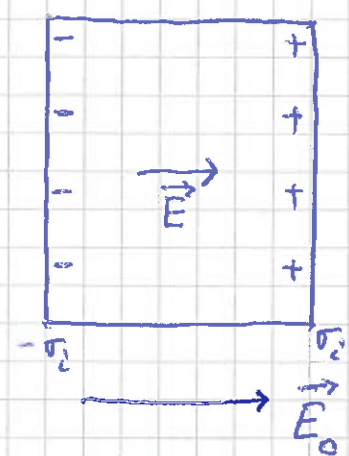
Netto makroskopisk effekt av ytre  $\vec{E}_0$ :



$\hat{=}$



$\hat{=}$



- null nettoladning inni; indusert ladning pr flateenhet,  $\pm \sigma_i$ , på overflaten
  - indusert felt  $\vec{E}_i$  inni  $\Rightarrow$  svekket totalt felt inni:
- $$\vec{E} = \vec{E}_0 + \vec{E}_i ; |E| = |\vec{E}_0| - |\vec{E}_i|$$
- lineær respons:  $E_i$  prop. med  $E_0$
  - isolatorens relative permittivitet  $\epsilon_r$  definert ved

$$\boxed{E = \frac{1}{\epsilon_r} E_0}$$

Enhet:  $[\epsilon_r] = 1$

| Stoff:         | Vakuum | Tørr luft | Plast | Rent vann | Perfekt metall |
|----------------|--------|-----------|-------|-----------|----------------|
| $\epsilon_r$ : | 1      | 1.00054   | 2-6   | 80        | $\infty$       |

- en isolators permittivitet er  $\epsilon = \epsilon_r \cdot \epsilon_0$  ; ser på felt fra ladning  $q$  omgitt av dielektrikum med relativ permittivitet  $\epsilon_r$  :

$$E(r) = \frac{1}{\epsilon_r} E_{vac}(r) = \frac{1}{\epsilon_r} \cdot \frac{q}{4\pi \epsilon_0 r^2}$$

$$= \frac{q}{4\pi \epsilon r^2}$$

med  $\epsilon = \epsilon_r \cdot \epsilon_0$

Polarisering av mediet svekker feltet med faktoren  $\frac{1}{\epsilon_r}$

- lysfarten:  $c \approx 3 \cdot 10^8 \text{ m/s}$  i vakuum;
- $$v = c / \sqrt{\epsilon_r} < c \text{ i et dielektrikum}$$
- brytningsindeksen til et dielektrikum:  $n = \sqrt{\epsilon_r}$   
(Snells lov:  $n_1 \sin \alpha_1 = n_2 \sin \alpha_2$ )

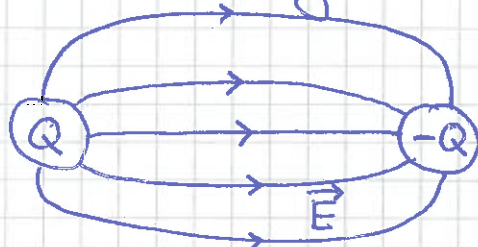


# Kondensator og kapasitans [YF 24; LHL 20]

(81)

(capacitor) (capacitance)

To ledere, med ladning  $\pm Q$ :



$$V = V_+ - V_- = - \int_{\text{surface}} \vec{E} \cdot d\vec{s} \quad \text{er prop. med } Q,$$

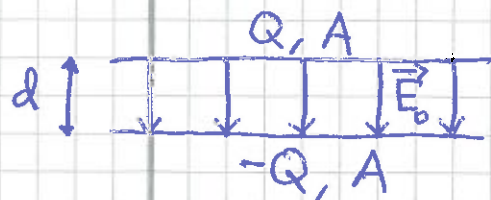
fordi  $\vec{E}$  er prop. med  $Q$ , pga Coulombs lov.

Kondensatorens kapasitans:

$$C \stackrel{\text{def}}{=} \frac{Q}{V}$$

- $[C] = [\frac{Q}{V}] = \frac{F}{V} = F$  (farad)
- kretssymbol:
- lagrer ladning og energi
- $C$  avhenger av utforming/geometri og medium mellom lederne
- beregning av  $C$ : anta ladning  $\pm Q$  og regn ut  $V$ ; da er  $C = Q/V$

Eks 1: Platekondensator (fylt med luft  $\approx$  vakuum)



$$E_0 = \frac{\sigma_0}{\epsilon_0} = \frac{Q/A}{\epsilon_0} \quad (d \ll \sqrt{A})$$

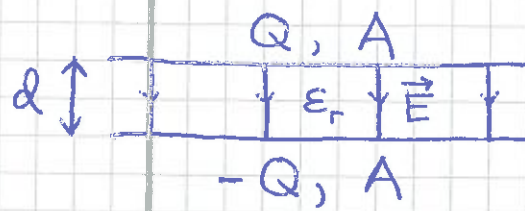
$$\Rightarrow V_0 = E_0 d = \frac{Qd}{\epsilon_0 A}$$

$$\Rightarrow C_0 = Q/V_0 = \frac{\epsilon_0 \cdot A}{d}$$

medium

## Eks 2: Platekondensator fyldt med dielektrikum

(82)



$$E = \frac{1}{\epsilon_r} E_0 = \frac{1}{\epsilon_r} \frac{Q/A}{\epsilon_0}$$

$$\Rightarrow V = E \cdot d = \frac{Q \cdot d}{\epsilon_r \epsilon_0 A}$$

$$\Rightarrow C = Q/V = \underbrace{\epsilon_r \epsilon_0}_{\text{medium}} \underbrace{\frac{A}{d}}_{\text{geometri}}$$

Dvs, kapasitansen økt med faktor  $\epsilon_r > 1$

Eks 3: Anta  $\epsilon_r = 5$  og  $d = 0.1$  mm. Hvor stor må A være for å gi  $C = 1$  F?

$$\text{Svar: } A = \underline{\underline{C \cdot d / \epsilon_r \epsilon_0}} = \underline{\underline{1 \cdot 10^{-4} / 5 \cdot 8.85 \cdot 10^{-12}}} \text{ m}^2 \approx \underline{\underline{2.3 \cdot 10^6 \text{ m}^2}}$$

$$\text{Merk: } [C] = F \Rightarrow [\epsilon_0] = [\epsilon_r \epsilon_0] = [C] = [C \cdot \frac{d}{A}] = \underline{\underline{F/m}}$$

Kobling av flere kapasitanser [YF 24.2; LHL 20.2]

Seriekobling: =  $C = ?$

Har lik ladning  $\pm Q$  på  $C_1$  og  $C_2$ :

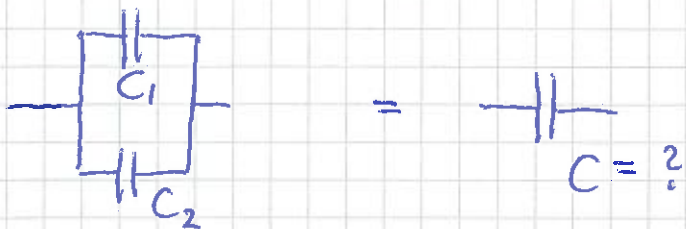
$$\frac{Q}{V_1} \parallel \frac{-Q}{V_2} \parallel \frac{Q}{V} \parallel \frac{-Q}{V} = \frac{Q}{V} \parallel \frac{-Q}{V}$$

$$\Rightarrow V_1 + V_2 = V \Rightarrow \frac{Q}{C_1} + \frac{Q}{C_2} = \frac{Q}{C} \Rightarrow \boxed{\frac{1}{C} = \frac{1}{C_1} + \frac{1}{C_2}}$$

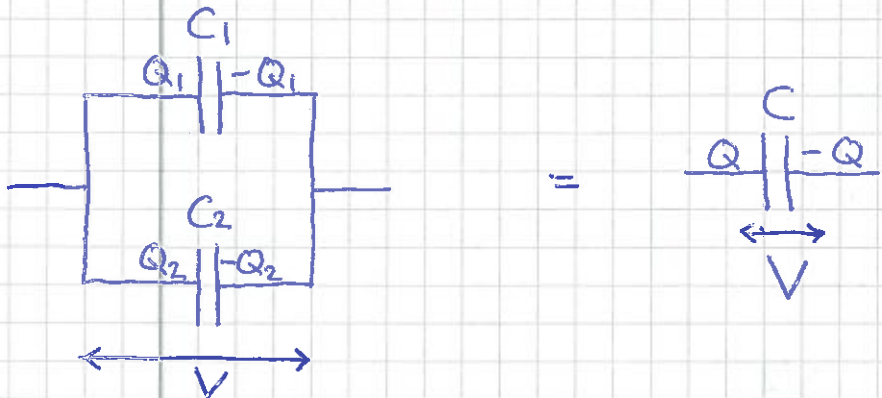
Med N stk i serie:

$$C^{-1} = \sum_{j=1}^N C_j^{-1}$$

Parallelkombining:



Har likt potensialfall (lik spennin)  $V$  over  $C_1$  og  $C_2$ :

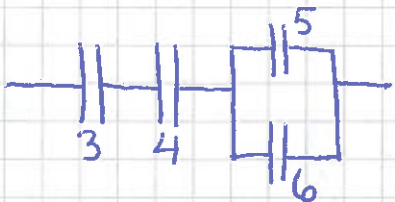


$$\Rightarrow Q_1 + Q_2 = Q \Rightarrow C_1 V + C_2 V = C V \Rightarrow C = C_1 + C_2$$

Med  $N$  stk i parallell:

$$C = \sum_{j=1}^N C_j$$

Eks 1:



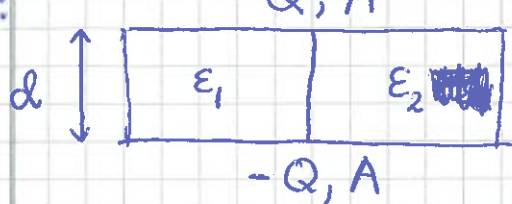
$$C_j = 3, 4, 5, 6 \text{ nF}$$

$$\text{Total } C = ?$$

$$\begin{aligned} \text{Løsn: } C &= \left\{ \frac{1}{3} + \frac{1}{4} + \frac{1}{5+6} \right\}^{-1} \text{ nF} = \left\{ \frac{44+33+12}{3 \cdot 4 \cdot 11} \right\}^{-1} \text{ nF} \\ &= \underline{\underline{\frac{132}{89} \text{ nF}}} \end{aligned}$$

Eks 2:

(84)



$$C = ?$$

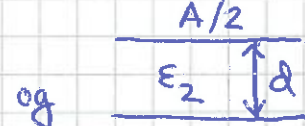
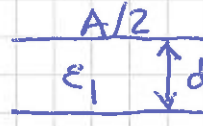
Løsn: Har konstant potensial på gitt leder, og dermed samme totale  $\vec{E}$ -felt i stoff 1 og 2. Ladningen  $\pm Q$  fordeler seg slik at  $E_1 = E_2$ , dus  $\sigma_1/\epsilon_1 = \sigma_2/\epsilon_2$ , dus  $\sigma_1 = Q_1/(A/2) = \sigma_2 \cdot \epsilon_1/\epsilon_2 = [Q_2/(A/2)] \cdot \epsilon_1/\epsilon_2$ , som med  $Q_1 + Q_2 = Q$  gir:

$$\sigma_1 \frac{A}{2} + \sigma_2 \frac{A}{2} = C \cdot V$$

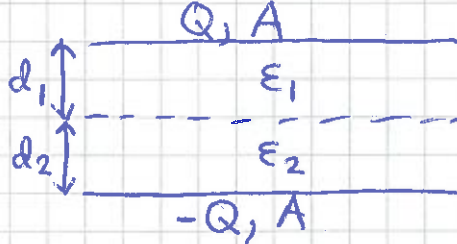
$$\Rightarrow \epsilon_1 E_1 \frac{A}{2} + \epsilon_2 E_2 \frac{A}{2} = C V ; \quad E_1 = E_2 = \frac{V}{d}$$

$$\Rightarrow \underline{C = \epsilon_1 \frac{A/2}{d} + \epsilon_2 \frac{A/2}{d}}$$

dus: som parallelkobling av



Eks 3:



$$C = ?$$

Løsn: Ladningen  $\pm Q$  jevnt fordelt over hele  $A$ ;  $\sigma = Q/A$ .

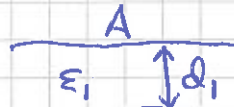
El. felt i stoff 1:  $E_1 = \sigma/\epsilon_1$ ; stoff 2:  $E_2 = \sigma/\epsilon_2$ .

$$V = V_1 + V_2 = E_1 d_1 + E_2 d_2$$

$$\Rightarrow \frac{Q}{C} = \frac{\sigma}{\epsilon_1} d_1 + \frac{\sigma}{\epsilon_2} d_2 = \frac{Q d_1}{\epsilon_1 A} + \frac{Q d_2}{\epsilon_2 A}$$

$$\Rightarrow \underline{\frac{1}{C} = \frac{d_1}{\epsilon_1 A} + \frac{d_2}{\epsilon_2 A}}$$

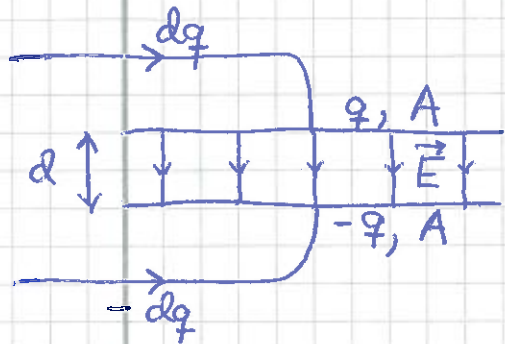
dus: som seriekobling av



# Energi i elektrisk felt [YF 24.3; LHL 20.4]

(85)

Opplasting av en kondensator krever et arbeid og gir en sikt potensiell energi  $U$ , som lagres i  $\vec{E}$ -feltet.



Økning av ladning fra  $\pm q$  til  $\pm (q + dq)$  gir økning i pot. energi

$$dU = v(q) dq = \frac{q}{C} dq$$

$\Rightarrow$  Opplasting fra  $q=0$  til  $q=Q$  gir pot. energi

$$U = \int dU = \int_0^Q \frac{q}{C} dq = \frac{Q^2}{2C}, \text{ som med}$$

~~$C = \frac{Q}{V}$~~  alternativt kan skrives som  $U = \frac{QV}{2} = \frac{1}{2} CV^2$

Med  $C = \epsilon_0 A/d$  og  $V = E \cdot d$  får vi

$$U = \frac{1}{2} \epsilon_0 \frac{A}{d} (Ed)^2 = \frac{1}{2} \epsilon_0 E^2 \cdot (Ad)$$

Her er  $A \cdot d =$  volumet mellom platene, der  $E \neq 0$ .

Konklusjon: Energien pr volumenhet (energidensiteten) i det elektriske feltet er

$$u_E = \frac{1}{2} \epsilon_0 E^2$$

Som viser seg å gjelde generelt.

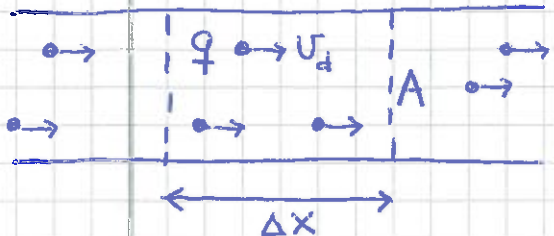
# Elektrisk strøm

[YF 25,26 ; LHL 21,22]

(86)

## Strøm, strømstyrke

[YF 25.1 ; LHL 21.1]



Leder;  $n$  frie ladninger  $q$  pr volumenhet, med middlere driftshastighet  $v_d$  langs lederen.  
[Null netto ladning!]

Strøm (strømstyrke)  $\stackrel{\text{def}}{=}$  mengden ladning som passerer et tverrsnitt av lederen pr tidsenhet

$$I = \frac{\Delta Q}{\Delta t} \xrightarrow{\Delta t \rightarrow 0} \frac{dQ}{dt}$$

$$\text{Enhet: } [I] = \text{C/s} = \text{A (ampere)}$$

I figuren ovenfor: Alle frie ladninger  $\Delta N$  i volumet

$\Delta V = \Delta x \cdot A$  passerer tverrsnittet med areal  $A$  i løpet av tiden  $\Delta t = \Delta x / v_d$

$$\Rightarrow I = \frac{\Delta Q}{\Delta t} = \frac{q \cdot \Delta N}{\Delta x / v_d} = \frac{q \cdot n \cdot \Delta x \cdot A}{\Delta x / v_d} = n q v_d A$$

Strømkjøft  $\stackrel{\text{def}}{=}$  strøm pr flateenhet

$$j = I/A, \quad [j] = \text{A/m}^2$$

Her:  $j = n q v_d$ ; mer presist

$$\boxed{j = n q v_d}$$

Metall: Freie elektroner gir elektrisk strøm

$$\Rightarrow q = -e ; \vec{j} = -ne\vec{v}_d$$

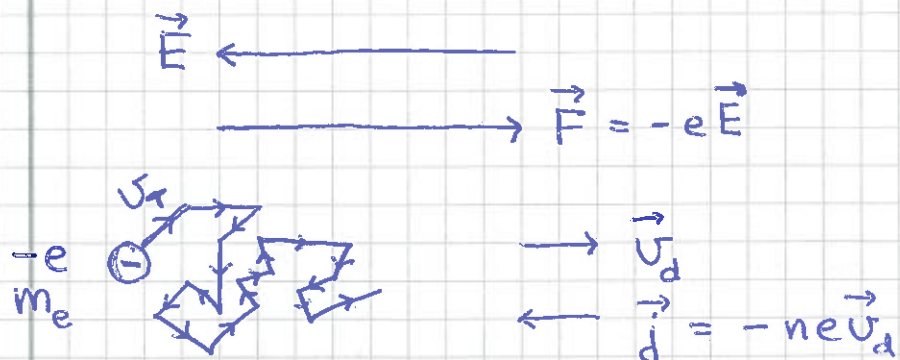


## Ohms lov [YF 25.2, 25.6 ; LHL 21.2, 21.4]

Uten kollisjoner ("friksjon") ville frie ladninger få konstant akselerasjon i et konstant elektrisk felt:

$$q\vec{E} \stackrel{\text{N2}}{=} m\vec{a} \Rightarrow \vec{a} = \frac{q}{m}\vec{E} \Rightarrow \vec{v}(t) = \vec{v}_0 + \frac{q}{m}\vec{E} \cdot t$$

Men frie elektroner kolliderer (ustanselig!) i metallet:



$d =$  middlere avstand mellom kollisjoner

$$\tau = d/v_T = \text{middlere tid}$$

$v_T =$  middlere elektronhastighet ved temperatur T

$$\vec{v}_d \approx \vec{a} \cdot \tau = -\frac{e}{m_e} \vec{E} \cdot \tau$$

[Paul Drude, ca 1900]

$$\Rightarrow \boxed{\vec{j} = \sigma \vec{E}}$$

OHMS LOV

med  $\sigma = ne^2 \tau / m_e =$  materialets konduktivitet  
(kalles også elektrisk ledningseffekt)

## Tallverdier (estimater):

(88)

Ekvipartesjonsprinsippet sier at ved (absolutt) temperatur  $T$  bidrar hvert kvartratiske ledd i energien med  $\frac{1}{2}k_B T$ . Her er  $k_B \approx 1.38 \cdot 10^{-23}$  J/K; Boltzmanns konstant.

$$[R = k_B \cdot N_A \approx 8.314 \text{ J/mol}\cdot\text{K}; \text{ gasskonstanten.}]$$

$$N_A \approx 6.022 \cdot 10^{23} \text{ (partikler pr mol)}; \text{ Avogadros konstant}]$$

Dermed:

$$\langle K_e \rangle = \left\langle \frac{1}{2}m_e(v_x^2 + v_y^2 + v_z^2) \right\rangle = \frac{1}{2}m_e v_T^2 = \frac{3}{2}k_B T$$

$$\Rightarrow v_T = \sqrt{3k_B T / m_e} \sim 10^5 \text{ m/s} \quad \text{ved } T = 300 \text{ K}$$

$\ell$  = middlere fri veikengde  $\sim$  avstand mellom atomene  $\sim 10^{-9} \text{ m}$

$$\Rightarrow \tau = \frac{\ell}{v_T} \sim 10^{-14} \text{ s} \quad (\text{middlere tid mellom kollisjoner})$$

Kobber (Cu):  $m_{\text{Cu}} \approx 63 \text{ g/mol}$ ; massetetthet  $8.96 \text{ g/cm}^3$

$$\Rightarrow 8.5 \cdot 10^{28} \text{ Cu-atomer pr m}^3$$

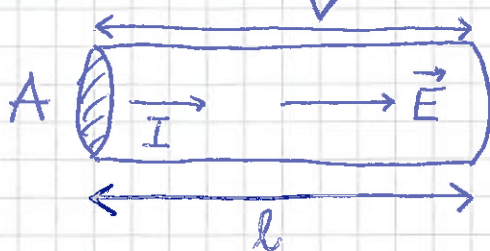
Anta ett fritt elektron pr Cu-atom,  
dvs  $n = 8.5 \cdot 10^{28} \text{ m}^{-3}$

$$\Rightarrow \sigma_{\text{Drude}}^{\text{Cu}} = ne^2c/m_e \approx 2.4 \cdot 10^7 \frac{\text{A}}{\text{V}\cdot\text{m}}$$

$$(\text{mens } \sigma_{\text{Exp}}^{\text{Cu}} \approx 6 \cdot 10^7 \frac{\text{A}}{\text{V}\cdot\text{m}} \text{ ved } 20^\circ\text{C})$$

$$v_d \approx e\epsilon E/m_e \sim 10^{-6} \text{ m/s} \quad \text{hvis } E = 1 \text{ mV/m}$$

En motstand er en komponent med tverrsnitt A og lengde l, typisk med liten ledningsegne  $\sigma$ :



$$V = E \cdot l$$

$$j = \frac{I}{A} = \sigma E = \sigma \frac{V}{l}$$

$$\Rightarrow I = \frac{\sigma A}{l} V = G V$$

$$V = \frac{l}{\sigma A} I = R I$$

$$G = \frac{\sigma A}{l} = \text{lederens konduktans}$$

$$R = G^{-1} = \frac{l}{\sigma A} = \rho l / A = \text{lederens resistans/motstand}$$

$$\rho = \sigma^{-1} = \text{materialets resistivitet}$$

Enheter:

$$[R] = \frac{V}{A} = \Omega \text{ (ohm)} ; [G] = \Omega^{-1} (= S, siemens)$$

$$[\rho] = \Omega m ; [\sigma] = \Omega^{-1} m^{-1} (= S/m)$$

Merk:  $\sigma, \rho$  er materialegenskaper

$G, R$  er også avhengige av lederens dimensjoner

Kretssymbol:



(eut.

# Resistivitet og temperatur [YF 25.2; LHL 21.2, 21.5]

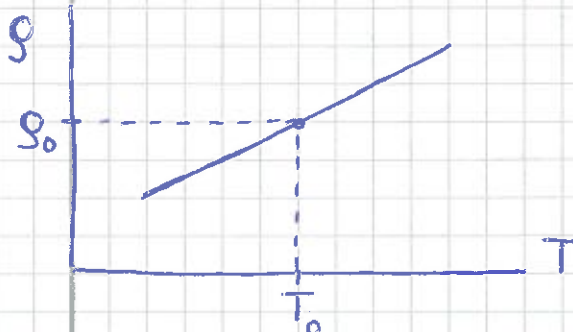
Drudemodellen:  $\rho = \frac{m_e}{n e^2 \tau}$ , dvs  $\rho \sim \frac{1}{n \cdot \tau}$

Metaller:

- stor  $n$ , påvirkes lite av økt  $T$
- økt  $T$  gir hyppigere kollisjoner, dvs redusert  $\tau$ ,  
dvs større resistivitet  $\rho$

Empirisk:

$$\rho(T) = \rho_0 [1 + \alpha (T - T_0)]$$



$$\alpha_{Al} \approx \alpha_{Cu} \approx \alpha_{Ag} \approx 0.004 \text{ K}^{-1}$$

$$[T] = \text{K} \quad (\text{kelvin})$$

$$(\Rightarrow \tau \sim 1/T)$$

Halkledere: (Si, Ge, GaAs, GaN [blå LED; NP 2014], organiske, ...)

- isolator ved  $T=0$  ( $n \approx 0$ )
- økt  $T$  gir (sterk!) økning i  $n$ , dvs redusert  $\rho$



$$\tau \sim \frac{1}{T}, \quad n \sim e^{-T_g/T}$$

$$\Rightarrow \rho(T) \sim T e^{T_g/T}$$

Energigap (båndgap):  $E_g = 2k_B T_g$  = påkrevd energi for å løsnre elektroner fra "moderatomet" = energi til utsendt foton når fritt elektron "fanges inn" igjen av et atom

Eks: Halvleder

|                | Si     | GaAs | GaN  | AlGaAs  | InGaN   | (91) |
|----------------|--------|------|------|---------|---------|------|
| $E_g$ (eV)     | 1.12   | 1.43 | 3.44 | 1.4-2.2 | 2-3.4   |      |
| $\lambda$ (nm) | (1100) | 870  | 360  | 560-870 | 360-620 |      |

Foton:  $E = hf = hc/\lambda$

$$h = 6.626 \cdot 10^{-34} \text{ Js} = \text{Plancks konstant}$$

$$c = 3 \cdot 10^8 \text{ m/s} = \text{lyshastigheten i vakuuum (og luft)}$$

Elektromagnetisk spektrum:

$\lambda > 700 \text{ nm}$  : IR (infranødt)

$700 \text{ nm} > \lambda > 400 \text{ nm}$  : synlig lys (R-O-G-G-B-I-F)

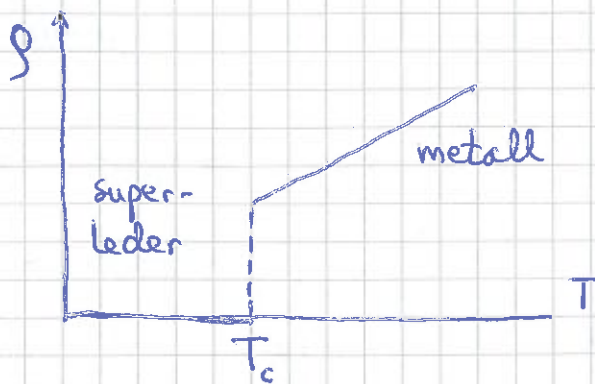
$400 \text{ nm} > \lambda$  : UV (ultrafiolett)

⇒ LED med rødt/gult lys med AlGaAs (f.eks.)

—“— blått/fiolett —“— InGaN (f.eks.)

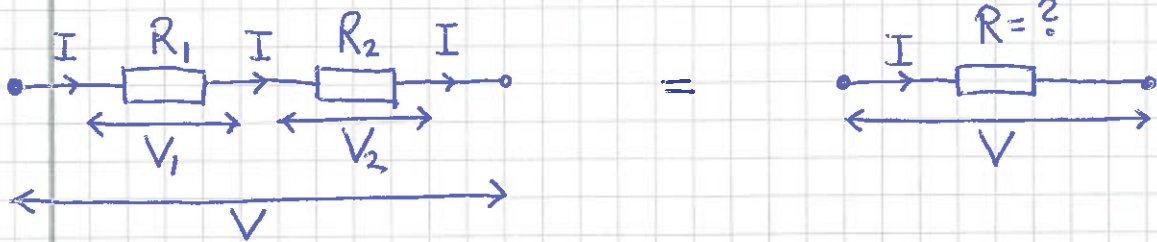
Superledere:

- normalt metall for  $T > T_c$
- $\sigma = 0$  for  $T < T_c$  = materialets kritiske temperatur
- 1911 : Hg,  $T_c = 4.12 \text{ K}$
- 2015 :  $\text{H}_3\text{S}$  (?),  $T_c = 203 \text{ K}$  (høyt trykk,  $p = 150 \text{ GPa}$ )



# Kobling av flere motstander [YF 26.11; LHL 21.3]

Seriekobling:



Lik strøm I gjennom de to motstandene

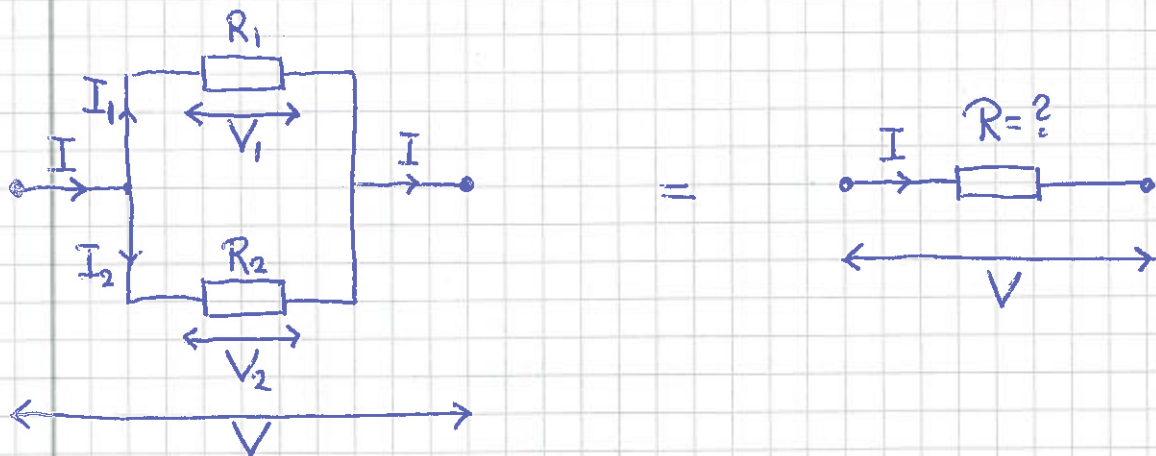
$$\Rightarrow V = V_1 + V_2 = R_1 I + R_2 I = RI$$

$$\Rightarrow R = R_1 + R_2$$

Med N stk. i serie:

$$R = \sum_{j=1}^N R_j$$

Parallellekobling:



Lik spenning over de to motstandene;  $V_1 = V_2 = V$

$$\Rightarrow I = I_1 + I_2 = \frac{V}{R_1} + \frac{V}{R_2} = \frac{V}{R}$$

$$\Rightarrow \frac{1}{R} = \frac{1}{R_1} + \frac{1}{R_2}$$

Med N stk i parallel:

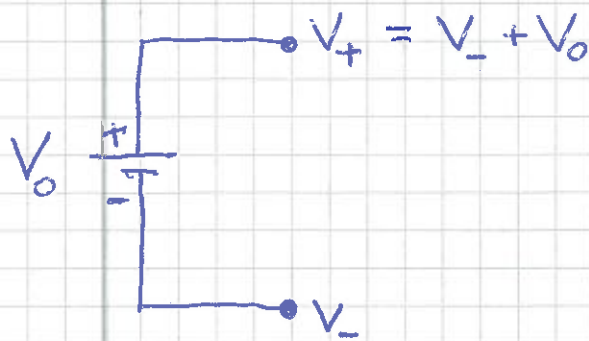
$$\frac{1}{R} = \sum_{j=1}^N \frac{1}{R_j}$$

Likestromkretser

[YF 26 (25); LHL 22]

DC = direct current = likestrom

Likespenningskilde:



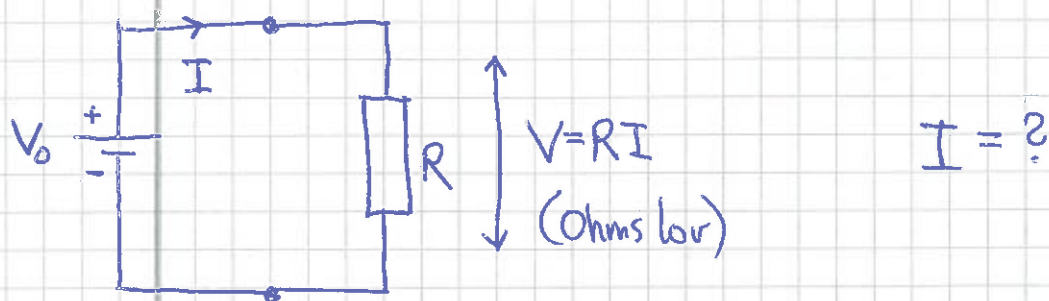
Sørger for konstant spennin~~g~~ (= potensialforskjell)

$$V_0 = V_+ - V_-$$

mellan polene

Eks: Kjemisk batteri, Solcelle, ...

Kobler til (f.eks.) motstand R

⇒ får likket krets, og strøm:Kirchhoff's regler [YF 26.2; LHL 22.3]

Pga ledningsbevarelse:

$$\sum_j I_j = 0 \text{ i alle knutepunkt}$$

("K1")

Pga energibevarelse:

$$\sum \text{potensialendringer} = 0$$

for alle sløyfer

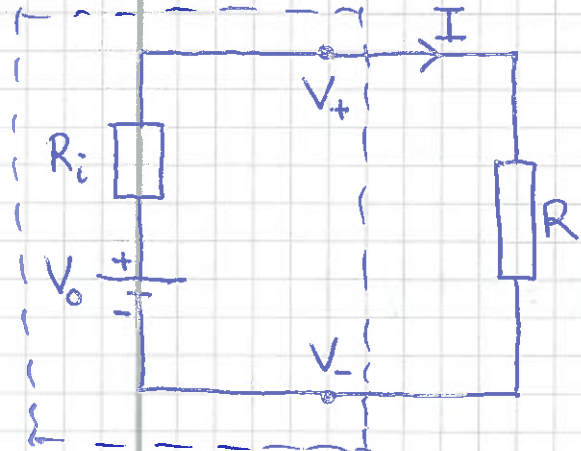
("K2")

$$\text{Dermed (pga K2): } V_o - RI = 0$$

(94)

$$\Rightarrow \underline{\underline{I = V_o/R}}$$

Reell spenningskilde har en viss indre motstand  $R_i$ :



$$K2 \Rightarrow V_o - R_i I - RI = 0$$

$$\Rightarrow \underline{\underline{I = \frac{V_o}{R_i + R}}}$$

og spenningen "levert" til den "ytre kretsen" ( $R$ ) er

$$V_+ - V_- = V_o - R_i I < V_o \text{ når } I > 0$$

### Elektrisk effekt

[YF 25.5; LHL 22.2]

$$\leftarrow V = V_+ - V_- \rightarrow$$



$$dU_{\text{inn}} = V_+ \cdot dQ$$

$$dU_{\text{ut}} = V_- \cdot dQ$$

Effektløp (dvs el. energi "tapes" som varmeenergi):

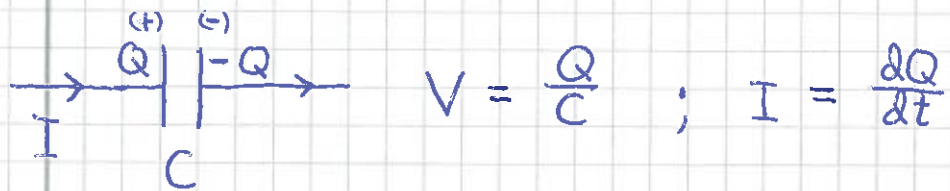
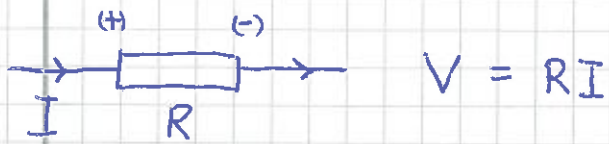
$$P = \frac{dU}{dt} = \frac{dU_{\text{inn}} - dU_{\text{ut}}}{dt} = \frac{V_+ dQ - V_- dQ}{dt} = V \cdot \frac{dQ}{dt} = \underline{\underline{V \cdot I}}$$

Hvis det er en ohmsk motstand, er  $V = R \cdot I$ , slik at

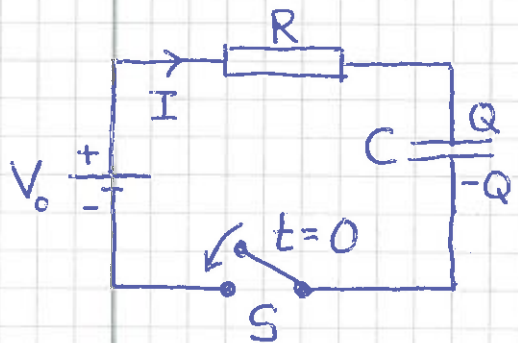
$$P = V \cdot I = RI^2 = \frac{V^2}{R}$$

RC-krets

[YF 26.4; LHL 22.4]



Oppplading av kondensator i RC-krets:



- $Q(0) = 0$
- Lukker kretsen ved  $t=0$   
(S = "switch"; bryter)
- Bestem  $Q(t)$  og  $I(t)$

$$K2: V_0 - RI - \frac{Q}{C} = 0$$

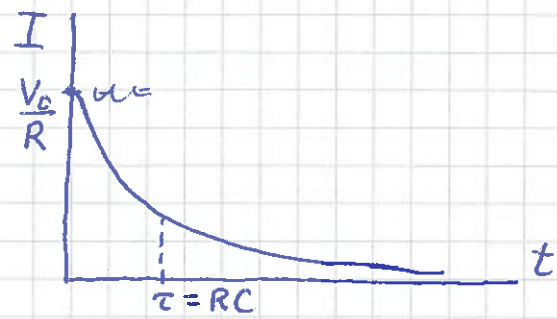
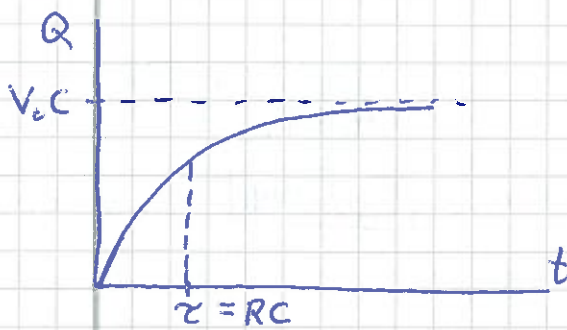
$$\Rightarrow -R \frac{dQ}{dt} = \frac{Q}{C} - V_0 = \frac{Q - V_0 C}{C}$$

$$\Rightarrow \int_0^Q \frac{dQ}{Q - V_0 C} = - \int_0^t \frac{dt}{RC}$$

$$\Rightarrow \ln \left( \frac{Q - V_0 C}{V_0 C} \right) = - \frac{t}{RC}$$

$$\Rightarrow \underline{\underline{Q(t) = V_0 C (1 - e^{-t/RC})}}$$

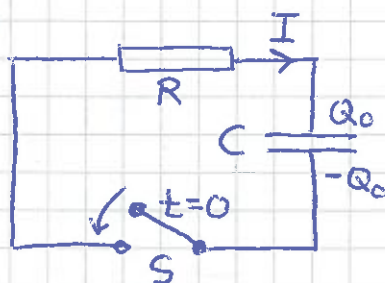
$$\Rightarrow \underline{\underline{I(t) = \dot{Q}(t) = \frac{V_0}{R} e^{-t/RC}}}$$



RC-kretsens tidskonstant:  $\tau = RC$  = karakteristisk tid for opplasting (og utlading) av kondensator i en RC-krets

$$Q(\tau) = V_0 C (1 - \frac{1}{e}) \approx 0.63 V_0 C, \quad Q(3\tau) = V_0 C (1 - \frac{1}{e^3}) \approx 0.95 V_0 C$$

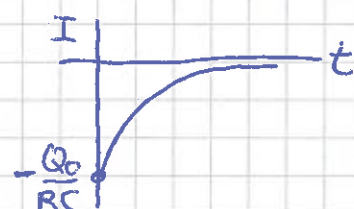
Utlading:



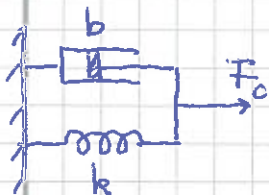
- $Q(0) = Q_0$
- Beskriv  $Q(t)$  og  $I(t)$

$$\text{K2: } -\frac{Q}{C} - R \frac{dQ}{dt} = 0 \quad \Rightarrow \quad \int_{Q_0}^Q \frac{dQ}{Q} = -\int_0^t \frac{dt}{RC}$$

$$\Rightarrow Q(t) = Q_0 e^{-t/RC}, \quad I(t) = -\frac{Q_0}{RC} e^{-t/RC}$$

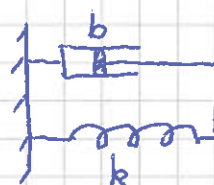


Mekanisk analogi:



$$F_0 - b\dot{x} - kx = m\ddot{x} \xrightarrow{m \rightarrow 0} 0$$

$$\Rightarrow x(t) = \frac{F_0}{k} (1 - e^{-kt/b})$$



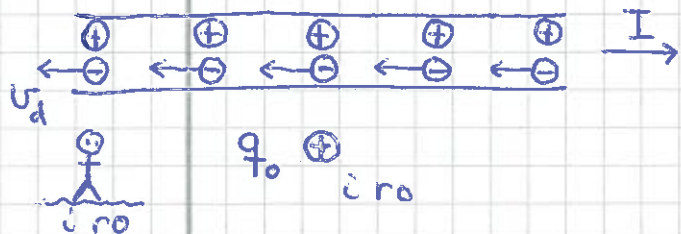
$F_0$  skrus av  
 $x(0) = x_0$

$$-kx - b\dot{x} = 0$$

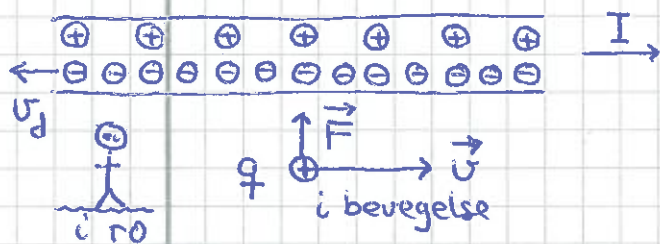
$$\Rightarrow x(t) = x_0 e^{-kt/b}$$

# Magnetostatikk [YF 27, 28 ; LHL 23]

Coulombs lov og Einsteins relativitetsteori nødvendiggjør magnetfelt og magnetisk kraft:



$q_0$  i ro ser nøytral  
strømførende ledet  
 $\Rightarrow F = 0$ ; og vi er enige



Ladning  $q$  i bevegelse ser negativt ladet strømførende ledet, fordi elektronene  $\Theta$  har større relativ hastighet ( $u_- \approx v + v_d$ ) enn atomkjernene  $\oplus$  ( $u_+ = v$ ).

Dermed er det størst lengderedusjon for avstanden mellom  $\Theta$ :

$$\Delta x_- = \Delta x_0 \sqrt{1 - \frac{u_-^2}{c^2}} < \Delta x_+ = \Delta x_0 \sqrt{1 - \frac{u_+^2}{c^2}}$$

Konklusjon:  $q$  påvirkes av en elektrisk kraft  $\vec{F}$

$$\text{Motsatt rettet } \vec{v} \Rightarrow u_- \approx v - v_d \ll u_+ = v$$

$$\Rightarrow \Delta x_- > \Delta x_+ \Rightarrow \text{positivt ladet ledet}$$

$\Rightarrow$  motsatt rettet  $\vec{F}$

Vi er i ro relativt den strømførende lederen og mäter ingen elektrisk kraft på  $q$ . Vi mäter en magnetisk kraft  $\vec{F}_m$ . Denne uttrykkes via et magnetfelt  $\vec{B}$ . Magnetfeltet  $\vec{B}$  skapes av strømmen  $I$ .

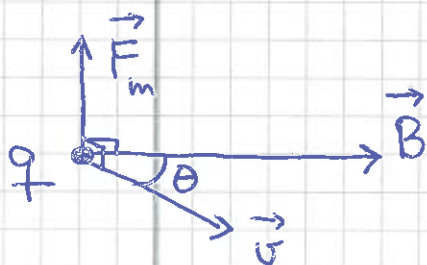
# Magnetisk kraft [YF 27.2 ; LHL 23.4]

Ladning (er) omgir seg med elektrisk felt  $\vec{E}$

$\Rightarrow$  elektrisk kraft  $\vec{F}_e = q\vec{E}$  på ladning  $q$

Strøm omgir seg med magnetfelt  $\vec{B}$

$\Rightarrow$  magnetisk kraft  $\vec{F}_m = q\vec{v} \times \vec{B}$  på ladning  $q$   
i bevegelse med hastighet  $\vec{v}$



$$\vec{F}_m = qvB \sin\theta$$

$$\vec{F}_m \perp \vec{B}$$

$$\vec{F}_m \perp \vec{v}$$

Enhet for magnetfelt:

$$[B] = \frac{N}{C \cdot m} = \frac{N}{A \cdot m} = T \text{ (tesla)}$$

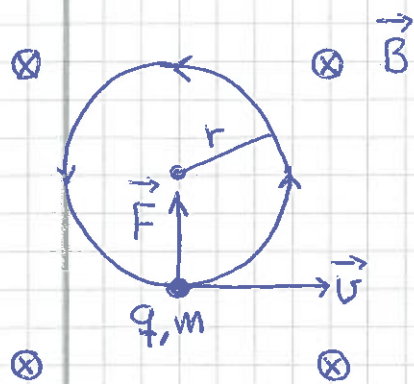
Med både  $\vec{E}$  og  $\vec{B}$  til stede:

$$\boxed{\vec{F} = \vec{F}_e + \vec{F}_m = q\vec{E} + q\vec{v} \times \vec{B}}$$

Lorentzkraften

# Ladning i uniformt magnetfelt [YF 27.4; LHL 23.1+4]

(99)



- ⊗ inn i planet
- ⊗ ut av ——

Anta  $\vec{v} \perp \vec{B}$

$$\Rightarrow F = qvB$$

$\vec{F} \perp \vec{v} \Rightarrow$  tilført effekt  $P = \vec{F} \cdot \vec{v} = 0$

$\Rightarrow$  kinetisk energi  $K = \frac{1}{2}mv^2 = \text{konstant}$

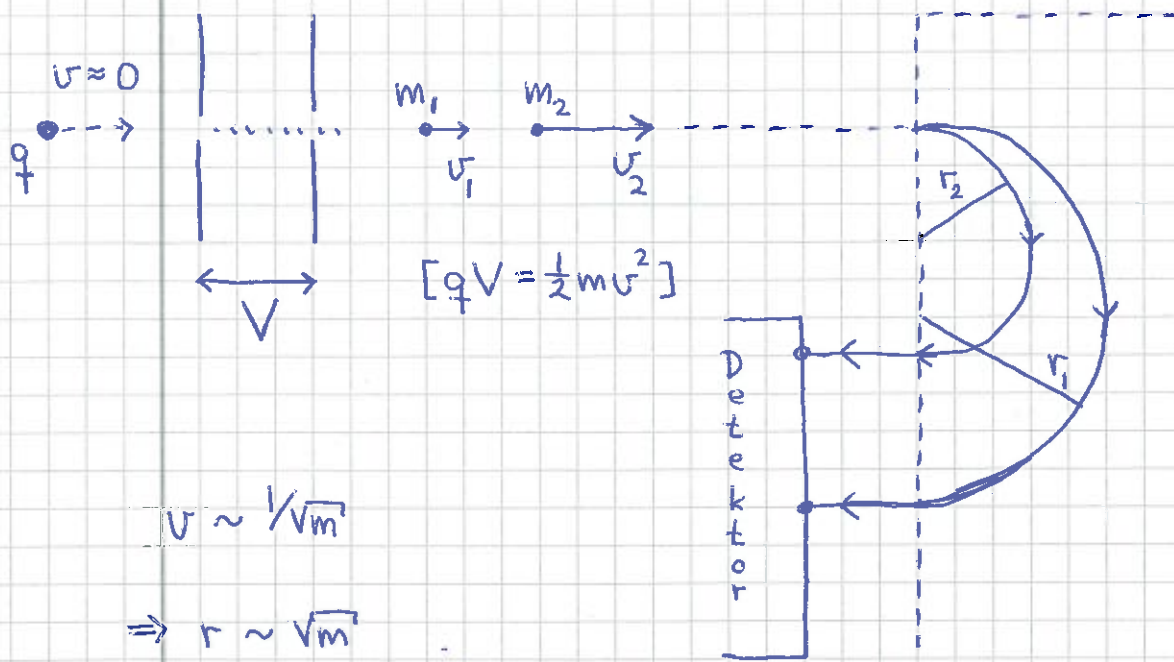
$\Rightarrow$  uniform sirkelbevegelse

$$N2: qvB = mv^2/r \Rightarrow r = mv/qB$$

$$\Rightarrow w_c = \frac{v}{r} = \frac{qB}{m}$$

Syklotron-frekvensen

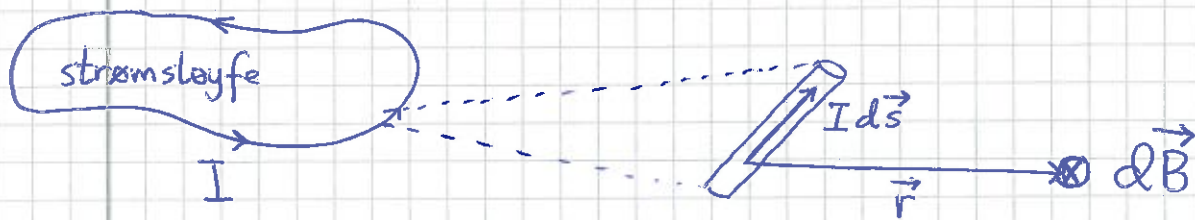
Eks: Massespektrometer (Øving 12)



# Biot - Savarts lov

[YF 28.2 ; LHL 23.5]

(100)



Magnetfelt  $d\vec{B}$  fra ledabit med lengde og retning gitt ved  $d\vec{s}$ , og strøm  $I$ , i avstand gitt ved  $\vec{r}$  :

$$d\vec{B} = \frac{\mu_0}{4\pi} \frac{I d\vec{s} \times \hat{r}}{r^2}$$

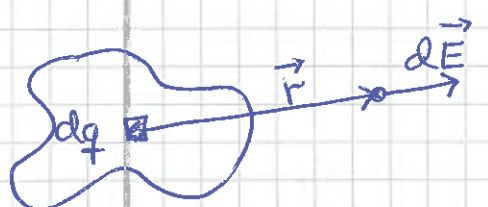
$\Rightarrow$  Fellet fra hele den lukkede strømslayfa : (I=konst.)

$$\vec{B} = \oint d\vec{B} = \frac{\mu_0 I}{4\pi} \oint \frac{d\vec{s} \times \hat{r}}{r^2}$$

Biot-Savarts lov  
(1820)

$$\mu_0 = 4\pi \cdot 10^{-7} \frac{A \cdot m}{A} = \text{vakuumpermeabiliteten} \quad (\text{eksakt})$$

If. Coulombs lov :



$$\vec{E} = \int d\vec{E} = \frac{1}{4\pi\epsilon_0} \int \frac{dq \hat{r}}{r^2}$$

$\epsilon_0$  = vakuumpermittiviteten

$$c = \frac{1}{\sqrt{\epsilon_0 \mu_0}} = \text{hastigheten til elektromagnetiske bølger i vakuum}$$

$$= 299792458 \text{ m/s} \quad (\text{eksakt})$$

$$\Rightarrow \epsilon_0 = \frac{1}{\mu_0 c^2} \quad (\text{eksakt})$$

Tre viktige eksempler, med kvalitativ argumentasjon, uten matematiske detaljer. (101)

Eks 1:  $\vec{B}$  fra lang, rett strømførende ledet [YF 28.3; LHL 23.5]

⊗  $\vec{B}$  (ut)

$$\partial \vec{B} \sim I d\vec{s} \times \vec{r}$$

I

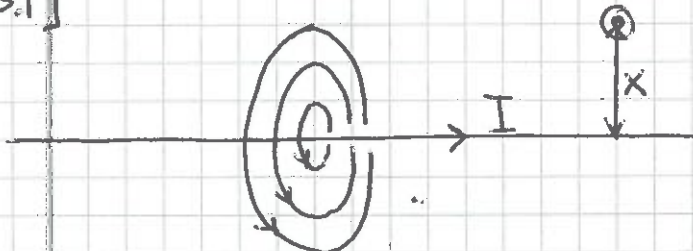
⊗  $\vec{B}$  (inn)

$\downarrow$   
 $\vec{B}$  er tangent til sirkel med sentrum på lederen

⇒ Feltlinjer for  $\vec{B}$  er sirkler med sentrum på lederen.  
↳ [Linjer  $\parallel \vec{B}$ ; Linjetetthet prop. med  $\vec{B}$ ]

[YF 27.3]

[LHL 23.1]



Biot-Savart gir

$$B(x) = \frac{\mu_0 I}{2\pi x}$$

[Detaljert utregning av  $B(x)$  på hjemmesiden, s 127B]

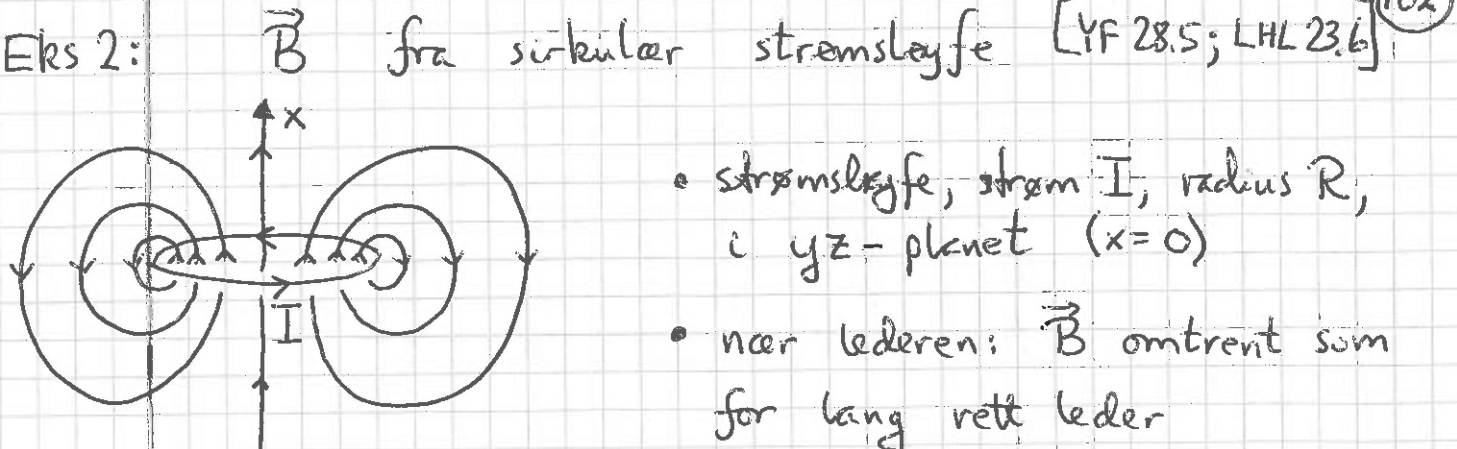
• Høyrehåndsregel:

Tommel langs I, resten av fingrene krummer

i retningen til  $\vec{B}$ .

• Har alltid liklede feltlinjer for  $\vec{B}$ .

Eks 2:



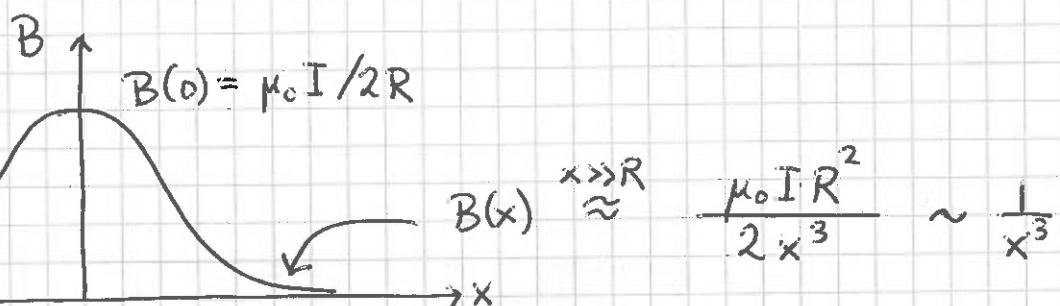
- strømslayfe, strøm  $I$ , radius  $R$ ,
- i  $yz$ -planet ( $x=0$ )

- nær lederen:  $\vec{B}$  omtrent som for lang rett ledet

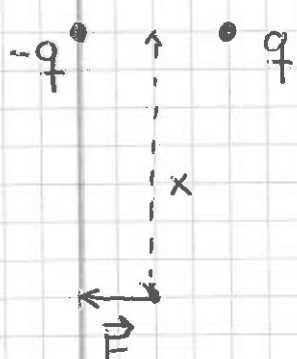
- på  $x$ -aksen:  $\vec{B} \parallel \hat{x}$   
pga symmetri

Biot + Savart gir [s 128B]

$$B(x) = \frac{\mu_0 I R^2}{2(x^2 + R^2)^{3/2}} \quad \text{på } x\text{-aksen (slayfes aksje)}$$



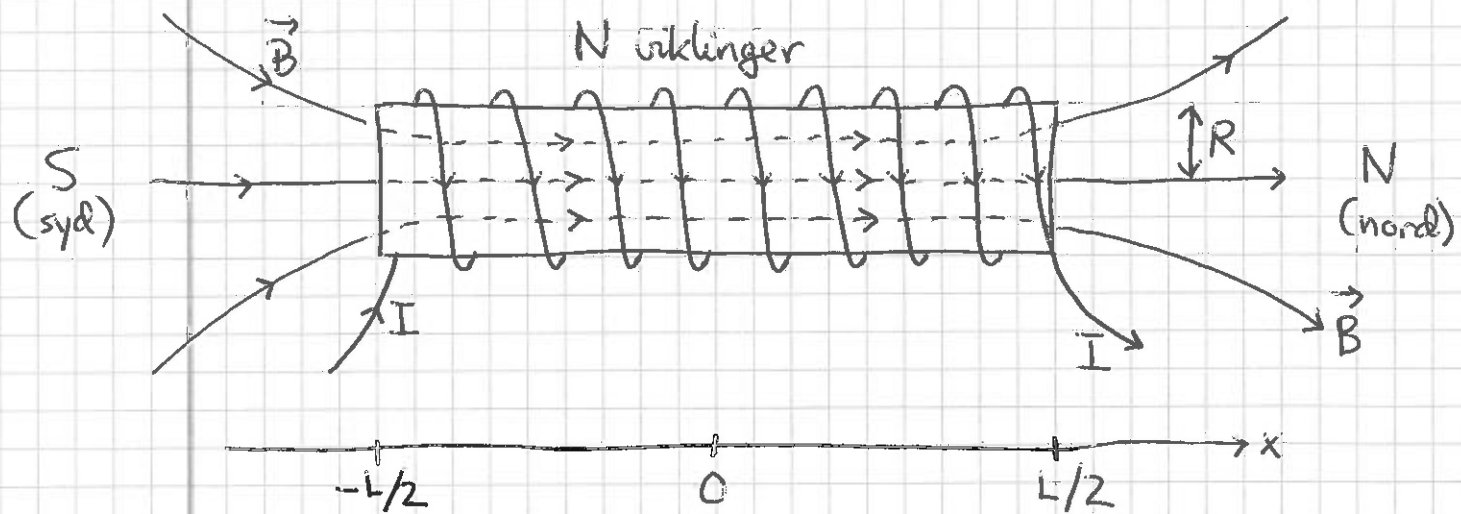
Fra før (s. 65):



- $E(x) \sim \frac{1}{x^3}$  langt unna elektrisk dipol.

- Den sirkulære strømslayfa er en magnetisk dipol.

Eks 3:  $\vec{B}$  fra strømførende spole [YF 28.7; LHL 23.6] (103)



- $n = N/L =$  viklinger pr lengdeenhet (= viklingstetthet)
- tettliggende viklinger, slik at  $\vec{B}$  blir omtrent som for  $N$  sirkulære strømslayser jevnt fordelt på lengden  $L$

Biot-Savart gir [s 129 B, C, D] for feltstyrken  $B(x)$  på spolens akse (radius  $R$ ):

$$B(x) = \frac{1}{2} \mu_0 n I \left\{ \frac{\frac{L}{2} - x}{\sqrt{(\frac{L}{2}-x)^2 + R^2}} + \frac{\frac{L}{2} + x}{\sqrt{(\frac{L}{2}+x)^2 + R^2}} \right\}$$

Hvis spolen er lang, dvs  $L/2 \gg R$ :

$$B \approx \frac{1}{2} \mu_0 n I \quad \text{nær spolens ender} \quad (x = \pm \frac{L}{2})$$

|                       |
|-----------------------|
| $B \approx \mu_0 n I$ |
|-----------------------|

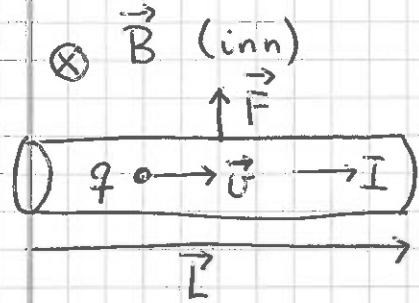
innen i spolen  $(|x| \ll \frac{L}{2})$

$$B \approx 0 \quad \text{utenfor spolen}$$

# Magnetisk kraft på strøm

[YF 27.6; LHL 23.2]

(104)

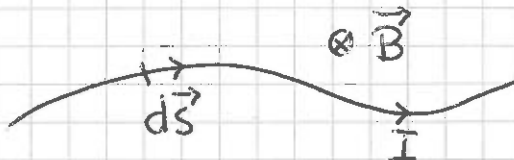


Lederbit med  $N$  frie ladninger  $q$ , driftshastighet  $v$ , lengde  $L$   
 $\Rightarrow \vec{F} = Nq\vec{v} \times \vec{B}$  (oppover)

$$I = \frac{\Delta Q}{\Delta t} = \frac{Nq}{L/v} = \frac{1}{L} Nqv \Rightarrow Nqv = IL$$

$$\Rightarrow \vec{F} = IL \times \vec{B}$$

Generelt:

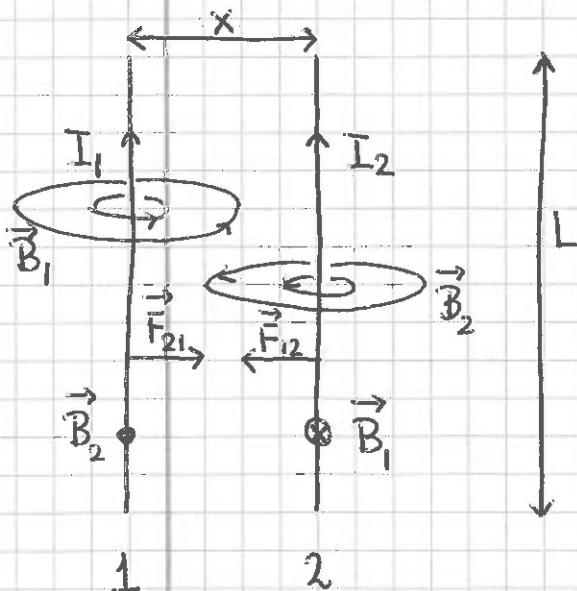


$$d\vec{F} = I d\vec{s} \times \vec{B}$$

$$\vec{F} = I \int d\vec{s} \times \vec{B}$$

(= total kraft  
på lederen)

Eks: Kraft mellom parallele stremmer [YF 28.4; LHL 23.5]



Innbyrdes kraft på lengde  $L$ :

$$F_{12} = F_{21} = F$$

$$F = I_1 L B_2 = I_1 L \frac{\mu_0 I_2}{2\pi x}$$

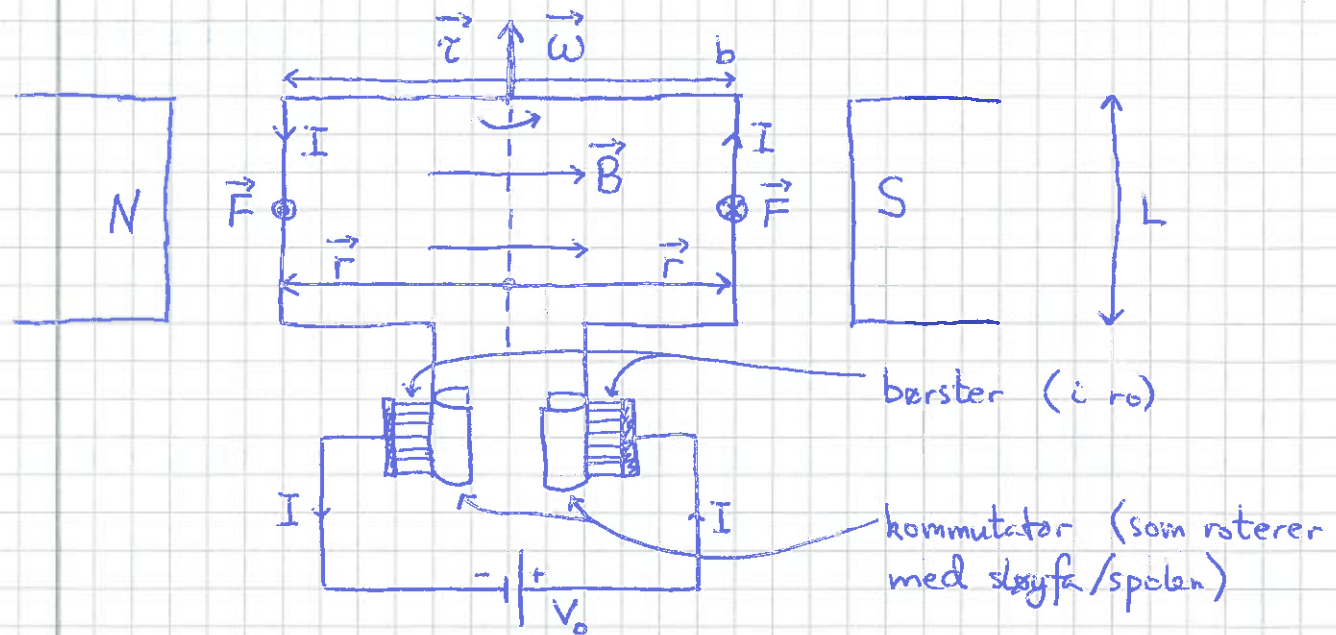
$$(= I_2 L B_1)$$

Kraft pr lengdeenhet:

$$f = F/L = \frac{\mu_0 I_1 I_2}{2\pi x}$$

$I_1 \parallel I_2 \Rightarrow$  Tiltrekning ;  $I_1 \perp I_2 \Rightarrow$  Frastøtning

Med  $x = L = 1\text{ m}$  og  $I_1 = I_2 = 1\text{ A}$  blir  $F = 2 \cdot 10^{-7}\text{ N} = 0,20\text{ }\mu\text{N}$



Dreiemoment på strømsløyfa (sett: pr vikling av en spole)

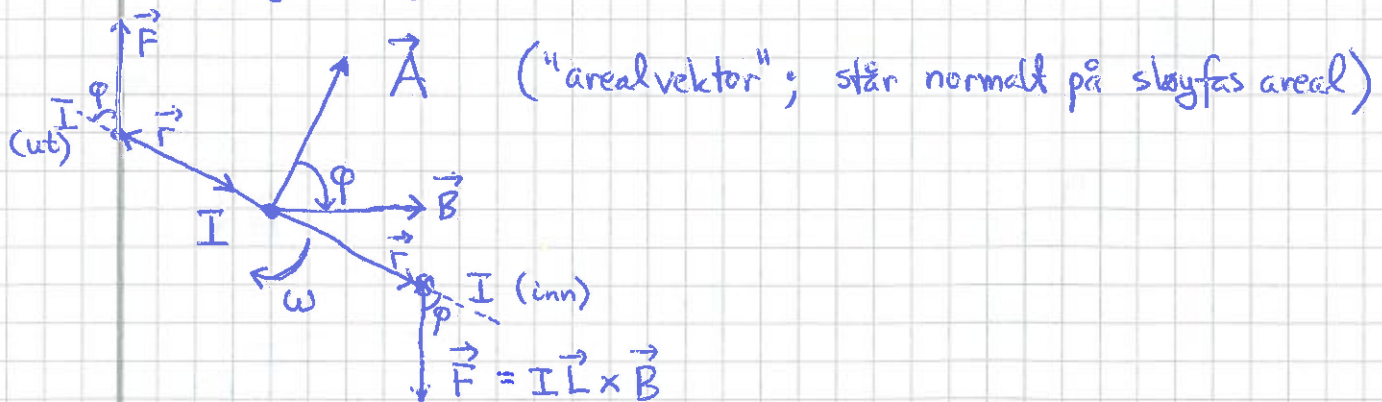
$$\tau = |\vec{\tau}| = \left| \sum \vec{r}_i \times \vec{F}_i \right| = 2 \cdot \frac{b}{2} \cdot I L B \cdot \sin \varphi$$

[ $\varphi$  = vinkel mellom  $\vec{r}$  og  $\vec{F}$ ;  $\varphi = 90^\circ$  i figuren]

$$\Rightarrow \tau = IA \cdot B \cdot \sin \varphi ; \quad A = bL = \text{omsluttet areal}$$

$$\text{dvs } \vec{\tau} = I \vec{A} \times \vec{B}$$

Sett ned langs rotasjonsaksen:

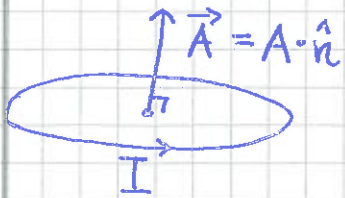


Kommutatoren sørger for strømretning i sløyfa/spolen slik at  $\vec{\tau}$  hele tiden peker i samme retning.

# Magnetisk dipol og dipolmoment [YF 27.7; LHL 23.3, 26.2]

(106)

ei strømslayfe er en magnetisk dipol:



- $\hat{n}$  er enhetsvektor  $\perp$  omsluttet areal
- $A = \text{omsluttet areal}$
- fortegn på  $\vec{A}$  med h.h. regel

strømslayfas magnetiske dipolmoment:

$$\vec{m} = I \vec{A}$$

$$[m] = A \cdot m^2 = \frac{N \cdot m}{T} = \frac{\text{J}}{T} \quad (\text{siden } [x] = [IAB] = [mB])$$

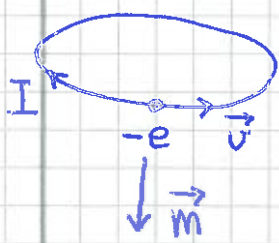
[Generelle definisjoner av dipolmoment:

$$\vec{m} = \frac{1}{2} \int (\vec{r} \times \vec{j}) dV ; \quad \vec{j} = \text{strømkjøtt}; \quad dV = \text{volumelement}$$

$$\vec{p} = \int \vec{r} j dV ; \quad j = \text{ladningskjøtt}; \quad \dots \quad ]$$

Eksempler på små og store magnetiske dipoler:

Eks 1: Atom med 1 elektron i sirkulær bane,  $r = 1\text{\AA}$ ,  $v = 10^6 \text{ m/s}$ .

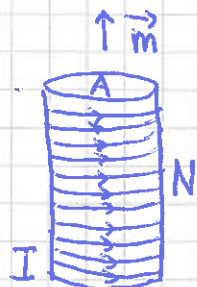


$$m = IA = \frac{e}{T} \cdot \pi r^2 ; \quad T = \frac{2\pi r}{v}$$

$$\begin{aligned} \Rightarrow m &= \frac{evr}{2} = \frac{1}{2} \cdot 1.6 \cdot 10^{-19} \cdot 10^6 \cdot 10^{-10} \text{ Am}^2 \\ &= 8 \cdot 10^{-24} \text{ Am}^2 \quad (\text{erst. J/T}) \end{aligned}$$

Kvantemekanikk gir at elektronet har et spinn ("indre dreieimpuls") som tilsvarer et magnetisk dipolmoment  $\mu_B = e \cdot h / 4\pi m_e \approx 9.274 \cdot 10^{-24} \text{ J/T}$ , et såkalt Bohr magneton. ( $h = \text{Planck's konstant}$ )

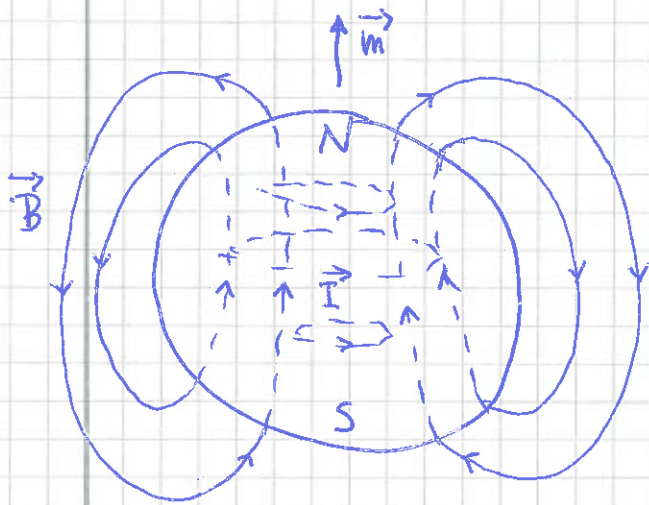
Eks 2: Spole med  $N = 100$  viklinger, strøm  $I = 1\text{ A}$ , tverrsnitt  $A = 10\text{ cm}^2$ . 107



$$m = N \cdot IA = 100 \cdot 1 \cdot \pi \cdot 10 \cdot 10^{-4} \text{ Am}^2$$

$$\approx 0.3 \text{ Am}^2$$

Eks 3: Jordas

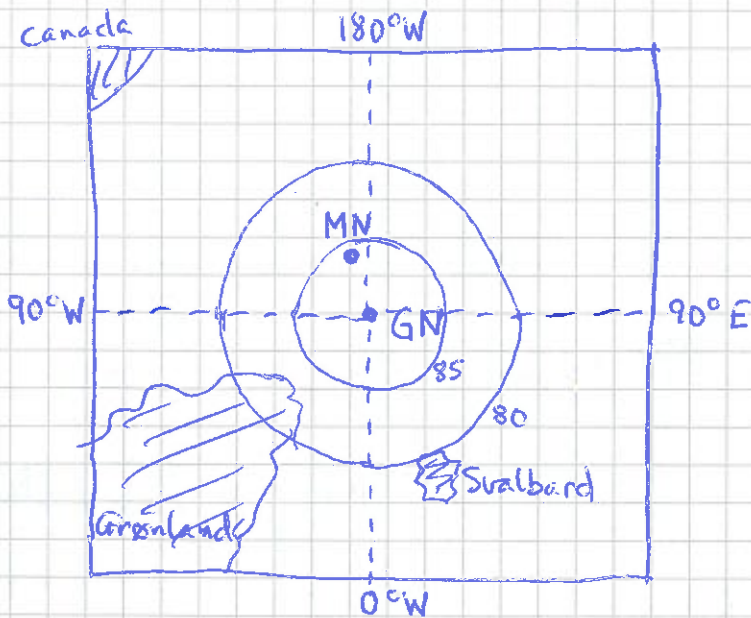


$$m \approx 8 \cdot 10^{22} \text{ Am}^2$$

(tilsvarer (f.eks.)

strømsleife med

$$I = 2 \cdot 10^{10} \text{ A og } A = 4 \cdot 10^{12} \text{ m}^2$$



GN: geografisk nordpol ( $90^\circ\text{N}$ )

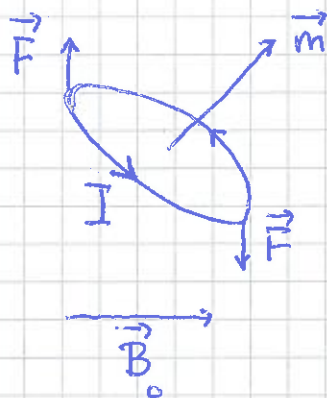
MN (2016): magnetisk nordpol ( $86.4^\circ\text{N}, 166.3^\circ\text{W}$ )

(2001:  $81.3^\circ\text{N}, 110.8^\circ\text{W}$ )

# Materialers magnetiske egenskaper; magnetisme

[Jf. isolatorers dielektriske egenskaper s 79-80]

Fra Eks 1 s 106: Atomære magnetiske dipoler med dipolmoment  $\vec{m}$  kan rettes inn langs ytre felt  $\vec{B}_o$  (jf. DC-motor s 105):



$$\vec{\tau} = \vec{m} \times \vec{B}_o ; \quad U = -\vec{m} \cdot \vec{B}_o$$

(se Øving 13; jf. øving 9 for elektrisk dipol,

$$\vec{\tau} = \vec{p} \times \vec{E}_o ; \quad U = -\vec{p} \cdot \vec{E}_o )$$

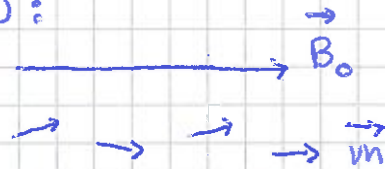
$\Rightarrow$  Materialer kan magnetiseres i et ytre felt  $\vec{B}_o$ :

$$B_o = 0 :$$



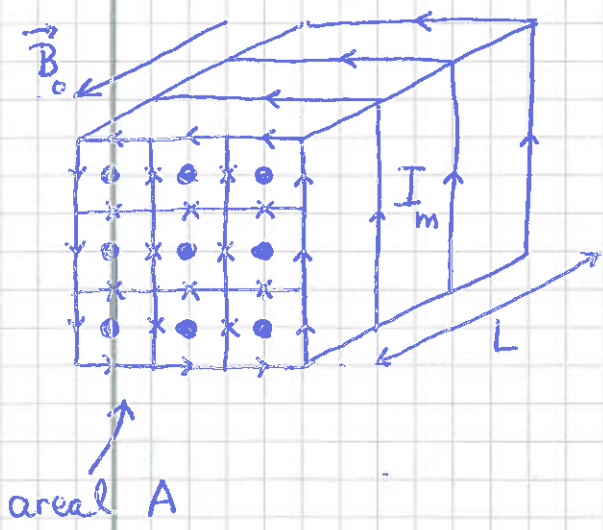
$$\sum_i \vec{m}_i \approx 0$$

$$B_o \neq 0 :$$



$$\sum_i \vec{m}_i \neq 0$$

Netto makroskopisk effekt av ytre  $\vec{B}_o$ :



- innretting av atomære  $\vec{m}$  langs  $\vec{B}_o$ ; bundet strøm i hvert atom
- alle indre strømmer kansellerer (x)
- induserer overflatestrom  $I_m$ , pr lengdeenhet  $i_m = I_m / L$
- materialet blir som en spole!
- magnetfeltet styrkes i materialet,  

$$\vec{B} = \vec{B}_o + \vec{B}_m$$

Stoffets relative permeabilitet  $\mu_r$  defineres ved

$$B = \mu_r B_0$$

Jf.  $E = \frac{1}{\epsilon_r} E_0$  for dielektrikum (s. 80)

| Stoff     | Stoffets permeabilitet $\mu = \mu_r \mu_0$ | Type magnetisme |
|-----------|--------------------------------------------|-----------------|
| Vakuum    | $\mu_0$                                    | —               |
| Luft      | $1.0000004 \mu_0$                          | Paramagnet      |
| Aluminium | $1.00002 \mu_0$                            | — II —          |
| Rent jern | $5000 \mu_0$                               | Ferromagnet     |
| Kobber    | $0.999994 \mu_0$                           | Diamagnet       |
| Vann      | $0.999992 \mu_0$                           | — II —          |

Paramagnetisme: Svak innretting av  $\vec{m}$  langs ytre  $\vec{B}_0$

Diamagnetisme: Ytre  $\vec{B}_0$  induserer motsett rettet  $\vec{m}$ .

Bare målbart huis  $\vec{m} = 0$  i null ytre felt.

Ferromagnetisme: Vekselvirkende atomære  $\vec{m}_i$ , lavest energi når "alle"  $\vec{m}$  peker samme vei:  $\dots \uparrow \uparrow \uparrow \uparrow \uparrow \uparrow \uparrow \dots$   
 Dette skjer i magneter (Fe, Ni, Co, ...).

Tilsvarende i ferroelektriske materialer: Spontan innretting av elektriske dipoler:  $\dots \uparrow \uparrow \uparrow \uparrow \uparrow \dots$   
 $\vec{P}_e$   
 $(BaTiO_3, PbTiO_3)$

Eks: Bestem B i en spole med 1000 viklinger på lengde 25 cm, fylt med jern med  $\mu_r = 2000$ ; strøm 1A i spoletråden.

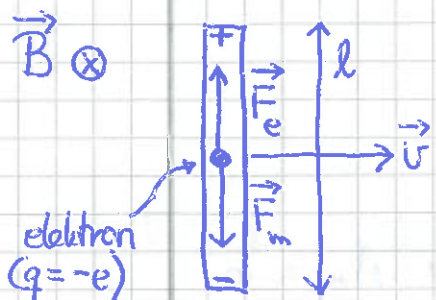
$$\text{Løsn: } B = \mu_0 n I = \mu_r \mu_0 \frac{N}{L} I = 2000 \cdot 4\pi \cdot 10^{-7} \cdot \frac{1000}{0.25} \cdot 1 \text{ T} \approx \underline{\underline{10 \text{ T}}}$$

# Elektrodynamikk [YF 29-31; LHL 24, 25, 27]

(110)

## Faradays induksjonslov [YF 29.1+2+4 ; LHL 24.1]

Ser på en ledet i bevegelse i et uniformt  $\vec{B}$ -felt:



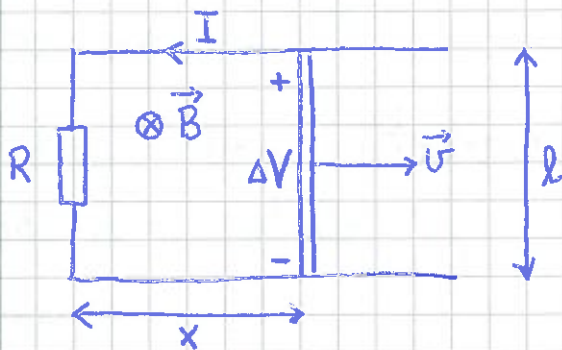
Magn. kraft på frie elektroner i lederen:  
 $\vec{F}_m = -e\vec{v} \times \vec{B}$  (nedover)

Gir indusert ladning på endene; dermed et indusert elektrisk felt  $\vec{E}$ , og en spennin  $\Delta V = E \cdot l$  i lederen.

Likvekt når  $\vec{F}_m + \vec{F}_e = 0$ ;  $\vec{F}_e = -e\vec{E}$

$$\Rightarrow eE = evB \Rightarrow \underline{\Delta V = vBl}$$

Den induserede spenningen  $\Delta V$  kan drive en strøm i en lukket krets:



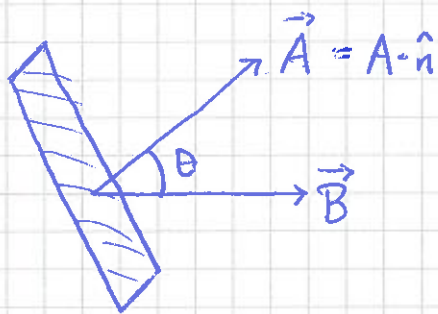
$$\text{Ohms lov} \Rightarrow I = \frac{\Delta V}{R} = \frac{vBl}{R}$$

Vi ser at  $\Delta V = vBl = \frac{dx}{dt} Bl = \frac{d}{dt}(Blx) = \frac{d}{dt}(B \cdot A)$   
 der  $A = l \cdot x$  = arealet som omslutes av strømsløyfa.

## Magnetisk fluks

[YF 27.3 ; LHL 23.7 (19.7)]

111



Magnetisk fluks  $\Phi$  gjennom  
flaten med areal  $A$ :

$$\Phi = \vec{B} \cdot \vec{A} = B \cdot A \cdot \cos \theta$$

$\Rightarrow$  Faradays induksjonslov:

$$\Delta V = - \frac{d\Phi}{dt}$$

\* Indusert spenning = endring i omsluttet magnetisk fluks  
pr tidsenhet

Fortegnet (Retningen) på  $\Delta V$  finner vi ved hjelp av

## Lenz' lov [YF 29.3 ; LHL 24.1]

Indusert strøm  $I$  får retning slik at tilhørende  
indusert magnetfelt  $\vec{B}_I$  og tilhørende indusert  
magnetisk fluks

$$\Phi_I = \vec{B}_I \cdot \vec{A} \quad (\text{evt. generelt } \Phi_I = \int \vec{B}_I \cdot d\vec{A})$$

motvirker den påtvingne endringen  $\Delta \Phi$ .

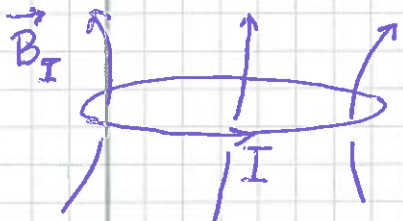
Kortform:

Naturen motvirker påtvingne endringer!

Induktans

[YF 30-2 ; LHL 25-1]

Selvinduktans :



Pga Biot-Savarts lov blir  $\vec{B}_I$  prop. med  $I$ . Dermed blir også omsluttet fluxus  
 $\Phi = \int \vec{B}_I \cdot d\vec{A}$   
prop. med  $I$ .

$$\Rightarrow \boxed{\Phi = L \cdot I; \quad L = \text{støyspas selvinduktans}}$$

$$\text{Enhet: } [L] = \left[ \frac{B \cdot A}{I} \right] = \frac{T \cdot m^2}{A} = H \text{ (henry)}$$

Eks: Spole,  $N=1000$  viklinger,  $l=25\text{cm}$ ,  $A=10\text{cm}^2$ . Bestem  $L$ .

$$\text{Løsn: } B = \mu n I = \mu_r \mu_0 \frac{N}{l} I$$

$$\Rightarrow \Phi = NBA = N^2 \mu_r \mu_0 A I / l = LI$$

$$\Rightarrow L = N^2 \mu_r \mu_0 A / l$$

$$\text{Luftfylt } (\mu_r=1) : L = 0.005 \text{ H}$$

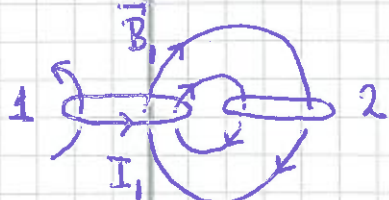
$$\text{Jernkjerne med f.eks. } \mu_r = 1000 : L = 5 \text{ H}$$

Gjensidig induktans: Strom  $I_1$  i sløyfe 1 gir fluxus  $\Phi_2$  omsluttet av sløyfe 2 ( $\Phi_2 = \int \vec{B}_1 \cdot d\vec{A}_2$ ),

$$\text{prop. med } I_1 : \Phi_2 = M_{21} I_1$$

$$\text{Tilsvarende: } I_2 \text{ i sløyfe 2} \Rightarrow \Phi_1 = \int \vec{B}_2 \cdot d\vec{A}_1$$

$$\text{omsluttet av sløyfe 1} : \Phi_1 = M_{12} I_2$$



$$M_{12} = M_{21} = M \Rightarrow \text{sløyfenes gjensidige induktans; } [M] = H$$

Induksjon ("selvinduksjon") :

Hvis  $\dot{I} \neq 0$ , blir  $\dot{\phi} \neq 0$ , og vi får indusert spennin

$$V = -\dot{\phi} = -L\dot{I}$$

Gjensidig induksjon :

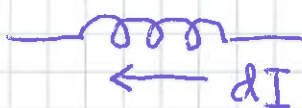
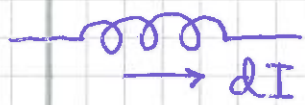
$$\dot{I}_1 \neq 0 \Rightarrow V_2 = -\dot{\phi}_2 = -M\dot{I}_1; \quad \dot{I}_2 \neq 0 \Rightarrow V_1 = -\dot{\phi}_1 = -M\dot{I}_2$$

Spole (Induktans) som kretselement :



$$V = -L \frac{dI}{dt}$$

Restring på  $V$  med Lenz' lov :



$$+ \leftarrow -$$

$$- \rightarrow +$$

Energi i  $\vec{B}$ -feltet [YF 30.3; LHL 25.3]

Må gjøre arbeid mot den induserete spenningen for å øke strømmen fra  $i=0$  til  $i=I$  i en spole.

Tilført energi lagres i magnetfeltet, med energi pr volumenhet

$$u_B = \frac{1}{2\mu_0} B^2 \quad (\text{som gjelder generelt})$$

Total energi i et "elektromagnetisk felt" (dvs  $\vec{E}$  og  $\vec{B}$ ) blir dermed

$$U = U_E + U_B = \frac{1}{2} \epsilon_0 E^2 + \frac{1}{2\mu_0} B^2$$

Beweis für  $u_B$ :

(114)

$$\frac{di}{dt} \rightarrow \text{magnetfeld} \leftarrow v = -L \frac{di}{dt}$$

Energie / Arbeit som trengs for å øke strømmen fra  $i$  til  $i+di$ :

$$dU = P \cdot dt = -v \cdot i \cdot dt = L \frac{di}{dt} \cdot i \cdot dt = L \cdot i \cdot di$$

For å øke strømmen fra  $i=0$  til  $i=I$ :

$$U = \int dU = \int_0^I L i \cdot di = \underline{\underline{\frac{1}{2} LI^2}}$$

Med leng, tetthet spole, lengde  $l$ , sterrsnitt  $A$ ,  $N$  viklinger:

$$B = \mu_0 n I = \mu_0 \frac{N}{l} I \Rightarrow I = \underline{\underline{\frac{B}{\mu_0 N/l}}}$$

$$\Phi = \underline{\underline{NAB}} = \underline{\underline{LI}}$$

$$\Rightarrow U = \frac{1}{2} \cdot LI \cdot I = \frac{1}{2} \cdot NAB \cdot \frac{B}{\mu_0 N/l} = \frac{1}{2\mu_0} B^2 \cdot A \cdot l$$

Her er  $A \cdot l$  volumet inni spolen, dus der vi har  $B \neq 0$

$\Rightarrow$  Energien pr volumenhett i magnetfeltet er

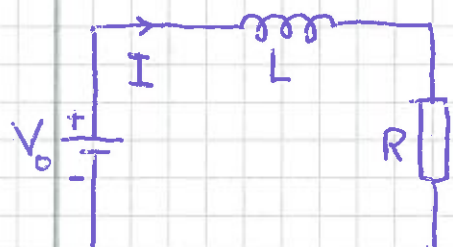
$$u_B = \frac{1}{2\mu_0} B^2$$

# Elektriske kretser og anvendelser ; DC og AC

[YF 30.4+5+6 ; LHL 25.2) 27.1+2+3+5]

## ① RL - krets ; DC

Tilkobling av  $V_o$  ved  $t=0$  : ( $I(0)=0$ )

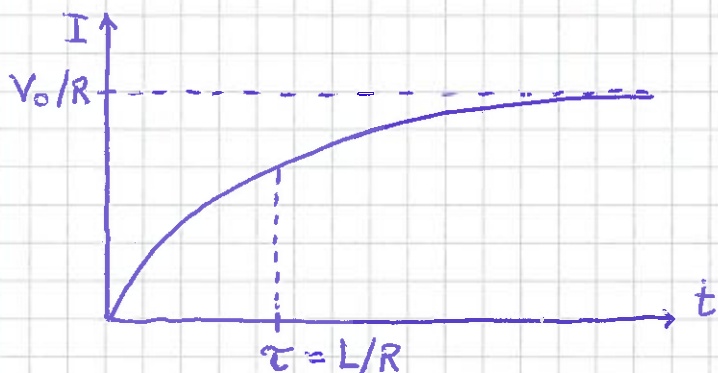


$$K2 \Rightarrow V_o - L \frac{dI}{dt} - RI = 0$$

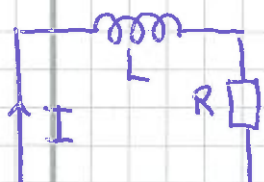
Dvs samme lign. for  $I$  som for  $Q$  i RC-kretsen s. 95

$$\Rightarrow I(t) = \frac{V_o}{R} \left( 1 - e^{-t/\tau} \right);$$

$\tau = L/R$  = RL-kretsen tidskonstant



Frikobling av  $V_o$  ved "nytt  $t=0$ " ( $I(0) = V_o/R$ )

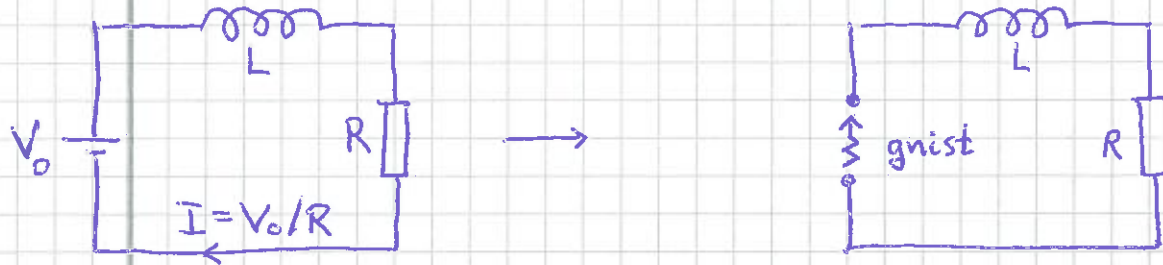


$$K2 \Rightarrow -L \frac{dI}{dt} - RI = 0$$

$$\Rightarrow I(t) = \frac{V_o}{R} e^{-t/\tau}; \quad \tau = L/R$$



Gnist når stopselet dras ut av stikk-kontakten:



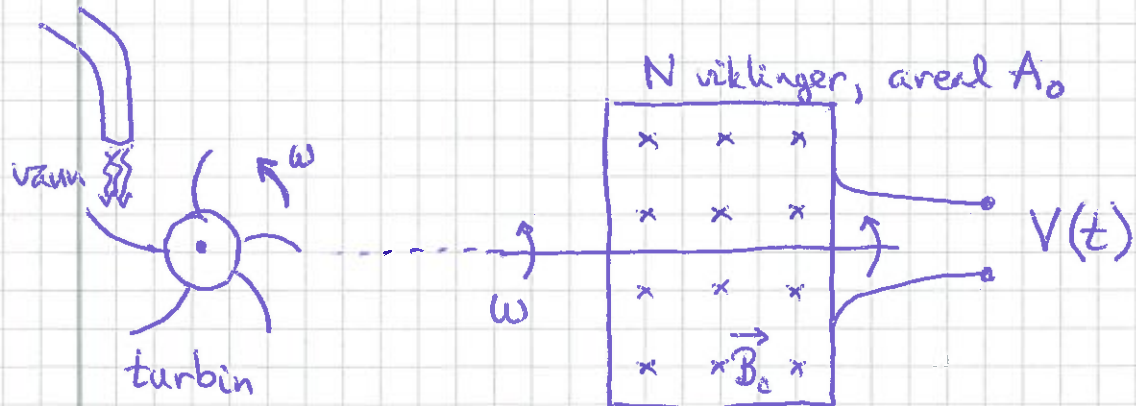
I tinges raskt fra  $\frac{V_o}{R}$  til 0  $\Rightarrow$  stor  $|\frac{dI}{dt}| \Rightarrow$   
 stor induksert spenning  $|L \cdot dI/dt| \Rightarrow$  kortslutning strøm  
 over luftgapet mellom stikk-kontakt og stopsel (overslag)

AC spenningskilde ( $AC = vekselstrøm$ )

$$V(t) = V_o \cos \omega t ; \text{ Frekvens } f = \frac{\omega}{2\pi} \quad (= 50 \text{ Hz i strømnettet})$$

(evt.  $V_o \sin \omega t$ )

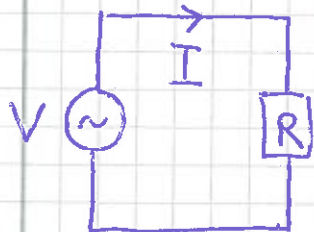
Prinsipp for AC-generator (vannkraft!):



$$\phi(t) = N B_0 A_0 \cos \omega t$$

$$V(t) = -\dot{\phi} = V_o \sin \omega t ; \quad V_o = N B_0 A_0 \omega$$

(2)



$$K2: V_0 \sin \omega t - RI = 0$$

$$\Rightarrow I(t) = \frac{V_0}{R} \sin \omega t = I_0 \sin \omega t$$

(1/7)

$$P(t) = V(t) \cdot I(t) = V_0 I_0 \sin^2 \omega t$$

Middlere effekt:

$$\langle P \rangle = \frac{1}{2} V_0 I_0 = \frac{V_0}{\sqrt{2}} \cdot \frac{I_0}{\sqrt{2}} = V_{\text{rms}} \cdot I_{\text{rms}} \quad (\text{"root mean square"})$$

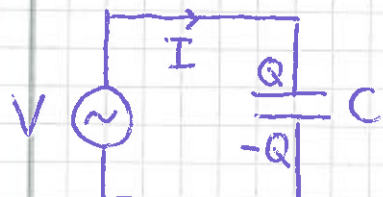
$$\text{Husholdningsnettet: } V_0 = 311 \text{ V} \Rightarrow V_{\text{rms}} = 220 \text{ V}$$

Energitap på tid  $t$  i overføringsnett med gitt motstand  $R$ :

$$W = P \cdot t = R I^2 \cdot t \Rightarrow \text{Fordel med lav } I \text{ og } \underline{\text{høy spennin}}$$

V. (Norge: 10 - 400 kV)

(3)

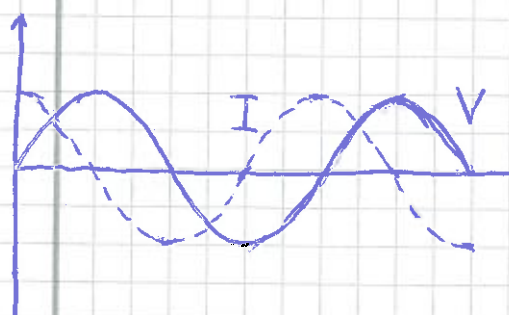


$$K2: V_0 \sin \omega t - \frac{Q}{C} = 0$$

$$\Rightarrow Q = V_0 C \sin \omega t$$

$$\Rightarrow I(t) = V_0 \omega C \cos \omega t$$

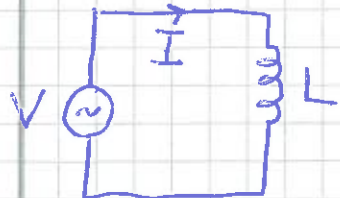
$$= V_0 \omega C \sin(\omega t + \pi/2)$$



- Faseforskjell  $\frac{\pi}{2}$  mellom  $V(t)$  og  $I(t)$
- Strømmens amplitude  $I_0(\omega) = V_0 \omega C$   
~~skjer~~ med økende frekvens

- Middlere effekttap er null. ( $\langle \sin \omega t \cdot \cos \omega t \rangle = 0$ )

(4)

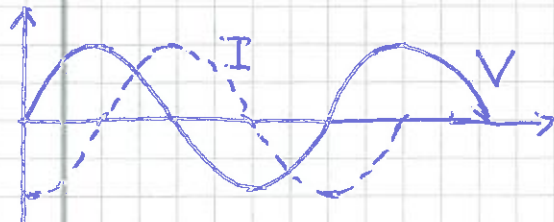


$$K2: V_0 \sin \omega t - L \dot{I} = 0$$

$$\Rightarrow \dot{I} = \frac{V_0}{L} \sin \omega t$$

$$\Rightarrow I(t) = -\frac{V_0}{\omega L} \cos \omega t$$

$$= \frac{V_0}{\omega L} \sin(\omega t - \pi/2)$$

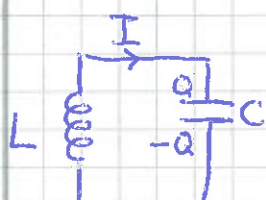


- Faseforskjell  $-\pi/2$
- Strømampl.  $I_o(\omega) = V_0/\omega L$   
avtar med økende frekvens
- Null middlere effekttap

(5)

LC-krets

$$\text{Anta } Q(0) = Q_0$$



$$K2: -L \dot{I} - Q/C = 0 ; I = \dot{Q}$$

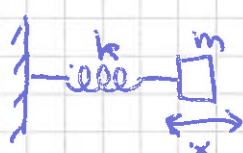
$$\Rightarrow \ddot{Q} + \frac{1}{LC} Q = 0$$

Dvs enkel harmonisk oscillator;

med løsning

$$Q(t) = Q_0 \cos \omega t ; \omega_0 = \frac{1}{\sqrt{LC}}$$

Mekanisk analogi:



$$\ddot{x} + \frac{k}{m} x = 0 ; \omega_0 = \sqrt{\frac{k}{m}}$$

Analoge størrelser:  $Q \leftrightarrow x$ ;  $I \leftrightarrow \dot{x}$ ;  $L \leftrightarrow m$ ;  $C \leftrightarrow \frac{1}{k}$ 

$$K = \frac{1}{2} m \dot{x}^2 \leftrightarrow \frac{1}{2} L \dot{I}^2 = \text{energien i } \vec{B}\text{-feltet i induktansen}$$

$$U = \frac{1}{2} k x^2 \leftrightarrow \frac{Q^2}{2C} = \text{energien i } \vec{E}\text{-feltet i kapasitansen}$$

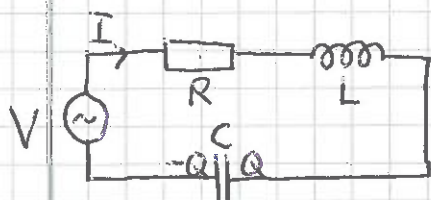
$$\Rightarrow \frac{Q^2}{2C} + \frac{1}{2} L \dot{I}^2 = \frac{Q_0^2}{2C} \cos^2 \omega_0 t + \frac{1}{2} L Q_0^2 \omega_0^2 \sin^2 \omega_0 t = \frac{Q_0^2}{2C} = \text{konstant; OK!!}$$

118

(6)

## RLC resonanskrets

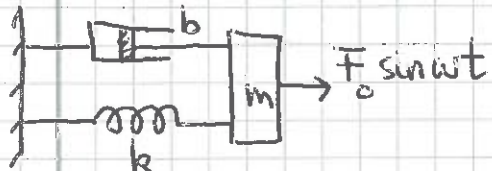
119



$$K2: V_0 \sin \omega t - RI - L\dot{I} - \frac{Q}{C} = 0$$

$$\Rightarrow L\ddot{Q} + R\dot{Q} + \frac{1}{C}Q = V_0 \sin \omega t$$

Mekanisk analogi:



$$N2: mx'' + bx' + kx = F_0 \sin \omega t$$

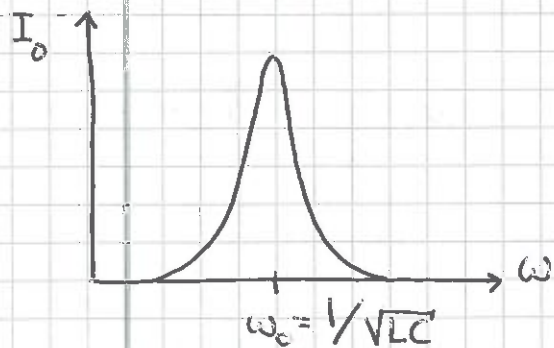
dvs  $b \leftrightarrow R$  og  $F_0 \leftrightarrow V_0$ 

$\Rightarrow$  Resonans i RLC-kretsen når  $\omega = \omega_0 = \frac{1}{\sqrt{LC}}$ , og alle sammenhenger s. 55 kan "oversettes" direkte:

$$Q(t) = Q_0(\omega) \sin(\omega t + \varphi); \quad Q_0(\omega) = \frac{V_0 / L}{\sqrt{(\omega^2 - \omega_0^2)^2 + (2\gamma\omega)^2}}$$

med  $2\gamma = R/L$ . Derved:

$$I(t) = \omega Q_0(\omega) \cos(\omega t + \varphi), \quad \text{dvs } I_0(\omega) = \omega Q_0(\omega)$$

Halverdibredde:  $\Delta\omega \approx 2\gamma = R/L$ 

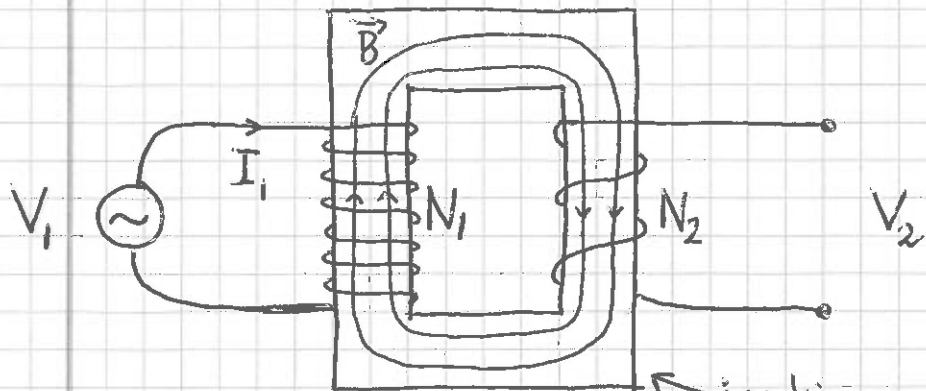
$$\text{Kvalitetsfaktor: } \frac{\omega_0}{\Delta\omega} = \frac{\sqrt{L/C}}{R}$$

Kan måle  $I_0(\omega)$  ved å måle spenningen  $V_R = RI$  over motstanden med et voltmeter.

(7)

## Transformator

(120)



jernkjerne  $\Rightarrow \vec{B}$ -feltlinjer  
folger jernet

$$V_1 = \dot{\phi}_1 = L_1 \dot{I}_1$$

$$V_2 = \dot{\phi}_2 = M \dot{I}_1$$

$$\Rightarrow \frac{V_2}{V_1} = \frac{M}{L_1} = \frac{N_1 N_2}{N_1^2} = \frac{N_2}{N_1}$$

$\Rightarrow$  Spennning "inn" ( $V_1$ ) kan transformeres til spennning "ut" ( $V_2$ ) som enten er lavere ( $N_2 < N_1$ ) eller høyere ( $N_2 > N_1$ ) enn  $V_1$ .